

TFRT-5055

MATEMATISK MODELL  
AV ETT ÅNGKRAFTVERK

U. CHRISTER LARSSON  
CHRISTER ÖHBOM

Examensarbete vid  
institutionen för Regleringsteknik vid LTH

Ansvarig handledare:

Karl Eklund

Rapport RE-55, juli 1969

TILLHÖR REFERENSBIBLIOTEKET

UTLÄNAS EJ

Matematisk modell av ett ångkraftverk.

Examensarbete utfört under vt 69 av  
U.Christer Larsson och Christer Öhbom  
vid Institutionen för reglerteknik vid  
Tekniska Högskolan i Lund.

Ansvarig handledare: Karl Eklund

## Innehåll.

### Beteckningar

- I. Inledning
- II. Processbeskrivning
- III. Dom
- IV. Överhettare
- V. Ångkylare
- VI. Ventil
- VII. Turbin
- VIII. Ställmotorer och pumpar
- IX. Reduktion till standardform
- X. Huvudprogram, 15:e ordningens modell
- XI. Huvudprogram, 9:e ordningens modell
- XII. Egenvärden och systemmatriser
- XIII. Simulering

### Referenser

## Appendix

Data till numeriskt exempel

Listade program

Kurvor från simuleringen

Beteckningar.

Listan ger förklaringar till de använda beteckningarna.

Symboler med stora bokstäver är de beteckningar, som användes i programmen.

$m_s$	ångflöde	(kg/s)
$m_c$ , AMS	kylvatteflöde	(kg/s)
$m_B$	bränsleflöde	(kg/s)
$Q_{gm}$	värmeflöde från rökgas till metall	(kJ/s)
$Q_{ms}$ , QMS	värmeflöde från metall till ånga	(kJ/s)
$q$	värmeflöde/längdenhet	(kJ/s,m)
$T_m$ , TM	metalltemperatur	(°C)
$T_s$ , TS	ångtemperatur	(°C)
$c_{ps}$ , CPS	specifikt värme hos ångan vid konst. temp.	(kJ/kg,grd.)
$c_{Ts}$ , CTS	specifikt värme hos ångan vid konst. tryck	(kJ/kg,bar)
$c_{pm}$ , CPM	spec. värme hos metall	(kJ/kg,grd)
$G_m$ , GM	metallmassor	(kg)
$G_s$	ångmassa	(kg)
$p_s$ , PS	ångtryck	(bar)
$I$ , AI	entalpi	(kJ/kg)
$N_T$	turbineffekt	(kW)
$A_r$ , AR	ventilarea	(m <sup>2</sup> )
$v$	specifik volym	(m <sup>3</sup> /kg)
$\rho$	densitet	(kg/m <sup>3</sup> )
$\eta$	verkningsgrad	

## Inledning.

Föreliggande examensarbete är ett försök att få fram en enkel matematisk modell för ett ångkraftverk. Vi har försökt att göra en modell av så låg ordning som möjligt, men som trots sin enkelhet ger det karakteristiska dynamiska förloppet hos enheten vid belastningsändringar.

Följande komponenter har behandlats:

domen och förångningssystemet, helt enligt K.Eklunds rapport, ref.5.

överhettare

ångkylare

ventil

HT-turbin

mellanöverhettare

LT-turbin

För var och en av dessa delar bildas utifrån grundekvationerna de differential- eller linjära ekvationer, som beskriver förloppet. Denna samling ekvationssystem kopplas så ihop, och det erhållna ekvationssystemet reduceras till standardform  $S(A,B,C,D)$ .

För var och en av komponenterna finns en subrutin, skriven i FORTRAN, som ger respektive dels ekationssystem.

Erforderliga indata till dessa subrutiner finns i kommentarerna i början på vart program. Då dynamiken till största delen beror på den ångvolym, som ligger i överhettarna, har denna subrutin gjorts så att överhettaren kan delas in i ett godtyckligt antal sektioner. På så sätt kan man få en systemordning som passar till överhettarens storlek.

Data till det testexempel som körts är relaterade till panna P16 vid Öresundsverket i Malmö. Dessa data och beräkningsunderlaget för pannan har välvilligt ställts till vårt förfogande av Sydkraft.

### Processbeskrivning.

Pannan är en dompanna av Steinmüllers konstruktion. Från domen leder 22 st., falltuber längs pannans baksida till samlingslådor vid pannbottnen. Från samlingslådorna strömmar vattnet genom de 788 koktuberna i eldstadens väggar tillbaka till domen. Förutom de fyra väggarna utgöres även "näsan" av koktuber. För att få ett lämpligt förhållande mellan kok- och överhettarytor är en del av frontväggen belagd med eldfast stampmassa.

Den i pannans koktuber genererade mättade ångan strömmar från domen till såväl ekonomiserns och mellanöverhettarens bärtsuper som till de ångförande skiljeväggarna mellan dessa stråk till fördelningslådan för överhettarens bakvägg. Denna vägg tjänstgör som skiljevägg mellan eldstaden och bakre rökgasstråket.

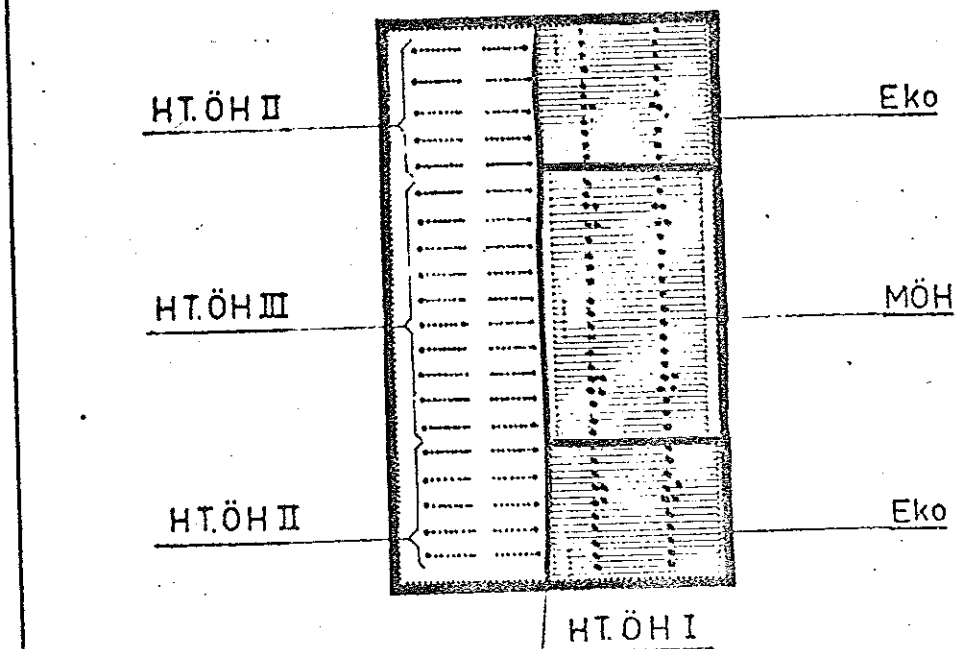
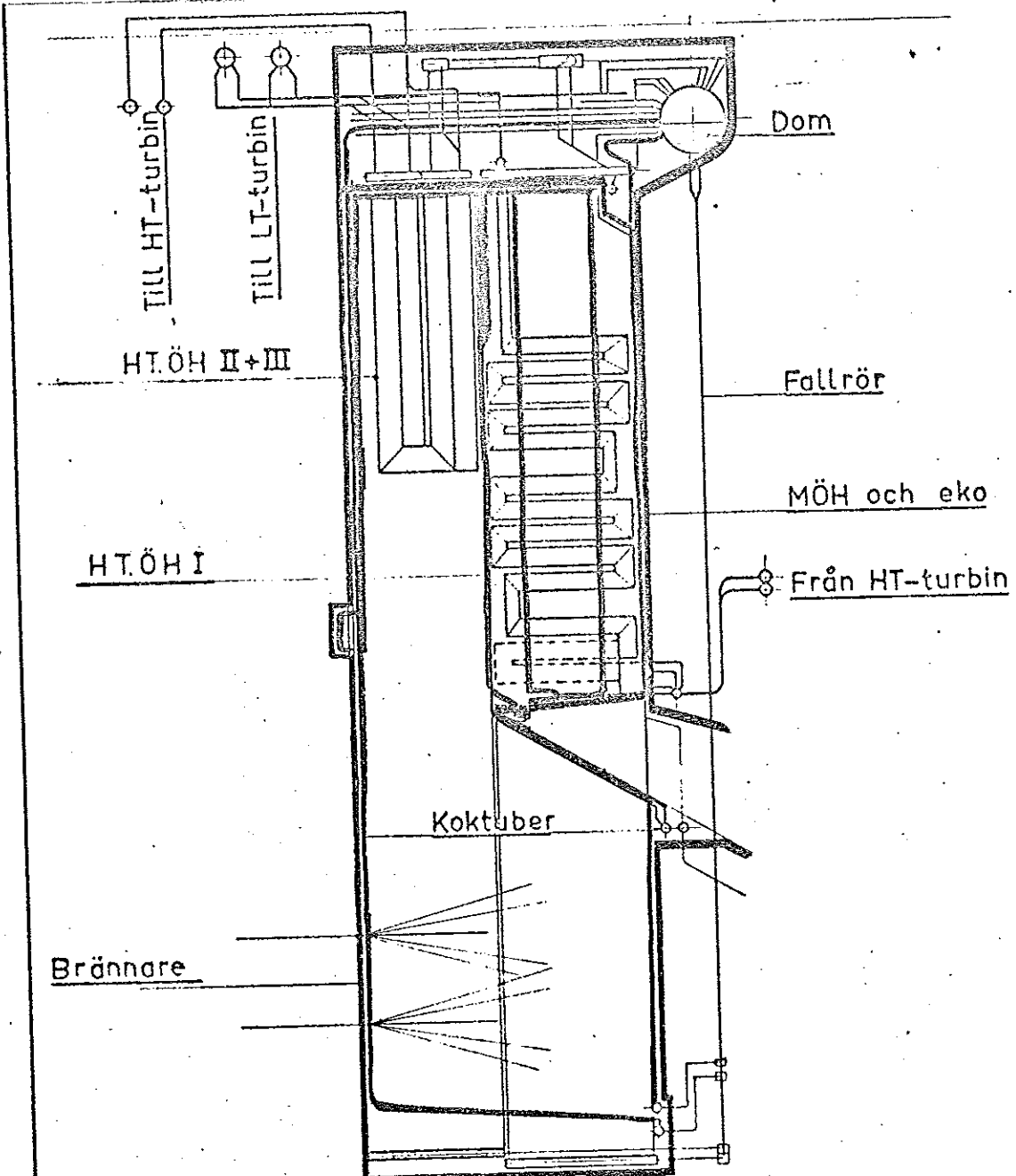
Ångan strömmar sedan genom bakväggens strålningsöverhettare, som vid rökgaspassagen från eldstaden till bakre draget utformats som en konvektionsöverhettare. Sedan fortsätter överhettaren över eldstadstaket och går ned över eldstadens frontvägg till 15 st. fördelningslådor. Från dessa lådor går sedan överhettaren uppåt igen över frontväggen och bildar därefter taket i pannan och går till den första ångkylaren.

Från kylare I går ångan genom 10 st. hängande gardiner, s.k. schotten, till kylare II. Från kylare II går ångan genom 10 st. skärmar placerade i mitten av pannan till högtrycksöverhettarens utloppslådor. Från vardera utloppslådan går ångan till högtrycksturbinen.

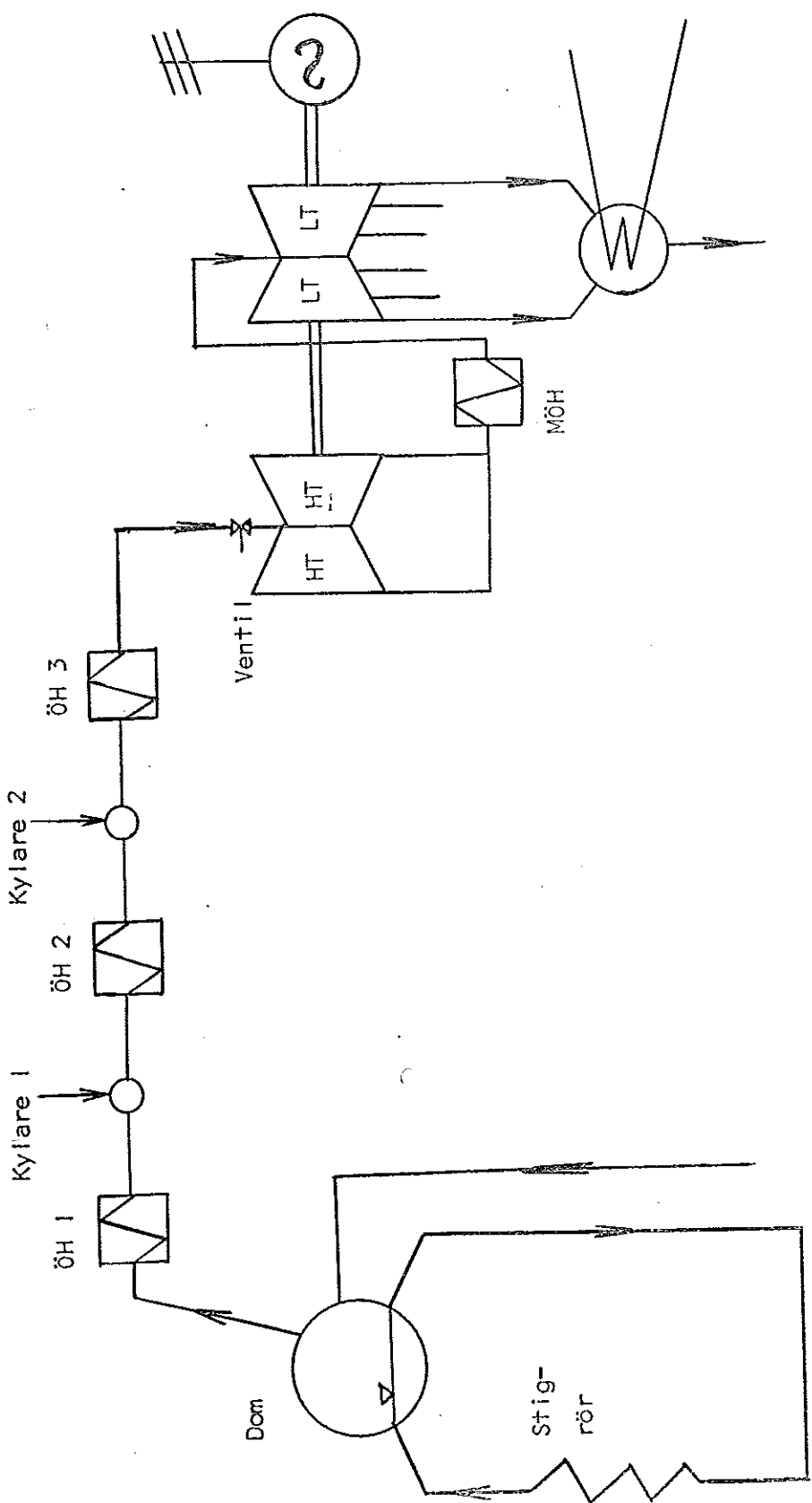
Ångan som expanderat genom högtrycksturbinen leds tillbaka till pannan för mellanöverhettning. Mellanöverhettaren utgöres av liggande överhettarslingor och är placerad i den mittresta delen av bakre draget. Ångtemperaturregleringen sker genom spjäll i MÖH-stråket. (Vid normal fullast rörs inte detta spjäll). Från mellanöverhettaren går ångan slutligen till lågtrycksturbinen, och efter denna till kondensorn.

Turbinerna är av Stal-Lavals konstruktion. HT-turbinen är en motrotationsturbin medan LT-turbinen är en vanlig axialturbin.

De två följande bilderna visar schematiskt pannkonfigurationen och ångkraftprocessen.



Öresundsvärket P16



Dom.

Dom- och förångningsdel är helt i överensstämmelse med K.Eklunds rapport, Linear Mathematical Models of the Drum-Downcomer-Riser Loop of a Drum Boiler, ref. 5. ✓

Domdelen utgör ett femte ordningens system.

Det program som finns i rapporten har av Eklund gjorts om till en subrutin.

Angående de indata som behövs, så finns dessa listade i programhuvudet.

### Överhettare.

Ett antal olika dynamiska överhettarmodeller har föreslagits i litteraturen, ref. 1,7,12. En jämförelse mellan stegsvar från olika modeller, visar att man får helt olika utseenden beroende på vilken modell man valt. Ett problem är därför att välja den bästa matematiska modellen. Ett annat val är frågan om huruvida ångan skall anses kompressibel eller ej, dvs. om tryckfallet i överhettaren skall medtagas eller ignoreras.

De dynamiska modellerna baseras på de partiella differentialekvationer, som erhålls från värme- och massbalanser. Därefter är det normala tillvägagångssättet att indela överhettaren i ett antal sektioner, och ersätta de med avseende på längden deriverade storheterna med differensapproximerade sådana. De så erhållna ordinära differentialekvationerna linjäriseras kring de stationära värdena, t.ex. de som gäller för normal fullastpunkt. Vi kommer att göra differensapproximationerna ett steg bakåt för att undvika icke-minimum faskarakteren hos stegsvaren.

Vårt mål har varit att få fram en flexibel dynamisk modell där antalet steg kan väljas fritt. Vidare att få en modell med viss komplexitet, för att försöka få någorlunda riktiga stegsvar. Vi önskar sedan med hjälp av en subrutin, skriven i FORTRAN, räkna ut de i differentialekvationerna ingående koefficienterna, för en given uppsättning indata, och slutligen få ett uttryck av typ  $AA z = 0$ . AA är här en matris med de uträknade koefficientvärdena, och z är en vektor innehållande tillståndsvariabler, insignaler och interna variabler. Det är därför nödvändigt att de i differentialekvationerna ingående variablerna kan uttryckas allmänt, och så att de kommer på rätt plats i matrisen, oberoende av det valda antalet steg. Det är också önskvärt att de indata som behövs är sådana som är lätt att erhålla i normala överhettarberäkningar.

Matematisk modell.

Följande partiella differentialekvationer kan uppställas för överhettaren, ref. II.

Värmebalans över tubväggen

$$Q_{gm} = Q_{ms} + G_m c_{pm} \frac{\partial T_m}{\partial t}$$

Värmebalans för ångan

$$q_{ms} = m_s c_{ps} \frac{\partial T_s}{\partial x} + g_s c_{ps} \frac{\partial T_s}{\partial t}$$

Tidsderivatan hos ångtemperaturen sättes här lika med noll, emedan vi bortser från värmeackumuleringen hos ångan. Vi skall dock i stegsvaren se vilken inverkan denna term har.

Vidare gäller följande samband

$$m_s \text{ in} = m_s \text{ ut} + \frac{d}{dt} G_s$$

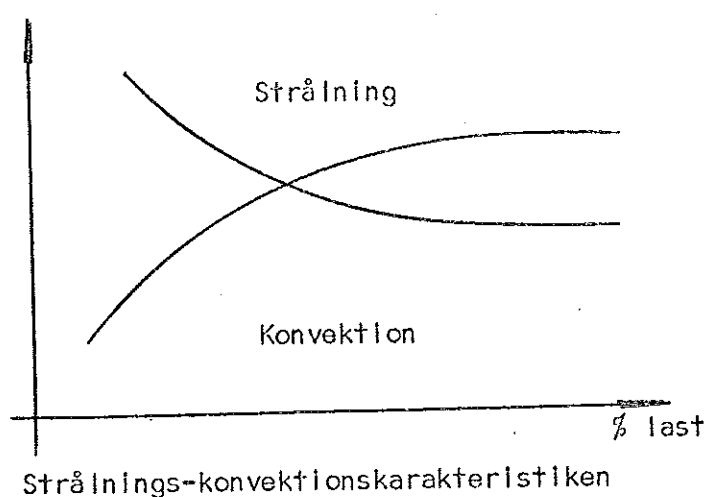
Ändringen i massinnehåll sättes lika med noll, och vi anser alltså att

$$m_s \text{ in} = m_s \text{ ut} = m_s$$

Om vi låter värmeövergångstalet från vägg till ånga lyda Nussels potensansats gäller

$$Q_{ms} = K_b m_s^{0.8} (T_m - T_s)$$

Vi betraktar sambandet mellan värmeflöde och oljefflöde som statiskt. Detta förutsätter att variationerna mellan aktuella och stationära värden inte är alltför stora. Ty vid större variationer sker en omfördelning av värmefflodet till olika delar av pannan beroende på den olinjära strålnings-konvektionskarakteristiken.



Om vi betraktar sambandet som statiskt så gäller

$$Q_{gm} = F m_B$$

För tryckfallet genom överhettaren har vi sambandet

$$\Delta p = K_a m_s^2$$

Vi har alltså fått fram följande matematiska samband för överhettaren

$$Q_{gm} = Q_{ms} + G_p c_{pm} \frac{T_m}{x}$$

$$q_{ms} = m_s c_{ps} \frac{s}{x}$$

$$\Delta p = K_a m_s^2$$

$$Q_{ms} = K_b m_s^{0.8} (T_m - T_s)$$

$$Q_{gm} = F m_B$$

Överhettaren delas nu upp i N sektioner med längden  $x$ , och differensapproximationerna utföres ett steg bakåt.  $T_{sn}$  anger temperaturen hos ångan efter den n:te sektionen.

För sektion n gäller

$$Q_{gmn} - Q_{msn} = G_{mn} c_{pm} \frac{dT_{mn}}{dt}$$

$$Q_{msn} = m_s \bar{c}_{psn} (T_{sn} - T_{sn-1})$$

$$p_{sn-1} - p_{sn} = K_{an} m_s^2$$

$$Q_{msn} = K_{bn} m_s^{0.8} (T_{mn} - T_{sn})$$

$$Q_{gmn} = F_n m_B$$

$\bar{c}_{psn}$  betecknar medelvärdet för specifika värmefaktorerna hos ångan över sektion n.

Vi linjäriserar nu våra ekvationer och erhåller då

$$\Delta Q_{gmn} - \Delta Q_{msn} = G_{mn} c_{pm} \Delta \frac{dT_{mn}}{dt}$$

$$\begin{aligned} \Delta Q_{msn} = & c_{psn} (T_{sn} - T_{sn-1}) \Delta m_s + m_s (c_{psn} \Delta T_{sn} - c_{psn-1} \Delta T_{sn-1}) + \\ & + m_s (c_{Ts} \Delta p_{sn} - c_{Ts-1} \Delta p_{sn-1}) \end{aligned}$$

$$\Delta p_{sn-1} - \Delta p_{sn} = 2 K_{an} m_s \Delta m_s$$

$$\Delta Q_{msn} = 0.8 K_{bn} / m_s^{0.2} (T_{mn} - T_{sn}) \Delta m_s + K_{bn} m_s^{0.8} (\Delta T_{mn} - \Delta T_{sn})$$

$$\Delta Q_{gmn} = F_n \Delta m_B$$

Då tryckfallet i stora överhettare kan uppgå till tio bar och mera, bör man inte försumma detta. Men specifika värmefaktorerna för ångan beror på trycket och temperaturen, och därför kommer både tryck- och temperaturdifferenser med vid linjäriseringen. Konstanterna  $c_{ps}$  och  $c_{Ts}$  kan räknas ut med hjälp av ångtabell, ty vi definierar dem på följande sätt

$$c_{ps} = (\Delta l / \Delta T)_p = \text{konst.}$$

$$c_{Ts} = (\Delta l / \Delta p)_T = \text{konst.}$$

Vi elimineras nu  $\Delta Q_{gmn}$ ,  $\Delta Q_{msn}$  och  $\Delta p_{sn}$  och får då

$$a_1 \Delta \frac{dT_{mn}}{dt} - a_2 \Delta m_B + a_3 \Delta m_s + a_4 \Delta T_{mn} + a_5 \Delta T_{sn} = 0$$

$$a_6 \Delta m_s + a_7 \Delta T_{mn} + a_8 \Delta T_{sn} + a_9 \Delta T_{sn-1} + a_{10} \Delta p_{sn-1} = 0$$

Där

$$a_1 = G_{mn} c_{pm}$$

$$a_2 = -F_n$$

$$a_3 = 0.8 K_{bn} / m_s^{0.2} ( T_{mn} - T_{sn} )$$

$$a_4 = K_{bn} m_s^{0.8}$$

$$a_5 = -a_4$$

$$a_6 = 0.8 K_{bn} / m_s^{0.2} ( T_{mn} - T_{sn} ) - c_{psn} ( T_{sn} - T_{sn-1} ) + m_s^2 c_{Tsn} 2 K_{an}$$

$$a_7 = K_{bn} m_s^{0.8}$$

$$a_8 = -K_{bn} m_s^{0.8} - m_s c_{psn}$$

$$a_9 = m_s c_{psn-1}$$

$$a_{10} = m_s ( c_{Tsn-1} - c_{Tsn} )$$

Vi vill nu teckna dessa element på ett sådant sätt, att de kommer på rätt plats i vår AA-matris oavsett antalet sektioner. Det skall gälla att AA z = 0, där

$$z^T = (\Delta \frac{dT_{m1}}{dt}, \dots, \Delta \frac{dT_{mn}}{dt}, \Delta T_{m1}, \dots, \Delta T_{mn}, \Delta m_B, \Delta m_s, \\ \Delta T_{s0}, \Delta p_0, \Delta T_{s1}, \dots, \Delta T_{sn}, \Delta p_1, \dots, \Delta p_n)$$

Denna ordning på vektorn z har valts därför att den lämpar sig väl för reduktion till standardform.

För att kunna teckna elementen allmänt, tecknas dessa så att de motsvarar följande z-vektor

$$z^T = (\dots, \Delta T_{s0}, \dots, \Delta T_{sn}, \Delta p_0, \dots, \Delta p_n)$$

därefter flyttas  $p_0$ -kolonnen till rätt plats.

Elementen i matris AA betecknas  $a_{ij}$  och uttryckes i variabeln n, som antar värden mellan 1 och N, vilket är antalet sektioner.

Elementen blir då

$$a_{n,n} = G_{mn} c_{pm}$$

$$a_{n,n+N} = K_{bn} m_s^{0.8}$$

$$a_{n,2N+1} = - F_n$$

$$a_{n,2N+2} = 0.8 K_{bn}/m_s^{0.2} (T_{mn} - T_{sn})$$

$$a_{n,2N+3+n} = - K_{bn} m_s^{0.8}$$

$$a_{n+N,n+N} = K_{bn} m_s^{0.8}$$

$$a_{n+N,2N+2} = 0.8 K_{bn}/m_s^{0.2} (T_{mn} - T_{sn}) - \bar{c}_{psn} (T_{sn} - T_{sn-1}) + \\ + m_s^2 c_{Tsn} 2 K_{an}$$

$$a_{n+N,2N+2+n} = m_s c_{psn-1}$$

$$a_{n+N,2N+3+n} = - K_{bn} m_s^{0.8} - m_s c_{psn}$$

$$a_{n+N,3N+3+n} = m_s (c_{Tsn-1} - c_{Tsn})$$

$$a_{n+2N,2N+2} = - 2 K_{an} m_s$$

$$a_{n+2N,3N+3+n} = 1.$$

$$a_{n+2N,3N+4+n} = - 1.$$

### Stegsvarsanalys.

Vi är intresserade av att undersöka överföringsfunktionerna  $\Delta T_{sI}/\Delta T_{s0}$  och  $\Delta T_{sI}/\Delta Q_{gm}$  då dels  $c_{ps}$  anses vara konstant över steget, denna modell användes hos Anderson och Enns (ref. 2 och 7), dels då  $c_{ps} = f(p, T)$ .

Övrigt vill vi se vilken inverkan gasdynamiken, termen  $g_s c_{ps} \frac{\partial T_s}{\partial t}$ , har på stegsvaren. Slutligen vill vi antyda hur indelning i flera steg kommer att påverka dem.

Utgångsekvationer är

$$Q_{gm} = Q_{ms} + G_m c_{pm} \frac{dT_m}{dt}$$

$$q_{ms} = m_s c_{ps} \frac{T_s}{x} + g_s c_{ps} \frac{T_s}{t}$$

$$m_s in = m_s ut = m_s$$

$$p_0 = p_1 = K_a m_s^2$$

$$Q_{ms} = K_b m_s^{0.8} (T_{mI} - T_{sI})$$

där index 0 betecknar inlopp och index I utlopp.

Efter linjärlösning och Laplace-transformering erhålls

$$\Delta Q_{gm} = \Delta Q_{ms} + G_m c_{pm} s \Delta T_{mI}$$

$$\begin{aligned} \Delta Q_{ms} = m_s (c_{psI} \Delta T_{sI} - c_{ps0} \Delta T_{s0}) + G_s c_{psI} s \Delta T_{sI} + \\ + \bar{c}_{psI} (T_{sI} - T_{s0}) \Delta m_s + m_s (c_{TsI} \Delta p_{sI} - c_{Ts0} \Delta p_{s0}) \end{aligned}$$

$$\Delta p_{s0} - \Delta p_{sI} = 2 K_a m_s \Delta m_s$$

$$\Delta Q_{ms} = 0.8 K_b / m_s^{0.2} (T_{mI} - T_{sI}) \Delta m_s + K_b m_s^{0.8} (\Delta T_{mI} - \Delta T_{sI})$$

Sätt nu  $\Delta m_s = \Delta p_{s0} = \Delta p_{s1} = 0$ . Vi får då

$$\Delta Q_{gm} = \Delta Q_{ms} + G_m c_{pm} s \Delta T_{ml}$$

$$\Delta Q_{ms} = m_s c_{psl} \Delta T_{sl} - m_s c_{ps0} \Delta T_{s0} + G_s c_{psl} s \Delta T_{sl}$$

$$\Delta Q_{ms} = K_b m_s^{0.8} \Delta T_{ml} - K_b m_s^{0.8} \Delta T_{sl}$$

Eliminera nu  $\Delta Q_{ms}$  och  $\Delta T_{ml}$ .

$$\Delta T_{sl} = \frac{b_1 \Delta Q_{gm}}{b_2 s^2 + b_3 s + b_4} + \frac{(b_5 s + b_9) \Delta T_{s0}}{b_6 s^2 + b_7 s + b_8}$$

där

$$b_1 = K_b m_s^{0.8}$$

$$b_2 = G_m G_s c_{pm} c_{psl}$$

$$b_3 = G_m c_{pm} m_s c_{psl} + G_m c_{pm} K_b m_s^{0.8} + G_s c_{psl} K_b m_s^{0.8}$$

$$b_4 = K_b c_{psl} m_s^{1.8}$$

$$b_5 = m_s c_{ps0} G_m c_{pm}$$

$$b_6 = G_m G_s c_{pm} c_{psl}$$

$$b_7 = G_m c_{pm} m_s c_{psl} + G_m c_{pm} K_b m_s^{0.8} + G_s c_{psl} K_b m_s^{0.8}$$

$$b_8 = K_b c_{psl} m_s^{1.8}$$

$$b_9 = K_b c_{ps0} m_s^{1.8}$$

För att få verkliga sifferuttryck på överföringsfunktionerna, sätter vi in de data som gäller vid normal fullast, 160 MW.

Vid fullastpunkten gäller

$$\begin{aligned} K_b &= 39.97 \\ m_s &= 130.56 \text{ kg/s} \\ G_m &= 71200 \text{ kg} \\ G_s &= 604 \text{ kg} \\ c_{pm} &= 0.544 \text{ kJ/kg}^{\circ}\text{C} \\ c_{ps0} &= 9.36 \text{ kJ/kg}^{\circ}\text{C} \\ c_{ps1} &= 3.34 \text{ kJ/kg}^{\circ}\text{C} \\ \bar{c}_{ps} &= 6.35 \text{ kJ/kg}^{\circ}\text{C} \end{aligned}$$

Hur metall- och ångmassa erhållits redovisas i appendix.

### Fall 1.

Här försummas värmeeackumuleringen hos ångan och vi sätter  
 $c_{ps0} = c_{ps1} = c_{ps}$ . Vi får då överföringsfunktionen

$$\frac{\Delta T_{s1}}{\Delta Q_{gm}} = \frac{K}{T + Ts}$$

där

$$K = 1 / ( c_{ps} m_s )$$

$$T = ( G_m c_{pm} m_s \bar{c}_{ps} + G_m c_{pm} K_b m_s^{0.8} ) / ( K_b \bar{c}_{ps} m_s^{1.8} )$$

Och med insatta värden får vi

$$K = 1.21 \cdot 10^{-3}$$

$$T = 66$$

För ut- och inloppstemperaturerna blir överföringsfunktionen

$$\frac{\Delta T_{s1}}{\Delta T_{s0}} = \frac{1 + Ks}{1 + Ts}$$

där

$$K = \left( G_m c_{pm} m_s c_{ps} \right) / \left( K_b c_{ps} m_s^{1.8} \right)$$

$$T = \left( G_m c_{pm} m_s c_{ps} + G_m c_{pm} K_b m_s^{0.8} \right) / \left( K_b c_{ps} m_s^{1.8} \right)$$

Och med insatta värden erhålls

$$K = 20$$

$$T = 66$$

### Fall 2.

Även nu försummas värmeeackumuleringen hos ångan, men vi använder olika värden på ångans specifika varme och låter alltså  $c_{ps0} \neq c_{ps1}$ . Överföringsfunktionen mellan utloppstemperatur och värmeflöde blir då

$$\frac{\Delta T_{s1}}{\Delta Q_{gm}} = \frac{K}{T + T_s}$$

där

$$K = 1 / ( c_{ps1} m_s )$$

$$T = \left( G_m c_{pm} m_s c_{ps1} + G_m c_{pm} K_b m_s^{0.8} \right) / \left( K_b c_{ps1} m_s^{1.8} \right)$$

Och med insatta värden blir

$$K = 2.29 \cdot 10^{-3}$$

$$T = 108$$

För ut- och inloppstemperaturerna blir överföringsfunktionen

$$\frac{\Delta T_{s1}}{\Delta T_{s0}} = \frac{K ( 1 + T_1 s )}{1 + T_2 s}$$

där

$$K = c_{ps0} / c_{ps1}$$

$$T_1 = (m_s c_{ps0} G_m c_{pm}) / (K_b c_{ps0} m_s^{1.8})$$

$$T_2 = (G_m c_{pm} m_s c_{ps1} + G_m c_{pm} K_b m_s^{0.8}) / (K_b c_{ps0} m_s^{1.8})$$

Och med insatta värden

$$K = 2.80$$

$$T_1 = 20$$

$$T_2 = 108$$

### Fall 3.

Slutligen tar vi hänsyn till ångans värmeeackumuleringsförmåga, och dessutom använder vi skilda värden på ångans specifika värme vid in- och utlopp. Överföringsfunktionen mellan utloppstemperatur och värmeflödet till överhettaren blir i så fall

$$\frac{\Delta T_{st}}{\Delta Q_{gm}} = \frac{K}{1 + T_1 s + T_2 s^2} = \frac{K}{K_1 (1 + T_3 s)(1 + T_4 s)}$$

där

$$K = 1 / (c_{ps1} m_s)$$

$$T_1 = (G_m c_{pm} m_s c_{ps1} + G_m c_{pm} K_b m_s^{0.8} + G_s c_{ps1} K_b m_s^{0.8}) / (K_b c_{ps1} m_s^{1.8})$$

$$T_2 = (G_m G_s c_{pm} c_{ps1}) / (K_b c_{ps1} m_s^{1.8})$$

Och med insatta värden

$$K = 2.29 \cdot 10^{-3}$$

$$K_1 = 0.01$$

$$T_1 = 113$$

$$T_3 = 0.89$$

$$T_2 = 100$$

$$T_4 = 111$$

Vi ser här att tidskonstanten för värmeeackumuleringen hos ångan bara är 1/100 av tidskonstanten för värmeeackumuleringen i metallmassorna.

Överföringsfunktionen för ut- och inloppstemperaturerna blir

$$\frac{\Delta T_{s1}}{\Delta T_{s0}} = \frac{K(1 + T_s)}{1 + T_1 s + T_2 s^2} = \frac{K(1 + T_s)}{K_1(1 + T_3 s)(1 + T_4 s)}$$

där

$$K = c_{ps0} / c_{ps1}$$

$$T = (m_s c_{ps0} G_m c_{pm}) / (K_b c_{ps0} m_s^{1.8})$$

$$T_1 = (G_m c_{pm} m_s c_{ps1} + G_m c_{pm} K_b m_s^{0.8} + G_s c_{ps1} K_b m_s^{0.8}) / (K_b c_{ps1} m_s^{1.8})$$

$$T_2 = (G_m G_s c_{pm} c_{ps1}) / (K_b c_{ps1} m_s^{1.8})$$

Och med insatta värden

$$K = 2.80$$

$$K_1 = 0.01$$

$$T = 20$$

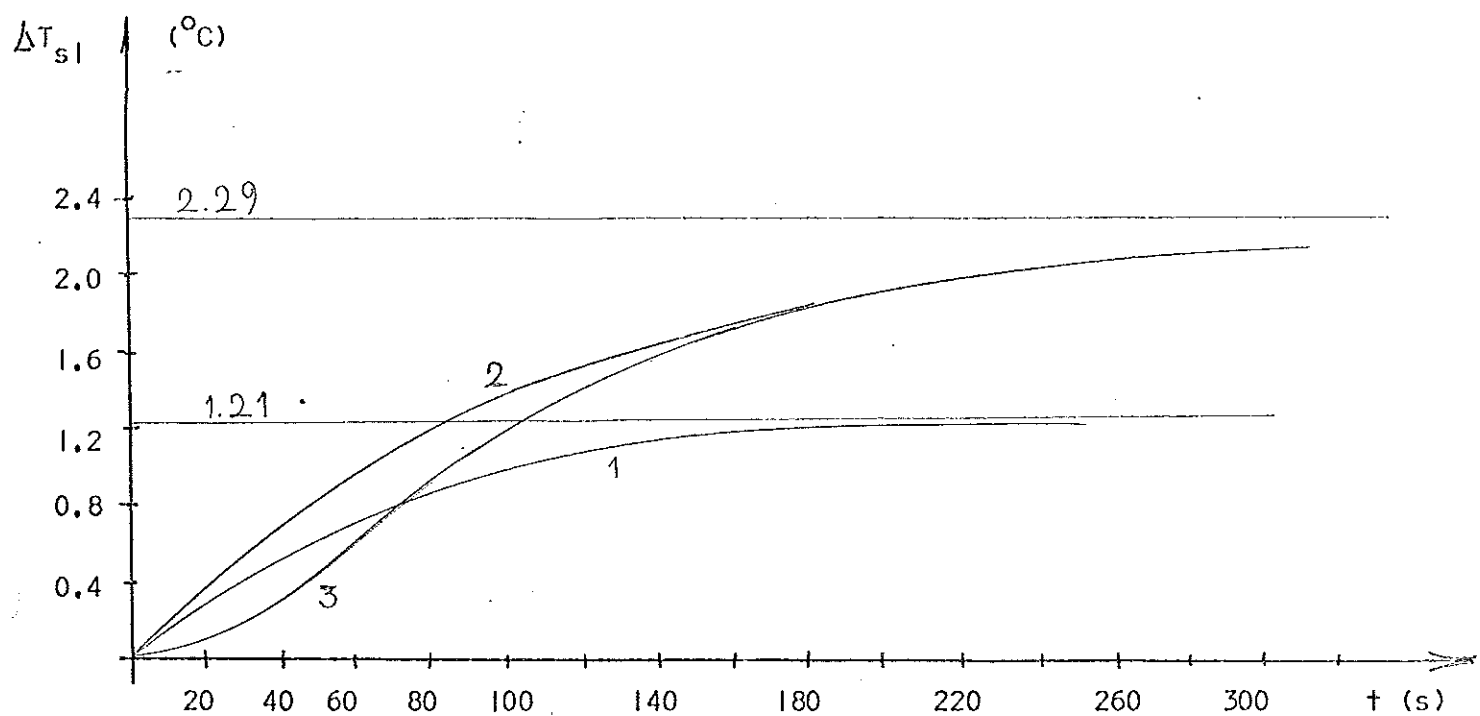
$$T_3 = 0.89$$

$$T_1 = 113$$

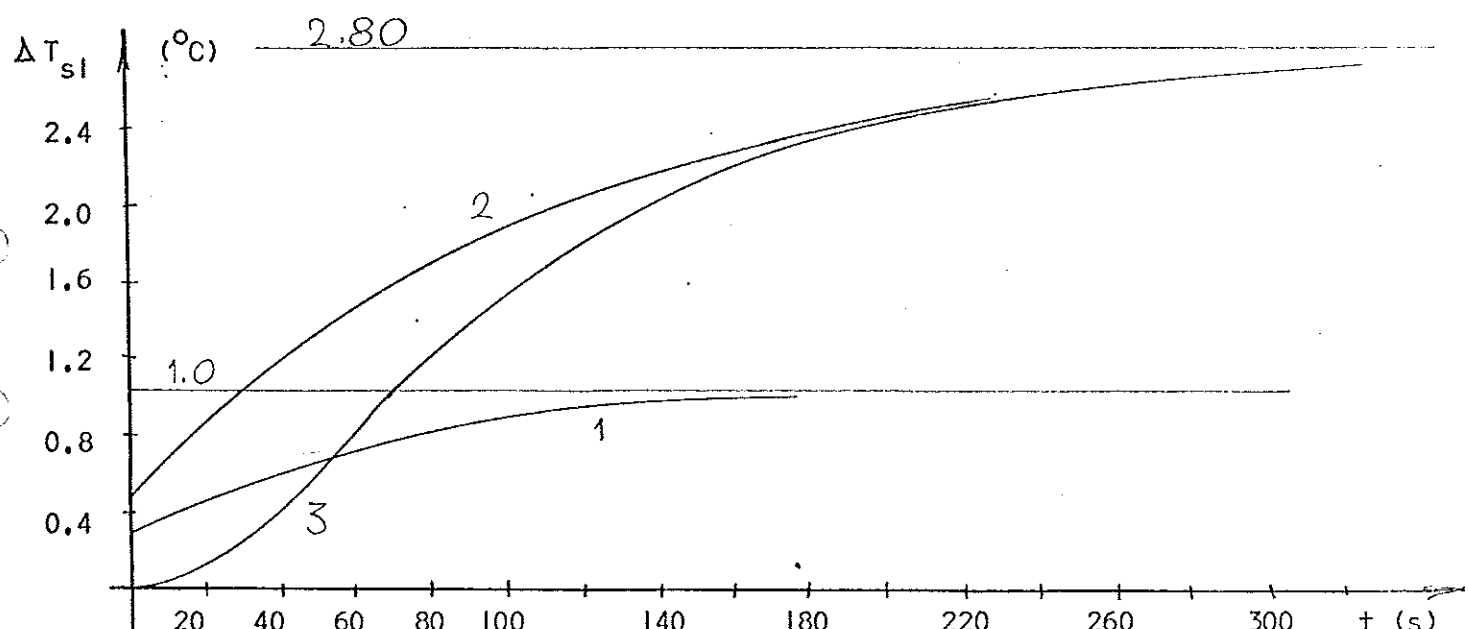
$$T_4 = 111$$

$$T_2 = 100$$

På nästa sida finns stegsvaren skisserade för de tre fallen, om värmeflödet ökar med 1000 kJ/s eller om inloppstemperaturen höjs med en grad.



Stegsvar för steget  $\Delta Q_{gm} = 1000 \text{ kJ/s}$



Stegsvar för steget  $\Delta T_{s0} = 1 \text{ } ^{\circ}\text{C}$

Vi skall nu se hur överföringsfunktionens utseende ändras då överhettaren delas in i N sektioner.

Sätt

$$\frac{\Delta T_{sn}}{\Delta T_{sn-1}} = \frac{p_n(s)}{q_n(s)}$$

Vid likformig delning får vi alltså för N steg

$$\frac{\Delta T_{sN}}{\Delta T_{s0}} = \prod_{n=1}^N \frac{p_n(s)}{q_n(s)} \approx \left( \frac{p(s)}{q(s)} \right)^N$$

Vi ser alltså att startvärdet exponentialt går mot noll med ökande stegantal.

Nu söker vi uttrycket för

$$\frac{\Delta T_{sN}}{\Delta Q_{tot}} \quad \text{då} \quad \frac{\Delta T_{sn}}{\Delta T_{sn-1}} = \frac{p_n(s)}{q_n(s)}$$

Vi får nu

$$q_N(s) \Delta T_{sN} = \Delta Q_N + p_N(s) \Delta T_{sN-1}$$

$$q_{N-1}(s) \Delta T_{sN-1} = \Delta Q_{N-1} + p_{N-1}(s) \Delta T_{sN-2}$$

•  
•  
•  
•

$$q_1(s) \Delta T_{s1} = \Delta Q_1$$

Varur erhålls

$$q_N \Delta T_{SN} = \Delta Q_N + \frac{p_N}{q_{N-1}} \Delta Q_{N-1} + \frac{p_N p_{N-1}}{q_{N-1} q_{N-2}} \Delta Q_{N-2} + \dots + \frac{p_N p_{N-1} \dots p_2}{q_{N-1} q_{N-2} \dots q_1} \Delta Q_1$$

Vid likformig delning får man då

$$\frac{\Delta T_{SN}}{\Delta Q_{tot}} \approx \frac{1}{p(s) N} \sum_{n=1}^N \frac{p(s)}{q(s)}^n$$

#### Kommentarer till stegsvarsanalysen.

Vi ser att om skilda värden användes på specifika värmeförloppet så erhålls rätt slutvärde beroende av om värmearkumuleringen hos ångan medtages eller ej. Om däremot ett medelvärde på specifika värmeförloppet användes, kommer ett enhetssteg på ingångstemperaturen att ge samma temperaturhöjning på utgående ångan. En enkel räkning i ångtabellen visar att så inte kan vara fallet. Om vi tittar på överföringsfunktionen mellan utloppstemperatur och tillfört värmeförloppet, ser vi att stegsvaret i samtliga fall börjar i origo, men att i fall 2  $\Delta T_{s1}$  är proportionell mot  $t$  och i fall 3  $\Delta T_{s1}$  är proportionell mot  $t^2$  (för små  $t$ ).

I stegsvaret för  $\Delta T_{s1} / \Delta T_{s0}$  är skillnaderna däremot större. Om värmearkumuleringen medtages börjar stegsvaret i origo, vilket är riktigt. Bortser vi från värmearkumuleringen börjar emellertid  $\Delta T_{s1}$  ungefär i 0.5, men detta startvärde minskar exponentiellt med ökande stegantal.

För att hålla nere komplexiteten, bortser vi från värmearkumuleringen hos ångan. Det är visserligen dynamiken vi är intresserade av, men stegsvaren uppträder nästan likadant i de båda fallen, och vi vet ju att de snabbt närmar sig varandra med ett ökande stegantal.

Kommentar till subrutin.

Subrutinen för överhettaren finns listad i appendix. Programmet kallas SHEATER ( SuperHEATER ). I kommentarerna finns listat erforderliga indata.

$K_a$ -värdet, proportionalitetskonstanten för tryckfallet genom överhettaren, matas in med det värde som gäller för hela överhettaren. Det antages sedan att tryckfallet sker linjärt, och  $K_a$ -värdet per sektion sättes alltså lika med  $(K_a)_{\text{total}} / \text{antalet sektioner}$ .

Programmet räknar själv ut värdet på värmeövergångstalet mellan metall och ånga,  $K_b$ .

Vidare uträknas medelvärdet på ångans specifika värme,  $\bar{c}_{ps}$ .

Förutom AA-matrisen beräknar programmet även den Q-matriss, som ingår i sambandet  $Q z = 0$ .  $z^T$  är här en vektor som innehåller utsignaler, vilka är tryck och temperatur efter överhettaren, tillståndsvariabler, styrsignaler och interna variabler. Alltså gäller

$$z^T = (\Delta T_{sn}, \Delta p_n, \Delta T_{m1}, \dots, \Delta T_{mn}, \Delta m_s, \Delta T_{s0}, \Delta p_0, \\ \Delta T_{s1}, \dots, \Delta T_{sn-1}, \Delta p_1, \dots, \Delta p_{n-1})$$

Om de båda matriserna AA och Q nu reduceras, vilket kan ske med subrutinen REDUCE, erhålls det dynamiska systemet för överhettaren på standardform  $S(A, B, C, D)$ .

### Ångkylare.

För att reglera högtrycksångans temperatur finns insprutningskylare mellan ÖH 1 och ÖH 2 respektive mellan ÖH 2 och ÖH 3. På varje ställe finns två kylare, en i vardera grenen, men vi betraktar dem som en enhet. Insprutningsflödet är alltså den totala mängden kylvatten. Insprutningsvattnet avtappas matarvattenledningen strax efter HT-förvärmarna. Vi bortser från dynamiken hos kylaren, och får alltså bara statiska samband.

Dessa samband ger då,

ändring i massinnehåll

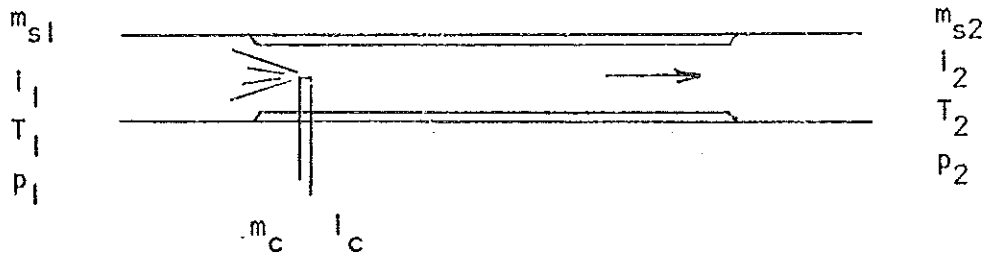
ändring i värmelinnehåll

tryckfall över kylaren

Oftast är ju tryckfallet över kylaren mycket litet, men vi tar dock med sambanden i modellen. Vill man bortse från tryckfallet är det ju bara att sätta  $K_a$ -värdet lika med noll.

Subrutinen för ångkylaren benämnes ATTEMP. Listning av ATTEMP finns i appendix. Kommentarerna ger erforderliga indata.

Matematisk modell.



Värmebalans över kylaren ger

$$m_{s1} i_1 + m_c i_c = m_{s2} i_2 + \frac{d}{dt} (G_m c_{pm} T_m + G_a i_a)$$

Ändringen i värmeinnehåll hos massa och medium anser vi vara försumbar. Vi får då

$$m_{s1} i_1 + m_c i_c = m_{s2} i_2$$

Massbalansen ger

$$m_{s1} + m_c = m_{s2} + \frac{d}{dt} G_a$$

Försumma ändringen i massinnehåll, och vi får

$$m_{s1} + m_c = m_{s2}$$

Tryckfallet över kylaren erhålls genom sambandet

$$p_1 - p_2 = K_a m_{s2}^2$$

Dessutom gäller för entalpin

$$i_1 = f(T_1, p_1)$$

$$i_2 = f(T_2, p_2)$$

Om dessa ekvationer linjäriseras så får vi

$$i_1 \Delta m_{s1} + m_{s1} \Delta i_1 + i_c \Delta m_c = i_2 \Delta m_{s2} + m_{s2} \Delta i_2$$

$$\Delta m_{s1} + \Delta m_c = \Delta m_{s2}$$

$$\Delta p_1 - \Delta p_2 = 2 K_a m_{s2} \Delta m_{s2}$$

$$\Delta i_1 = c_{p1} \Delta T_1 + c_{T1} \Delta p_1$$

$$\Delta i_2 = c_{p2} \Delta T_2 + c_{T2} \Delta p_2$$

Vi elimineras nu entalpländringarna och får

$$i_1 \Delta m_{s1} + m_{s1} c_{p1} \Delta T_1 + m_{s1} c_{T1} \Delta p_1 + i_c \Delta m_c =$$

$$i_2 \Delta m_{s2} + m_{s2} c_{p2} \Delta T_2 + m_{s2} c_{T2} \Delta p_2$$

$z^T$  sättes nu lika med

$$z^T = (\Delta T_2, \Delta p_2, \Delta m_{s1}, \Delta T_1, \Delta p_1, \Delta m_{s2}, \Delta m_c)$$

då blir AA-matrisen

$$AA = \begin{bmatrix} a_1 & a_2 & a_3 & a_4 & a_5 & a_6 & a_7 \\ 0 & 0 & a_8 & 0 & 0 & a_9 & a_{10} \\ 0 & a_{11} & 0 & 0 & a_{12} & a_{13} & 0 \end{bmatrix}$$

Elementen i AA-matrisen är

$$a_1 = m_{s2} c_{p2}$$

$$a_2 = m_{s2} c_{T2}$$

$$a_3 = -l_1$$

$$a_4 = -m_{s1} c_{p1}$$

$$a_5 = -m_{s1} c_{T1}$$

$$a_6 = l_2$$

$$a_7 = -l_c$$

$$a_8 = l.$$

$$a_9 = -l.$$

$$a_{10} = l.$$

$$a_{11} = l.$$

$$a_{12} = -l.$$

$$a_{13} = 2 K_a m_{s2}$$

### Ventil.

En pådragsventil är insatt före turbinens högtrycksdel för att reglera varvtalet och anpassa den avgivna effekten till nätets aktuella behov.

I vår modell bortser vi från dynamiken hos ställmotorn. Angående ställtid, se sid. VII:1.

Om man vill ta med ställmotorn, kan man anse att dess överföringsfunktion är

$$\frac{\Delta A_r}{\Delta u} = \frac{b}{1 + T_s s}$$

där

$b$  = förstärkningen

$T_s$  = tidskonstanten

$\Delta A_r$  = ändring i ventilarea

$\Delta u$  = inställning av önskat ventillslag

Beroende på tryckfallet över ventilen, kan den arbeta dels med överkritisk dels med underkritisk ång hastighet. I det första fallet bestämmer ventilen massflödet helt oberoende av trycket efter densamma, men i det andra fallet måste detta medtagas i modellen.

Matematisk modell.

Följande fall behandlas: överkritiskt resp. underkritiskt tryckfall samt med och utan ställmotor.

Referens: Profos sid. 37 och 187.

1. Överkritisk med ställmotor.

$$\text{Ventilekvation: } m_s = K_r p_l A_r$$

$$\text{Ställmotor : } b \dot{\Delta}u = \dot{\Delta}A_r + T_s \dot{\Delta}A_r$$

Efter linjärisering erhålls

$$\dot{\Delta}m_s = K_r p_l \dot{\Delta}A_r + K_r A_r \dot{\Delta}p_l$$

$$\therefore b \dot{\Delta}u = \dot{\Delta}A_r + T_s \dot{\Delta}A_r$$

Väljes  $\dot{\Delta}m_s$  som utsignal,  $\dot{\Delta}u$  och  $\dot{\Delta}p_l$  som insignal erhålls på standardform, S(A,B,C,D)

$$\dot{\Delta}A_r = -1/T_s \cdot \dot{\Delta}A_r + (b/T_s, 0) (\dot{\Delta}u, \dot{\Delta}p_l)^T$$

$$\dot{\Delta}m_s = K_r p_l \dot{\Delta}A_r + (0, K_r A_r) (\dot{\Delta}u, \dot{\Delta}p_l)^T$$

2. Överkritisk utan ställmotor.

Om tidskonstanten sättes lika med noll blir ställmotorns ekvation

$$\dot{\Delta}A_r = b \dot{\Delta}u$$

och i standardformen erhåller man endast D-matrizen

$$\dot{\Delta}m_s = (K_r p_l b, K_r A_r) (\dot{\Delta}u, \dot{\Delta}p_l)^T$$

3. Underkritisk med ställmotor.

$$\text{Ventilekvation: } m_s^2 = K_r (p_1 - p_2) A_r^2$$

Efter linjäriseringen blir sambanden

$$2m_s \Delta m_s = 2K_r (p_1 - p_2) A_r \Delta A_r + K_r A_r^2 \Delta p_1 - K_r A_r^2 \Delta p_2$$

$$b \dot{A}u = \Delta A_r + T_s \dot{\Delta A_r}$$

Väljes  $\Delta m_s$  som utsignal,  $\Delta u$ ,  $\Delta p_1$  och  $\Delta p_2$  som insignaler erhålls på standardform

$$\dot{\Delta A_r} = a_1 \Delta A_r + (b_1, 0, 0) (\Delta u, \Delta p_1, \Delta p_2)^T$$

$$\Delta m_s = c_1 \Delta A_r + (0, d_1, d_2) (\Delta u, \Delta p_1, \Delta p_2)^T$$

där

$$a_1 = -1/T_s$$

$$b_1 = b/T_s$$

$$c_1 = \frac{K_r A_r}{m_s} (p_1 - p_2)$$

$$d_1 = K_r A_r^2 / (2m_s)$$

$$d_2 = -K_r A_r^2 / (2m_s)$$

$$d_3 = \frac{K_r b A_r}{m_s} (p_1 - p_2)$$

4. Underkritisk utan ställmotor.

Om tidskonstanten sättes lika med noll blir ställmotorns ekvation

$$\Delta A_r = b \Delta u$$

och i standardformen får man D-matrisen

$$\Delta m_s = (d_3, d_1, d_2) (\Delta u, \Delta p_1, \Delta p_2)^T$$

där  $d_1-d_3$  ges av uttryckten ovan.

Subrutinen för ventilen benämnes VALVE. Programmet räknar ut de i standardformens matriser ingående elementen. Programmet finns listat i appendix.

### Turbin.

Om en allmän turbinmodell skall uppställas, kommer de matematiska sambanden att utgöras dels av rena värmebalanser för turbinen, dels av samband rörande generatorn, det elektriska nätets beskaffenhet, antal maskiner på nätet mm.

Turbinens dynamiska uppträdande kommer att bestämmas av de ångmassor, som ligger i överhettare och mellanöverhettare. Vidare kommer effektförändringar på nätet att inverka på de dynamiska egenskaperna.

I vårt fall bortser vi emellertid från nätet och dess egenskaper och nöjer oss med de statiska samband för turbineffekten, som fås genom värmebalanser.

För modellen gäller följande antaganden:

- Det finns ingen ångvolym liggandes mellan pådragsventil och turbin.
- Turbinens verkningsgrad är konstant.
- Kondensortrycket är konstant.
- Turbinens dämpning är försumbar.
- För att simulera avtappningen i LT-turbinen ansätter vi ett ekvivalent massflöde, på så sätt att effekten blir korrekt.

Värmebalanserna tecknas så för hög- och lågtrycksdelen, och vi får då uttryck för respektive dels bidrag till effekten.

Vi skall på de följande sidorna studera en något mer realistisk modell, där vi har tagit en viss hänsyn till nätet.

En modell då nätet medtages.

Antag att maskinen arbetar på ett starkt nät. I så fall kan man sätta vinkelhastigheten konstant, ty vi har ju synkrona maskiner på ett starkt nät.

Men det gäller

$$M = P / \omega$$

alltså får vi i det närmaste proportionaltet mellan moment och effekt om varvtalet är konstant

$$M \propto P / \omega_0$$

Om vi så låter det belastande momentet, dvs. generatorns bromsande moment, vara insignal, kan vi få varvtalsändringen hos turbinen.

Ur sambandet

$$J \dot{\omega} = M_T - M_G \quad (1)$$

ser vi, att vi har en ren integration mellan belastningsändringen och varvtalsändringen. Tidkonstanten (ty. Anlaufzeit) har formen

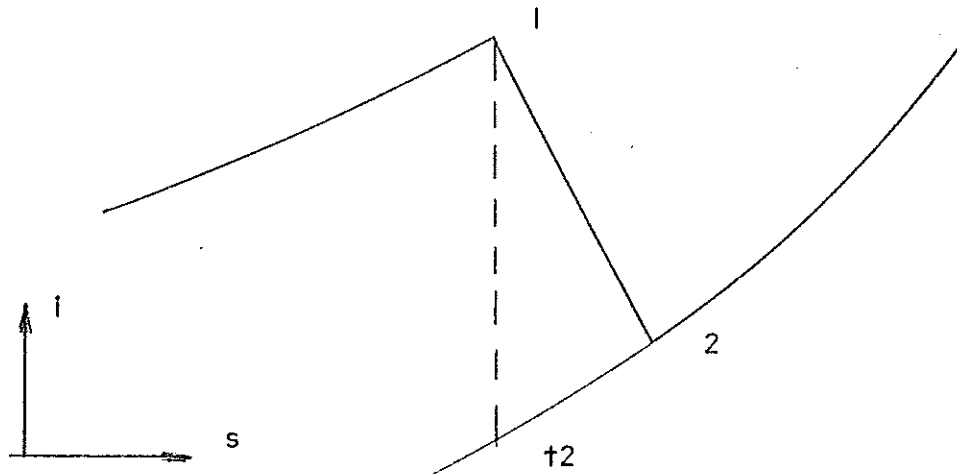
$$T_a = J \omega_0 / M_T$$

För kondensationsturbiner ligger denna mellan fem och tio sekunder.

På detta sätt kan vi alltså låta belastningen variera och sedan studera vad som händer med varvtalet. Denna varvtalsändring kan vi få tack vare, att vi betraktar det öppna systemet.

Om man bortser från nätet, så beror tröghetsmomentet ( $J$ ) endast på turbinens och generatorns massor. Detta fall är ekivalent med, att generatoren arbetar på ett eget nät med rent ohmsk belastning. Om däremot ett allmänt nät medtagits i modellen, hade vi varit tvungna att ha ett större värde på tröghetsmomentet. Ty vid en ändring av varvtalet måste vår maskin dra med sig övriga maskiner, som inte går med samma varv.

Respektive turbindels bidrag till effekten fås på vanligt sätt med hjälp av värmebalanser. När sedan turbinmomentet skall beräknas, adderas de båda effekterna, och vi betraktar de båda turbinerna med sina generatorer som en enhet. Visserligen är hög- och lågtrycksdelen inte mekaniskt förbundna, men generatorerna är elektriskt kopplade och uppträder som en enhet. Med det erhållna turbinmomentet insatt i (1), kan vi alltså få reda på ändringen i varv för en viss belastningsändring.

Matematisk modell.

För högtrycksdelen gäller följande samband

$$l_1 = f(T_1, p_1)$$

$$s_1 = f(T_1, p_1)$$

$$s_1 = s_{t2}$$

$$l_{t2} = f(p_2, s_{t2})$$

$$l_1 - l_2 = \eta_v (l_1 - l_{t2})$$

$$N_t = m_s (l_1 - l_2)$$

$$T_2 = f(l_2, p_2)$$

För tryckfallet genom HT-turbinen gäller

$$m_s = C_T \sqrt{\frac{p_1}{v_1} \left( 1 - \left( \frac{p_2}{p_1} \right)^2 \right)}$$

För att eliminera  $v_1$  kan vi använda en modifiering av allmänna gaslagen. Ty enligt G. Tyllerels kompendium i mekanisk värmeteori ( LTH, Inst. för mekanisk värmeteori ) kan man sätta en lämplig faktor framför den allmänna gaskonstanten, och på så sätt få ett samband som gäller

i näheten av den betraktade punkten.

Vi har alltså

$$\frac{p_1 v_1}{T_1} = C \quad \text{där } C = y R$$

Allmänna gaskonstanten  $R = 461,5 \text{ J / kg}^{\circ}\text{K}$  och ett lämpligt  
värde på  $y$  är 0,933

Om  $v_1$  elimineras får vi alltså

$$K T_1 m_s^2 = p_1^2 - p_2^2 \quad \text{där}$$

$$K = C / C_T^2$$

Vi linjäriserar nu dessa ekvationer och får

$$\Delta I_1 = c_{p1} \Delta T_1 + c_{T1} \Delta p_1 \quad (1)$$

$$\Delta s_1 = d_{p1} \Delta T_1 + d_{T1} \Delta p_1 \quad (2)$$

$$2 K T_1 m_s \Delta m_s + K m_s^2 \Delta T_1 = 2 p_1 \Delta p_1 - 2 p_2 \Delta p_2 \quad (3)$$

$$\Delta s_1 = \Delta s_{t2} \quad (4)$$

$$\Delta I_{t2} = c_{s2} \Delta p_2 + c_{ps2} \Delta s_{t2} \quad (5)$$

$$\Delta I_1 - \Delta I_{t2} = \eta_v (\Delta I_1 - \Delta I_{t2}) \quad (6)$$

$$\Delta N_t = \Delta m_s (I_1 - I_2) + m_s (\Delta I_1 - \Delta I_{t2}) \quad (7)$$

$$\Delta I_2 = c_{p2} \Delta T_2 + c_{T2} \Delta p_2 \quad (8)$$

2,3,4 och 5 ger

$$\begin{aligned} \Delta I_{t2} &= (c_{ps2} d_{T1} + c_{s2} \frac{p_1}{p_2}) \Delta p_1 + (c_{ps2} d_{p1} - \frac{c_{s2} K m_s^2}{2 p_2}) \Delta T_1 \\ &\quad - \frac{K T_1 m_s c_{s2}}{p_2} \Delta m_s \end{aligned} \quad (9)$$

6 och 7 ger

$$\Delta N_t = \Delta m_s (l_1 - l_2) + m_s \eta_v (\Delta l_1 - \Delta l_{t2}) \quad (10)$$

1, 9 och 10 ger

$$\begin{aligned} \Delta N_t = \Delta m_s (l_1 - l_2) &+ \frac{c_{s2} K T_1 m_s^2 \eta_v}{p_2} + \\ &+ \Delta T_1 (m_s \eta_v c_{p1} - m_s \eta_v c_{ps2} d_{p1} + \frac{m_s^3 \eta_v c_{s2} K}{2 p_2}) + \\ &+ \Delta p_1 (m_s \eta_v c_{T1} - m_s \eta_v c_{ps2} d_{T1} - \frac{m_s \eta_v c_{s2} p_1}{p_2}) \quad (11) \end{aligned}$$

1, 6 och 9 ger

$$\begin{aligned} \Delta l_2 = -\Delta m_s \frac{\eta_v c_{s2} K T_1 m_s}{p_2} &+ \Delta T_1 (c_{p1} - \eta_v c_{p1} + \eta_v c_{ps2} d_{p1} - \\ &- \frac{\eta_v c_{s2} K m_s}{2 p_2}) + \Delta p_1 (c_{T1} - \eta_v c_{T1} + \frac{\eta_v c_{s2} p_1}{p_2} + \\ &+ \eta_v c_{ps2} d_{T1}) \quad (12) \end{aligned}$$

8 och 12 ger

$$\begin{aligned} \Delta T_2 = -\Delta m_s \frac{\eta_v c_{s2} K T_1 m_s}{p_2 c_{p2}} &+ \\ &+ \Delta T_1 \left( \frac{c_{p1}}{c_{p2}} - \eta_v \frac{c_{p1}}{c_{p2}} + \eta_v d_{p1} \frac{c_{ps2}}{c_{p2}} - \frac{\eta_v c_{s2} K m_s^2}{2 p_2 c_{p2}} \right) + \\ &- \Delta p_1 \left( \frac{c_{T1}}{c_{p2}} - \eta_v \frac{c_{T1}}{c_{p2}} + \frac{\eta_v c_{s2} p_1}{p_2 c_{p2}} + \eta_v d_{T1} \frac{c_{ps2}}{c_{p2}} \right) - \\ &- \Delta p_2 \frac{c_{T2}}{c_{p2}} \quad (13) \end{aligned}$$

De i matrisen ingående sambanden ges av 3, 11 och 13.

X

AA-matrisen för högtrycksdelen blir

$$AA = \begin{bmatrix} 0 & a_1 & a_2 & 0 & a_3 & a_4 \\ a_5 & a_6 & 0 & a_7 & a_8 & a_9 \\ 0 & a_{10} & 0 & a_{11} & a_{12} & a_{13} \end{bmatrix}$$

där elementen är

$$a_1 = m_s \eta_v c_{T1} - m_s \eta_v c_{ps2} d_{T1} - \frac{m_s \eta_v c_{s2} p_1}{p_2}$$

$$a_2 = -1.$$

$$a_3 = m_s \eta_v c_{p1} - m_s \eta_v c_{ps2} d_{p1} + \frac{\frac{m_s^3 v c_{s2} K}{2 p_2}}{}$$

$$a_4 = 1_1 - 1_2 + \frac{c_{s2} K T_1 \eta_v m_s^2}{p_2}$$

$$a_6 = \frac{c_{T1}}{c_{p2}} - \eta_v \frac{c_{T1}}{c_{p2}} + \eta_v d_{T1} \frac{c_{ps2}}{c_{p2}} + \frac{\eta_v c_{s2} p_1}{p_2 c_{p2}}$$

$$a_5 = -1.$$

$$a_7 = -\frac{c_{T2}}{c_{p2}}$$

$$a_8 = \frac{c_{p1}}{c_{p2}} - \eta_v \frac{c_{p1}}{c_{p2}} + \eta_v d_{p1} \frac{c_{ps2}}{c_{p2}} - \frac{\eta_v c_{s2} K m_s^2}{2 p_2 c_{p2}}$$

$$a_9 = -\frac{\eta_v c_{s2} K T_1 m_s}{p_2 c_{p2}}$$

$$a_{10} = -2 p_1$$

$$a_{11} = 2 p_2$$

$$a_{12} = K m_s^2$$

$$a_{13} = 2 K T_1 m_s$$

$z$ -vektorn i sambandet AA  $z = 0$  har utseendet

$$z^T = (\Delta T_2, \Delta p_1, \Delta N_t, \Delta p_2, \Delta T_1, \Delta m_s)$$

Vi skall nu se vad som gäller för lågtrycksdelen. Utgångsekvationerna är desamma som för högtrycksdelen med undantag av, att vi har ett annat uttryck för tryckfallet.

För tryckfallet genom LT-turbinen gäller

$$p_1 = p_2 = K m_s$$

De linjäriserade utgångsekvationerna kan nu skrivas upp.

Observera att  $\Delta p_2 = 0$  för lågtrycksdelen, ty vi har antagit att kondensortrycket är konstant.

$$\Delta i_1 = c_{p1} \Delta T_1 + c_{T1} \Delta p_1 \quad (1)$$

$$\Delta s_1 = d_{p1} \Delta T_1 + d_{T1} \Delta p_1 \quad (2)$$

$$\Delta p_1 = K \Delta m_s \quad (3)$$

$$\Delta s_1 = \Delta s_{t2} \quad (4)$$

$$\Delta i_{t2} = c_{ps2} \Delta s_{t2} \quad (5)$$

$$\Delta i_2 = \Delta i_1 (1 - \eta_v) + \eta_v \Delta i_{t2} \quad (6)$$

$$\Delta N_t = \Delta m_s (i_1 - i_2) + m_s (\Delta i_1 - \Delta i_2) \quad (7)$$

$$\Delta i_2 = c_{p2} \Delta T_2 \quad (8)$$

2, 4 och 5 ger nu

$$\Delta i_{t2} = c_{ps2} d_{p1} \Delta T_1 + c_{ps2} d_{T1} \Delta p_1 \quad (9)$$

Därefter ger 1, 6 och 9

$$\begin{aligned} \Delta I_2 = & (1 - \eta_v) (c_{p1} \Delta T_1 + c_{T1} \Delta p_1) + \\ & + \eta_v (c_{ps2} d_{p1} \Delta T_1 + c_{ps2} d_{T1} \Delta p_1) \end{aligned} \quad (10)$$

Slutligen ger 1, 7 och 10

$$\begin{aligned} \Delta N_t = & \Delta m_s (I_1 - I_2) + \\ & + \Delta T_1 (\eta_v m_s c_{p1} - \eta_v c_{ps2} d_{p1} m_s) + \\ & + \Delta p_1 (\eta_v c_{T1} m_s - \eta_v c_{ps2} d_{T1} m_s) \end{aligned} \quad (11)$$

Sambanden 3 och 11 ger de för AA-matrisen nödvändiga ekvationerna.

$$AA = \begin{bmatrix} a_1 & a_2 & a_3 & a_4 \\ 0 & a_5 & 0 & a_6 \end{bmatrix}$$

där

$$a_1 = -1,$$

$$a_2 = \eta_v c_{T1} m_s - \eta_v c_{ps2} d_{T1} m_s$$

$$a_3 = \eta_v m_s c_{p1} - \eta_v c_{ps2} d_{p1} m_s$$

$$a_4 = I_1 - I_2$$

$$a_5 = -1,$$

$$a_6 = K$$

och där

$$z^T = (\Delta N_t, \Delta p_l, \Delta T_l, \Delta m_s)$$

Subrutinen, som heter TURBINE, är gjord på samma sätt som tidigare program. Den finns listad i appendix.

Ställmotorer och pumpar.

Nedan är uppräknat ställtider för de viktigaste ställmotorerna och pumparna.

Pådragsservo	0 - 100 %	4 - 5 sek
	100 - 0 %	0.3 - 0.4 sek
Matarvattenpumpar	0 - 100 %	70 sek
Reglerventil för brännolja	0 - 100 %	25 sek
Insprutningsventiler	0 - 100%	75 sek

Då modellen skall användas för att studera vad som händer vid små avvikelser från en viss belastningspunkt, anser vi att dynamiken hos motorer och pumpar ej behöver medtagas.

Reduktion till standardform.

Vi vill nu reducera våra matriser AA och Q till standardform, S(A,B,C,D). AA-matrisen skall alltså ge matriserna A och B, medan Q-matrisen skall ge C- och D-matrisen.

Resultatet blir således av formen

$$\frac{dx}{dt} = Ax + Bu$$

$$y = Cx + Du$$

där

x är tillståndsvariabler

u är styrsignaler

y är utsignaler

Under förutsättning av att vi har rätt antal ekvationer, och att dessa är linjärt oberoende, så är alltså problemet i princip att lösa ett linjärt ekvationssystem.

Detta görs med hjälp av subrutinen REDUCE. Lösningen sker med hjälp av partitionering av utgångsmatrismerna. Metoden beskrives av K. Eklund i ref. 5.

För att kunna utföra partitioneringen kräver REDUCE förutom AA- eller Q-matrisen uppgift om antalet deriverade tillståndsvariabler (x), respektive antalet utsignaler. Vidare krävs uppgift om antalet interna variabler. Ytterligare uppgifter om programmet finns i kommentarerna till REDUCE. Listning av subrutinen finns i appendix. REDUCE kräver också subrutinen MIART för att lösa det linjära ekvationssystemet.

Då programmet för hela systemet visade sig kräva ganska stort minnesutrymme, gjordes med hjälp av Eklund en förbättrad version av REDUCE. Det nya programmet har namnet SPERED. SPERED har större dimensionsangivelser, och utnyttjar färre slaskmatriser, men för övrigt är programmen identiska.

Huvudprogram.

Program ÖRESUND, 15:e ordningens modell.

Vi har nu betraktat alla komponenter och gjort subrutiner för dessa. Sammanställningen nedan visar använda subrutiner och den komponent respektive subrutin behandlar.

- DR5M - dom
- SHEATER - överhettare
- ATTEMP - ångkylare
- VALVE - ventil
- TURBINE - turbin
  
- REDUCE - reduktion till standardform

Dessa subrutiner ger den AA-matrizen, i uttrycket  $AA z = 0$ , som representerar systemet. Då man efter anrop av subrutinen således fått AA-matrizen, verkar det naturligt att anropa REDUCE för att få de i delsystemets standardform ingående matriserna. Efter det att alla komponenter genomgåtts, har man alltså en uppsättning A-, B-, C- och D-matrizer. Huvudprogrammet skulle följdaktligen sammanställa dessa till de slutliga systemmatriserna. Detta problem är principiellt inte svårt att lösa. Det gäller i sammanställningen att eliminera de interna variablerna, t.ex. utstorheter på ett överhettarsteg vilka blir instorheter på efterföljande ångkylare.

Då kopplingen mellan vissa signaler är komplicerad, blir emellertid arbetet mycket tidsödande. Vi övergav därför detta sätt att lösa problemet, och gör det på ett "klumpigare" men mindre arbetskrävande sätt.

Vi gör nu i stället så, att vi bildar en stor AA- resp. Q-matrizen för hela systemet. Efter varje anrop av en subrutin inför vi alltså elementen från delsystemets AA-matrizen till rätt plats i den stora AA-matrizen. På detta sätt försvinner problemet att eliminera de utstorheter från en del som är instorheter på nästa. Vid ett närmare studium av den så erhållna matrisen, finner man vissa egenheter.

Massflödet bestämmes med hjälp av ventilen, men massflödet är Insignal på domen. Flödet går alltså baklänges genom systemet.

Likadels får man utgå från kondensortrycket och gå baklänges för att få trycket efter ventilen.

Q-matrissens element erhålls ur AA-matrissens.

Då man nu har AA- och Q-matrisserna, räcker det med att anropa SPERED två gånger för att erhålla de i standardformen  $S(A, B, C, D)$  ingående matrisserna.

Observera, att de så erhållna C- och D-matrisserna endast ger sambanden för de utsignaler, som är linjärkombinationer av tillståndsvariabler och insignaler. För att få med de utsignaler som representerar tillståndsvariablerna, får man sätta in ettor på lämpliga platser i C-matrissen och samtidigt lägga in en kolonn med nollar i den ursprungliga C-matrissen. En kolonn för varje ny tillståndsvariabel som tillkommer.

På de följande sidorna ges beteckningar för tillståndsvariabler, in- resp. utsignaler och interna variabler. Det finns vidare figurer, som visar elementens platser i de från subrutinerna erhållna AA-matrisserna. Slutligen är det totala systemets AA- och Q-matris uppritade.

De återfinnes i mappen.

Beteckningar.

x = tillståndsvariabler

u = insignaler

y = utsignaler

v = interna variabler

Dom.domtryck  $x_0^1$   $y_0^1 = u_1^4 \approx u_1^3$ nivå i dom  $x_0^2$   $y_0^2$ vattentemp. i dom  $x_0^3$   $y_0^3$ stigutbtemp.  $x_0^4$   $y_0^4$ ångkvalitet  $x_0^5$   $y_0^5$ bränslef löde  $u_0^1$ matarvattenflöde  $u_0^2$ ånguttag  $u_0^3$ ÖH I ( 4 delar ).ångtemp. ut  $y_1^1 = u_2^1$ tryck ut  $y_1^2 = u_2^2$ materialtemp. I  $x_1^1$   $y_1^3$ " 2  $x_1^2$   $y_1^4$ " 3  $x_1^3$   $y_1^5$ " 4  $x_1^4$   $y_1^6$

bränsleflöde	$u_1^1$
ångflöde	$u_1^2 = y_2^3$
ångtemp. in	$u_1^3 \approx y_0^1$
tryck in	$u_1^4 = y_0^1$
3 st. mellanångtemp.	$v_1^1, v_1^2, v_1^3$
3 st. mellantryck	$v_1^4, v_1^5, v_1^6$

Kylare 1.

ångtemp. in	$u_2^1 = y_1^1$
tryck in	$u_2^2 = y_1^2$
ångflöde ut	$u_2^3 = y_4^3$
kylvattenflöde	$u_2^4$
ångtemp. ut	$y_2^1 = u_3^3$
tryck ut	$y_2^2 = u_3^4$
ångflöde in	$y_2^3 = u_0^3 = u_1^2$

ÖH 2.

ångtemp. ut	$y_3^1 = u_4^1$
tryck ut	$y_3^2 = u_4^2$
materialemp.	$x_3^1 \quad y_3^3$

bränsleflöde	$u_3^1$
ångflöde	$u_3^2 = y_4^3$
ångtemp. in	$u_3^3 = y_2^1$
tryck in	$u_3^4 = y_2^2$

Kylare 2.

ångtemp. in	$u_4^1 = y_3^1$
tryck in	$u_4^2 = y_3^2$
ångflöde ut	$u_4^3 = y_6^1$
kylvattenflöde	$u_4^4$
ångtemp. ut	$y_4^1 = u_5^3$
tryck ut	$y_4^2 = u_5^4$
ångflöde in	$y_4^3 = u_2^3 = u_3^2$

ÖH 3.

ångtemp. ut	$y_5^1 = u_7^2$
tryck ut	$y_5^2 = u_6^2$
materiattemp.	$x_5^1 \quad y_5^3$
bränsleflöde	$u_5^1$
ångflöde	$u_5^2 = y_6^1$
ångtemp. in	$u_5^3 = y_4^1$
tryck in	$u_5^4 = y_4^2$

Ventil ( statisk ).Överkritisk.

Inställning av ventilläge

$$u_6^1$$

tryck in

$$u_6^2 = y_5^2$$

ångflöde

$$y_6^1 = u_4^3 = u_5^2$$

Underkritisk.

Inställning av ventilläge

$$u_6^1$$

tryck in

$$u_6^2 = y_5^2$$

tryck ut

$$u_6^3 = y_7^2$$

ångflöde

$$y_6^1 = u_4^3 = u_5^2$$

Turbin, HT-del.

tryck ut

$$u_7^1 = y_8^2$$

ångtemp. in

$$u_7^2 = y_5^1$$

ångflöde

$$u_7^3 = y_6^1$$

ångtemp. ut

$$y_7^1 = u_8^3$$

tryck in

$$y_7^2$$

effekt

$$y_7^3$$

MÖH.

ångtemp. ut

$$y_8^1 = u_9^1$$

tryck in

$$y_8^2 = u_7^1$$

materialtemp. 1	$x_8^1$	$y_8^3$
" 2	$x_8^2$	$y_8^4$
" 3	$x_8^3$	$y_8^5$
" 4	$x_8^4$	$y_8^6$
bränslef löde	$u_8^1$	
ångflöde	$u_8^2 = y_6^1$	
ångtemp. in	$u_8^3 = y_7^1$	
tryck ut	$u_8^4 = y_9^1$	
3 st. mellanångtemp.	$v_8^1, v_8^2, v_8^3$	
3 st. mellantryck	$v_8^4, v_8^5, v_8^6$	

Turbin, LT-del.

ångtemp. in	$u_9^1 = y_8^1$
ångflöde	$u_9^2 = y_6^1$
tryck in	$y_9^1 = u_8^4$
effekt	$y_9^2$

Dom:

$\dot{x}_0'$	$\dot{x}_0^2$	$\dot{x}_0^3$	$\dot{x}_0^4$	$x_0^5$	$x_0^6$	$x_0^7$	$x_0^8$	$x_0^9$	$x_0^{10}$	$x_0^5$	$x_0^6$	$x_0^7$	$x_0^8$	$x_0^9$	$x_0^{10}$
$a_{11}$				$a_{55}$						$a_{114}$	$a_{115}$				
				$a_{26}$						$a_{214}$	$a_{215}$				
$a_{31}$				$a_{35}$	$a_{36}$	$a_{38}$				$a_{314}$	$a_{315}$	$a_{317}$			
							$a_{46}$	$a_{48}$				$a_{417}$			
									$a_{54}$						
										$a_{511}$					
											$a_{517}$				
												$a_{610}$			
												$a_{614}$	$a_{615}$	$a_{616}$	
												$a_{710}$	$a_{712}$	$a_{714}$	$a_{715}$
													$a_{810}$	$a_{814}$	$a_{816}$
													$a_{813}$	$a_{817}$	
														$a_{98}$	
															$a_{914}$

Matrix AA:

Verhettare 1:

$$\dot{x}_1^1, \dot{x}_1^2, \dot{x}_1^3, \dot{x}_1^4, x_1^1, x_1^2, x_1^3, x_1^4, u_1^1, u_1^2, u_1^3, u_1^4, v_1^1, v_1^2, v_1^3, v_1^4, v_1^5, v_1^6, y_1^1$$

$a_{11}$																					
$a_{22}$		$a_{15}$																			
$a_{33}$			$a_{26}$																		
				$a_{37}$																	
					$a_{39}$	$a_{310}$															
						$a_{40}$	$a_{410}$														
							$a_{48}$	$a_{49}$													
								$a_{54}$													
									$a_{510}$	$a_{511}$	$a_{512}$	$a_{513}$									
										$a_{610}$											
											$a_{710}$										
												$a_{714}$	$a_{715}$								
													$a_{718}$								
														$a_{815}$	$a_{816}$						
															$a_{817}$						
																$a_{917}$					
																	$a_{918}$				
																		$a_{1017}$	$a_{1018}$		
																			$a_{1119}$	$a_{1119}$	
																				$a_{1219}$	$a_{1220}$

Matris AA:

Kylare 1:

$y'_1$	$y'_2$	$y'_3$	$u'_1$	$u'_2$	$u'_3$	$u'_4$
$a_{11}$	$a_{12}$	$a_{13}$	$a_{14}$	$a_{15}$	$a_{16}$	$a_{17}$
		$a_{23}$				
			$a_{35}$	$a_{36}$		

Matrix Q:

Kylare 2:

$y'_1$	$y'_2$	$y'_3$	$u'_1$	$u'_2$	$u'_3$	$u'_4$
$a_{11}$	$a_{12}$	$a_{13}$	$a_{14}$	$a_{15}$	$a_{16}$	$a_{17}$
		$a_{23}$				
			$a_{35}$	$a_{36}$		

Matrix Q:

"Overhettare 2:"

$x'_3$	$x'_3$	$u'_3$	$u^2_3$	$u^3_3$	$u^4_3$	$y'_3$	$y^2_3$
$a_{11}$	$a_{12}$	$a_{13}$	$a_{14}$			$a_{17}$	
	$a_{22}$		$a_{24}$	$a_{25}$	$a_{26}$	$a_{27}$	
			$a_{34}$		$a_{36}$		$a_{38}$

Matris  $AA$ :

"Overhettare 3:"

$x'_5$	$x'_5$	$u'_5$	$u^2_5$	$u^3_5$	$u^4_5$	$y'_5$	$y^2_5$
$a_{11}$	$a_{12}$	$a_{13}$	$a_{14}$			$a_{17}$	
	$a_{22}$		$a_{24}$	$a_{25}$	$a_{26}$	$a_{27}$	
			$a_{34}$		$a_{36}$		$a_{38}$

Matris  $AA$ :

## Ventil (statisk):

Alt. 1 överkritisk:

$$\text{Matris } D: \begin{array}{c|c} u'_6 & u''_6 \\ \hline a'_1 & a'_2 \end{array}$$

Insättessom:  $\begin{array}{c|c|c} y'_6 & u'_6 & u''_6 \\ \hline -1. & a'_1 & a'_2 \end{array}$

Alt. 2 underkritisk:

$$\text{Matris } D: \begin{array}{c|c|c} u'_6 & u''_6 & u'''_6 \\ \hline a'_1 & a'_2 & a'_3 \end{array}$$

Insättessom:  $\begin{array}{c|c|c} y'_6 & u'_6 & u''_6 & u'''_6 \\ \hline -1. & a'_1 & a'_2 & a'_3 \end{array}$

Turbin:Högtrycksdel:

$y_1^1$	$y_1^2$	$y_1^3$	$u_1^1$	$u_1^2$	$u_1^3$
$a_{12}$	$a_{13}$		$a_{15}$	$a_{16}$	
$a_{21}$	$a_{22}$		$a_{24}$	$a_{25}$	$a_{26}$
	$a_{32}$		$a_{34}$	$a_{35}$	$a_{36}$

Matris Q:

Lägtrycksdel:

$$u_1^1 \ u_1^2$$

$a_{11}$	$a_{12}$
	$a_{22}$

Matris D:

$y_1^1$	$y_1^2$	$u_1^1$	$u_1^2$
$\pm 0.$	-1.	$a_{11}$	$a_{12}$
-1.	$\pm 0.$		$a_{22}$

Insättessom:

Mellanöverhettare:

$x_8'$   $x_8^2$   $x_8^3$   $x_8^4$   $x_8^5$   $x_8^6$   $x_8^7$   $x_8^8$   $x_8^9$   $x_8^{10}$   $x_8^{11}$   $x_8^{12}$   $x_8^{13}$   $x_8^{14}$   $x_8^{15}$   $x_8^{16}$   $x_8^{17}$   $x_8^{18}$   $x_8^{19}$   $x_8^{20}$   $y_8'$   $y_8^2$   $y_8^3$   $y_8^4$   $y_8^5$   $y_8^6$   $y_8^7$   $y_8^8$

$a_{11}$																				
$a_{22}$																				
		$a_{15}$																		
			$a_{16}$																	
				$a_{29}$	$a_{210}$															
					$a_{39}$	$a_{310}$														
						$a_{37}$														
							$a_{48}$	$a_{49}$	$a_{410}$											
								$a_{44}$												
									$a_{55}$											
										$a_{510}$	$a_{511}$									
											$a_{610}$									
												$a_{710}$								
													$a_{714}$	$a_{715}$						
														$a_{814}$	$a_{815}$					
															$a_{816}$					
																$a_{819}$				
																	$a_{912}$			
																		$a_{917}$		
																			$a_{1010}$	
																				$a_{1017}$
																				$a_{1018}$
																				$a_{1118}$
																				$a_{1119}$
																				$a_{1219}$

Matris AA:

Subrutinen misslyckades med att bilda C- och D-matrizer utgående från Q-matrisen i dess nuvarande form.

Misslyckandet berodde på att antalet utsignaler var för stort. Vi överförde därfor följande utsignaler till interna variabler:

$$y_1^2, y_2^2, y_3^2, y_4^2, y_5^2, y_9^1$$

Dessa signaler beskriver vissa tryck, som är av mindre intresse.

Efter denna modifiering gav subrutinen C- och D-matrizer.

Huvudprogram.

Program ÖRESUNY, 9:e ordningens modell.

Eftersom 15:e ordningens modell ger en mycket stor AA-matris (51,71), är risken stor att numeriska besvär helt eller delvis skall förstöra systemmatriserna. Av denna orsak nedbringades ordningstalet till 9 genom att varje överhettare gavs endast en tillståndsvariabel. Dessutom infördes DOUBLE PRECISION i reduceringsprogrammet.

9:e ordningens AA- och Q-matris bildas av samma delmatriser som stora systemet, och beteckningarna är desamma, varför endast AA- och Q-matriserna ges här i det mindre systemet.

Dessa återfinnes i mappen.

Egenvärden och systemmatriser.

Systemmatriserna bildas som förut omtalats med specialversionen av REDUCE, SPERED.

För egenvärdesbestämningen har använts ett program TQR av K. Mårtensson, LTH, som utnyttjar övre Hessenbergform. Egenvärdarna har bestämts dels för överkritiskt, dels för underkritiskt system. Vidare har både 15:e och 9:e ordningens modell använts. Ingångsdata återfinnes i appendix.

Insignaler.

15:e och 9:e ordningens modell.

- $u_1$  bränsleflöde
- $u_2$  matavattenflöde
- $u_3$  kylvattenflöde I
- $u_4$  kylvattenflöde II
- $u_5$  läge hos reglerventil

Tillståndsvariabler.

15:e ordningen

- $x_1$  domtryck
- $x_2$  nivå i dom
- $x_3$  vattentemp. i dom
- $x_4$  stigtubtemp.
- $x_5$  ångkvalitet
- $x_6$  mat.temp. 1 i ÖH I
- $x_7$  mat.temp. 2 i ÖH I
- $x_8$  mat.temp. 3 i ÖH I
- $x_9$  mat.temp. 4 i ÖH I
- $x_{10}$  mat.temp. i ÖH II
- $x_{11}$  mat.temp. i ÖH III
- $x_{12}$  mat.temp. 1 i MÖH
- $x_{13}$  mat.temp. 2 i MÖH
- $x_{14}$  mat.temp. 3 i MÖH
- $x_{15}$  mat.temp. 4 i MÖH

9:e ordningen

- $x_1$  domtryck
- $x_2$  nivå i dom
- $x_3$  vattentemp. i dom
- $x_4$  stigtubtemp.
- $x_5$  ångkvalitet
- $x_6$  mat.temp. i ÖH I
- $x_7$  mat.temp. i ÖH II
- $x_8$  mat.temp. i ÖH III
- $x_9$  mat.temp. i MÖH

Utsignaler.

15:e ordningen

y<sub>1</sub> temp. f. kyl.I  
y<sub>2</sub> temp. e. kyl.I  
y<sub>3</sub> ångflöde f. kyl.I  
y<sub>4</sub> temp. f. kyl.II  
y<sub>5</sub> temp. e. kyl.II  
y<sub>6</sub> ångflöde f. kyl.II  
y<sub>7</sub> temp. f. ventil  
y<sub>8</sub> ångflöde f. HT  
y<sub>9</sub> temp. e. HT  
y<sub>10</sub> tryck f. HT  
y<sub>11</sub> effekt HT  
y<sub>12</sub> temp. e. MÖH  
y<sub>13</sub> tryck f. MÖH  
y<sub>14</sub> effekt LT

9:e ordningen

y<sub>1</sub> temp. f. kyl.I  
y<sub>2</sub> temp. e. kyl.I  
y<sub>3</sub> temp. f. kyl.II  
y<sub>4</sub> temp. f. ventil  
y<sub>5</sub> temp. e. HT  
y<sub>6</sub> effekt HT  
y<sub>7</sub> temp. f. LT  
y<sub>8</sub> effekt LT

Underkriticisk modell; 9:e ordningen

MATRIX A

-7.1462484976-002	-0.0000000000+000	1.4706005727-002	5.0337873357-002
-7.1515132022-002	-0.0000000000+000	3.0574682316-004	2.4525762230-004
2.8135047671-032	-0.0000000000+000	-2.3641476834-002	-2.3603479512-001
-4.3397710194-005	-0.0000000000+000	0.0000000000+000	-3.585003546-000
-1.445131561-002	-0.0000000000+000	1.5057128177-004	-5.024115657-002
-1.241748846-002	-0.0000000000+000	0.0000000000+000	0.0000000000+000
-1.8495334-002	-0.0000000000+000	0.0000000000+000	-4.096040365-003
-5.644001231-003	-0.0000000000+000	0.0000000000+000	-8.9690006829-003

1.52404176174-004	5.18123216649-004	-4.463164906032-013	8.7600323134-005
-2.061519734H-005	-7.0n150n731-005	6.6n133n1477-015	-1.14985682299-005
-2.169084H2n4-005	-7.62934n5803-005	7.280680415-014	-2.3603479512-001
-7.147121272-007	0.0000000000+000	0.0000000000+000	-1.2419787569-005
1.571215844-004	2.517400133-006	2.34n7-05029-015	0.0000000000+000
-2.424410144-004	5.5264941407-004	-5.11357076975-013	0.0000000000+000
1.6443826112-002	5.830257273-004	-6.346646218-013	-8.72521-08911-002
8.0268258881-004	-2.4027643784-002	-1.2222335055-012	-2.5951238632-002
2.4233043274-003	-4.52235624274-003	-4.52235624274-003	9.358839118-003

MATRIX B

2.00008683434-011	1.970600572739-003	1.250745.3196-002	-1.8727500214-003
-9.4759483004-014	3.-406195172-005	-1.6617525587-004	2.4582079880-005
-1.47792884904-012	-3.2681923662-003	-1.7732801285-003	-2.6551451734-004
-1.20201990064-001	0.0000000000+000	0.0000000000+000	0.0000000000+000
-2.6645352591-014	-9.25796774-008	0.0000000000+000	0.0000000000+000
2.3264514994-001	0.0000000000+000	1.2845081817-005	2.7609320413-006
3.7116115374-001	0.0000000000+000	-1.54550354636-004	-1.9233033992-003
4.9345253245-001	0.0000000000+000	-5.8169606422-002	-2.0279167815-002
1.0322114814-001	0.0000000000+000	-3.1128550993-003	-1.2946111078-001

MATRIX C

-7.8469344655-002	0.0000000000+000	0.0000000000+000	0.0000000000+000
1.385616013-001	0.0000000000+000	0.0000000000+000	0.0000000000+000
-4.5744612756-002	0.0000000000+000	0.0000000000+000	0.0000000000+000
-7.222824367-002	0.0000000000+000	0.0000000000+000	0.0000000000+000
2.550600204-001	0.0000000000+000	0.0000000000+000	0.0000000000+000
1.2711632641-002	0.0000000000+000	0.0000000000+000	0.0000000000+000
-1.6155H59911-002	0.0000000000+000	0.0000000000+000	0.0000000000+000
1.0453607516+003	0.0000000000+000	0.0000000000+000	0.0000000000+000

4.4672234563-004	1.711961A12-003	1.1141310097-011	8.5351647234-001
-1.052425530H-003	-3.7034929527-003	-1.5024349947-010	7.6411562299-001
6.1374753670-001	-2.75730.0064-004	-4.4337/056711-012	3.5142091602-001
1.45516338H7-001	6.4424465450-001	-7.3418459R01-012	1.365652254-001
1.5267219605-001	5.3n694219605-001	2.4583641789-009	8.7617381085-002
1.5751264894-001	5.5402440263+001	-1.0370276768-001	9.0188934105-000
2.2645031616-002	8.043725677-002	6.592243319-001	1.0834872434+001
-1.1670576124+001	-4.167044095+001	1.0834872434+001	-6.6835641628+001

MATRIX D

5.0337873357-002	5.0337873357-002	5.0337873357-002	5.0337873357-002
-5.9654896969-001	-5.9654896969-001	-5.9654896969-001	-5.9654896969-001
-2.3603479512-001	-2.3603479512-001	-2.3603479512-001	-2.3603479512-001
-1.2419787569-005	-1.2419787569-005	-1.2419787569-005	-1.2419787569-005
-3.585003546-000	-3.585003546-000	-3.585003546-000	-3.585003546-000
0.0000000000+000	0.0000000000+000	0.0000000000+000	0.0000000000+000
-5.024115657-002	-5.024115657-002	-5.024115657-002	-5.024115657-002
1.41963A102-004	1.41963A102-004	1.41963A102-004	1.41963A102-004
-1.41963A102-004	-1.41963A102-004	-1.41963A102-004	-1.41963A102-004
-8.72521-08911-002	-8.72521-08911-002	-8.72521-08911-002	-8.72521-08911-002
-8.9690006829-003	-8.9690006829-003	-8.9690006829-003	-8.9690006829-003
2.5951238632-002	2.5951238632-002	2.5951238632-002	2.5951238632-002
9.358839118-003	9.358839118-003	9.358839118-003	9.358839118-003
4.5936176192-004	4.5936176192-004	4.5936176192-004	4.5936176192-004

8.7600323134-005	8.7600323134-005	8.7600323134-005	8.7600323134-005
-1.14985682299-005	-1.14985682299-005	-1.14985682299-005	-1.14985682299-005
-2.3603479512-001	-2.3603479512-001	-2.3603479512-001	-2.3603479512-001
-1.2419787569-005	-1.2419787569-005	-1.2419787569-005	-1.2419787569-005
-3.585003546-000	-3.585003546-000	-3.585003546-000	-3.585003546-000
0.0000000000+000	0.0000000000+000	0.0000000000+000	0.0000000000+000
0.0000000000+000	0.0000000000+000	0.0000000000+000	0.0000000000+000
-5.024115657-002	-5.024115657-002	-5.024115657-002	-5.024115657-002
1.41963A102-004	1.41963A102-004	1.41963A102-004	1.41963A102-004
-1.41963A102-004	-1.41963A102-004	-1.41963A102-004	-1.41963A102-004
-8.72521-08911-002	-8.72521-08911-002	-8.72521-08911-002	-8.72521-08911-002
-8.9690006829-003	-8.9690006829-003	-8.9690006829-003	-8.9690006829-003
2.5951238632-002	2.5951238632-002	2.5951238632-002	2.5951238632-002
9.358839118-003	9.358839118-003	9.358839118-003	9.358839118-003
4.5936176192-004	4.5936176192-004	4.5936176192-004	4.5936176192-004

## MATRIX D

0.0000000000+000	0.0000000000+000	3.9790769565-002	-5.9579007324-003
0.0000000000+000	0.0000000000+000	-4.6646667294+000	-7.7999651323-002
0.0000000000+000	0.0000000000+000	-2.1511761193+000	-5.8071844913-003
0.0000000000+000	0.0000000000+000	-6.9887732926-001	-1.5579801567+000
0.0000000000+000	0.0000000000+000	-5.2074784342-001	-1.1675327164+000
0.0000000000+000	0.0000000000+000	-4.8328085345+001	-1.1056678474+002
0.0000000000+000	0.0000000000+000	-8.0934404230-002	-1.8025614827-001
0.0000000000+000	0.0000000000+000	9.9620828091+001	1.9883037932+002
0.0000000000+000	0.0000000000+000		

~~178~~  
 214  
~~194~~

THE EIGENVALUES ARE

## REAL PART

-8.3536720835-002	7.9205996476-003
-8.3536729832-002	-7.9205946332-003
-6.2281639036-003	-2.7652935660-003
-6.2281626158-003	2.7452915338-003
-4.5223666755-003	1.9678109697-009
-2.6326444015-002	3.7250547551-004
-2.6326433951-002	-3.7250900434-004
-3.3995441046-002	0.0900000000+000
0.0000000000+000	0.6606666000+000

## IMAGINARY PART

## Överkritisk modell, 9:e ordningen

MATRIX A

-2.5H1944213H-002	*0.0000000000+000	1.9706005727-002	5.0337873357-002
-5.H16814330H-005	*0.0000000000+000	3.0574682316-004	-2.3663479512-001
1.1H6023H304-002	*0.0000000000+000	-2.3661474834-002	-3.5955803546-012
2.9H135047671-002	*0.0000000000+000	0.0000000000+000	0.0000000000+000
-5.024115657-002	*0.0000000000+000	-5.024115657-002	0.0000000000+000
-2.3663479512-001	*0.0000000000+000	0.0000000000+000	1.5353485640-012
2.4333631575-003	*0.0000000000+000	2.4333631575-003	1.5353485640-012
-5.024115657-002	*0.0000000000+000	-5.024115657-002	0.0000000000+000
0.0000000000+000	*0.0000000000+000	0.0000000000+000	1.5353485640-012
1.8196639102-004	*0.0000000000+000	1.8196639102-004	4.8643347724-014
0.0000000000+000	*0.0000000000+000	0.0000000000+000	-0.0589657165-003
0.0000000000+000	*0.0000000000+000	0.0000000000+000	2.5856458674-002
0.0000000000+000	*0.0000000000+000	0.0000000000+000	5.2560676457-003
0.0000000000+000	*0.0000000000+000	0.0000000000+000	4.1831625246-004

-6.12H3576942-003	*0.0000000000+000	0.0000000000+000	0.0000000000+000
-2.7543051645-013	*-3.73H7584073-013	-2.7543051645-013	-1.908654186-002
4.6129844538-015	*3.6153543618-015	3.6153543618-015	-1.1908654186-002
4.760584523-014	*3.9469953172-014	3.9469953172-014	-1.5631530377-004
0.0000000000+000	*0.0000000000+000	0.0000000000+000	-1.7620368323-003
1.2894944647-015	*1.499973610-015	1.2894944647-015	1.683836777-003
-2.8286554127-013	*-3.862156072-013	-2.8286554127-013	0.0000000000+000
-2.6878340830-013	*-3.793849533-013	-2.6878340830-013	5.5716003381-005
-4.4654922727-002	*-2.4654937395-002	-4.4654922727-002	-1.2230118710-002
2.5696900964-003	*-4.5223628274-003	2.5696900964-003	-1.29302367913-002
7.3957852080-004	*-4.5223628274-003	7.3957852080-004	-1.330192304-002
2.5696900964-003	*-6.3094065508-003	2.5696900964-003	-5.612477001-003

-7.9208H992640-C13	*-3.73H7584073-013	-3.73H7584073-013	-1.2988189290-002
1.0476268175-014	*4.6129844538-015	4.6129844538-015	-1.8414376701-003
1.2264427H53-013	*4.760584523-014	4.760584523-014	-1.7620368323-003
0.0000000000+000	*0.0000000000+000	0.0000000000+000	0.0000000000+000
3.7560282479-015	*1.499973610-015	1.499973610-015	1.683836777-003
-7.9542421H6-013	*-3.862156072-013	-3.862156072-013	0.0000000000+000
-2.8404854284-002	*-3.793849533-013	-3.793849533-013	5.5716003381-005
-1.6165492272-002	*-2.4654937395-002	-2.4654937395-002	-1.2230118710-002
7.3957852080-004	*-4.5223628274-003	7.3957852080-004	-1.330192304-002
2.5696900964-003	*-6.3094065508-003	2.5696900964-003	-5.612477001-003

MATRIX B

1.H446146349-011	1.97H896H739-003	1.2428151053-002	1.1908654186-002
-1.176321905-014	*3.0619591512-003	-1.4764593494-004	-1.5631530377-004
-1.8414376701-003	*-3.26H1973662-003	-1.8414376701-003	-1.7620368323-003
-1.20190064-001	*0.0000000000+000	0.0000000000+000	0.0000000000+000
1.6962386956-014	*-9.2574987784-006	-6.0760168175-005	-5.8140267259-005
2.32451993-001	*0.0000000000+000	1.332874494-002	-1.2753633976-002
3.7116115393-001	*0.0000000000+000	-1.5902950620-001	1.3465193153-002
4.945253283-001	*0.0000000000+000	-5.7629209346-002	-1.2016503334-002
1.032211481H-001	*0.0000000000+000	-2.8862870644-003	-6.3094065508-003

MATRIX C

-8.2225402237-002	*0.0000000000+000	0.0000000000+000	0.5323778377-001
1.4560693424-001	*0.0000000000+000	0.0000000000+000	7.647250940-001
-4.5201193524-002	*0.0000000000+000	0.0000000000+000	3.5146380177-001
-7.35H8445004-002	*0.0000000000+000	0.0000000000+000	1.1355136040-001
2.4327478549-001	*0.0000000000+000	0.0000000000+000	2.9705556663-002
1.3H446994193-002	*0.0000000000+000	0.0000000000+000	1.0022936553-001
-1.7053023061-002	*0.0000000000+000	0.0000000000+000	1.3022304613-002
1.142666884-003	*0.0000000000+000	0.0000000000+000	1.6427397875-000
1.4139H04442-012	5.81223457A5-012	8.9016793936-011	
3.3636111445-011	6.6222542973-012	-1.9781509764-011	
6.13H25428559-061	-2.295053365-012	-1.3869794202-011	
1.4H31512356-001	6.975387360-001	-1.7669208319-009	
1.5667347511-001	5.5107394975-001	1.962689565-009	
1.7504H06351-001	6.1570263366-001	-1.1445954442-006	
2.2741371814-002	7.994904634-002	8.5922836305-001	
2.86901190884-000	1.0091275852-001	1.0839872468-002	

## MATRIX D

0•000000000+000	0•000000000+000	4•1320166385-002	3•9538480538-002	-3•7885771549-002
0•000000000+000	0•000000000+000	-4•6679752704+000	-8•5533513993-002	8•1958211847-002
0•000000000+000	0•000000000+000	-2•1514224450+000	-6•3680912522-003	6•1019049075-003
0•000000000+000	0•000000000+000	-6•9824314328-001	-1•5565360550+000	-1•5709863261-002
0•000000000+000	0•000000000+000	-5•3332143652-001	-1•1961639838+000	3•1146938246-001
0•000000000+000	0•000000000+000	-5•3838108258+001	-1•2311363099+002	1•3649267970+002
0•000000000+000	0•000000000+000	-8•0531785206-002	-1•7933934645-001	-9•9735602746-003
0•000000000+000	0•000000000+000	5•3915154637+001	9•4754213684+001	1•1322075996+003

THE EIGENVALUES ARE  
REAL PART                   IMAGINARY PART

1 1 3 2  
1 3 6  
8

-8•3815166571-002	7•6261106320-003
-8•3815166594-002	-7•6261105603-003
-9•0589646981-003	-2•3960231502-010
-5•3900611589-003	7•3300189640-008
-4•5223781067-003	-7•3141455448-008
-2•4654977428-002	0•000000000+000
-2•8409822085-002	0•000000000+000
-3•3940813799-002	0•000000000+000
0•000000000+000	0•000000000+000

SYSTEM MATRICES , överbiktisk modell 15:e ordningen.

MATRIX A

$$\begin{aligned}
 & -6.5819442142-002 & -6.0000000000+000 & 1.9706005727-002 & 5.0337873357-002 \\
 & -5.4368235236-005 & -6.0000000000+000 & 3.287482316-004 & 2.2528765230-004 \\
 & 1.1660238305-002 & -6.0000000000+000 & -2.364474834-002 & 2.4332637575-003 \\
 & 2.8135047671-002 & -6.0000000000+000 & -0.0000000000+000 & -5.0241156557-002 \\
 & -8.6609755589-005 & -6.0000000000+000 & -1.5055726177-004 & 1.919638102-004 \\
 & -1.4584299620-003 & -6.0000000000+000 & -1.5055726177-004 & -8.7259148911-002 \\
 & -2.3817573618-002 & -6.0000000000+000 & -6.0000000000+000 & -3.1102364848-002 \\
 & -4.212592568-003 & -6.0000000000+000 & -6.0000000000+000 & -3.824036901-002 \\
 & -2.12997975808-002 & -6.0000000000+000 & -6.0000000000+000 & -4.4076466849-003 \\
 & -2.1613400803-002 & -6.0000000030+000 & -6.0000000000+000 & -5.5232321334-003 \\
 & -2.0794232903-002 & -6.0000000000+000 & -6.0000000000+000 & -3.2939230576-003 \\
 & -3.676133596-003 & -6.0000000000+000 & -6.0000000000+000 & -1.1761586559-003 \\
 & -6.6939216182-003 & -6.0000000000+000 & -6.0000000000+000 & -1.6200577275-004 \\
 & -7.6174740584-003 & -6.0000000000+000 & -6.0000000000+000 & -6.4707291686-005 \\
 & -5.9061561699-003 & -6.0000000000+000 & -6.0000000000+000 & -2.5617256731-005 \\
 & & & 7.5733360228-006 &
 \end{aligned}$$

$$\begin{aligned}
 & 0.0000000000+000 & 0.0000000000+000 & 0.0000000000+000 & 0.0000000000+000 \\
 & -2.0255995106-012 & -2.17446952952-014 & -2.8153754035-013 & -1.0880165541-014 \\
 & -1.17428229931-012 & 5.8647531276-013 & 2.853754035-013 & 1.110223046-013 \\
 & 0.0000000000+000 & 0.0000000000+000 & 0.0000000000+000 & 0.0000000000+000 \\
 & -3.8666986279-014 & 1.9371657055-014 & 9.4368657060-015 & 3.4694468519-015 \\
 & 8.457205641-012 & -4.195754055-012 & -2.0623502905-012 & -7.8159701934-013 \\
 & -2.8963385542-002 & -5.8184568274-012 & -3.9221559014-012 & -1.0000249586-012 \\
 & -1.0563458707-002 & -1.6376028829-002 & -1.6023072672-013 & -2.5579538487-013 \\
 & 1.3260094470-002 & 7.06732191906-003 & -2.3207268238-002 & -3.4316594052-013 \\
 & 7.3542340446-003 & 4.-195561246-003 & 1.-6487682319-003 & -7.815970924-013 \\
 & 2.8259877229-003 & 1.5019221275-003 & 1.5022423079-003 & -2.4654937295-002 \\
 & 3.892664029-004 & 2.06352657-004 & 2.2205823452-003 & -3.416051373-013 \\
 & 1.5507884127-004 & 8.2419467396-005 & 3.2339121294-004 & -1.09172125-003 \\
 & 6.1394852458-005 & 3.-262940446-005 & 1.-2322767533-004 & -8.3761066631-003 \\
 & 1.8150497216-005 & 9.-64664089274-006 & 3.52119632446-004 & -3.-2352765145-003 \\
 & & 3.7903376331-005 & 1.032617174-004 & 3.-6519152773-004 \\
 & & & 0.0000000000+000 & 0.0000000000+000 \\
 & & & 4.-5474735089-013 & 1.-8189894025-012 \\
 & 3.5527136788-015 & 1.-4210534715-014 & 5.-6843216062-014 \\
 & 1.-421054715-014 & -1.-136363372-013 & -2.2737367544-013 \\
 & 0.0000000000+000 & 0.0000000000+000 & 0.0000000000+000 \\
 & 1.-322676295-015 & 0.-0000000000+000 & -1.5593721155-014 \\
 & -3.-4106051316-013 & 0.-0000000000+000 & 1.8169894035-012 \\
 & -5.-6843418861-013 & -9.-0944470177-013 & 5.-4569682106-012 \\
 & 0.0000000000+000 & -2.-2737367544-013 & 1.1360683772-012 \\
 & -2.-2737367544-013 & -1.-8.189094035-012 & 5.-4569682106-012 \\
 & -4.-5474735089-013 & -2.-7284861053-012 & 6.3564629246-012 \\
 & -9.-04749470177-013 & -1.-61693894035-012 & 5.-4569682106-012 \\
 & -2.-687485155-011 & 5.-7230166211-011 & -4.-4337856713-012 \\
 & -1.-37460628059-002 & 1.-9544126068-011 & -4.-5474735089-013 \\
 & 4.-334631106-003 & -1.-3756608621-002 & 1.3642420527-012 \\
 & 2.-4640056249-003 & 6.-2238956942-003 & -1.-0302652283-002
 \end{aligned}$$

## MATRIX B

-4.0017766878-011	1.9788968739-003	1.2988189293-002	1.2428151057-002	-1.1908654189-002
3.4061959172-005	-1.7048549089-004	-1.6313432042-004	1.5631530381-004	1.6883836781-003
2.2737367544-013	-1.8414378705-003	-1.7620368397-003	-1.7620368397-003	0.0000000000+000
3.6379788071-012	0.0000000000+000	0.0000000000+000	0.0000000000+000	5.5710003397-005
1.2001990064-001	-6.0760188194-005	-5.8140267286-005	-1.2085358061-002	-1.6756455030-002
8.5265128289-014	1.3180911603-002	1.2612563366-002	1.7487429812-002	-5.2323102548-003
4.3542609350-001	0.0000000000+000	1.8275449632-002	5.4605618056-003	-1.2188930067-002
2.6415441174-001	0.0000000000+000	5.7066260342-003	1.2720653542-002	-1.3345208628-002
2.3765756298-002	0.0000000000+000	1.3293872547-002	1.3927372992-002	-1.4040527622-002
1.3885427050-001	0.0000000000+000	1.5854650158-001	1.2801958269-001	-2.8989908611-003
3.7116115395-001	0.0000000000+000	-5.7456303148-002	-1.7689234523-002	-6.0383938075-003
4.9345253281-001	0.0000000000+000	-7.9483326764-003	-7.5707330086-003	-7.1028821435-003
1.1197250634-001	0.0000000000+000	-3.4507658680-003	-3.4852085495-003	-5.5663885564-003
1.1197250637-001	0.0000000000+000	-1.6325265053-003	-1.3893372388-003	8.3615832690-002
8.3615832690-002	0.0000000000+000	-6.7859558973-004		

## MATRIX C

-2.21254833865-001	0.0000000000+000	-0.0000000000+000	0.0000000000+000	1.0669623051-001
2.101131848-002	0.0000000000+000	-0.0000000000+000	0.0000000000+000	9.411952447-002
9.1888519442-001	0.0000000000+000	-0.0000000000+000	0.0000000000+000	4.7258641644-011
-1.0248921468-001	0.0000000000+000	-0.0000000000+000	0.0000000000+000	4.4774163045-002
-5.697123591-002	0.0000000000+000	-0.0000000000+000	0.0000000000+000	4.3358122632-002
6.1878510442-001	0.0000000000+000	-0.0000000000+000	0.0000000000+000	0.054593397-011
-9.2090865093-002	0.0000000000+000	-0.0000000000+000	0.0000000000+000	1.466560971-002
9.168519437-001	0.0000000000+000	-0.0000000000+000	0.0000000000+000	4.804778797-011
2.665573117-001	0.0000000000+000	-0.0000000000+003	0.0000000000+000	1.142821173-002
8.07607023-001	0.0000000000+000	-0.0000000000+000	0.0000000000+000	9.67160490828-004
1.3721382107+002	0.0000000000+000	-0.0000000000+000	0.0000000000+000	1.276848621-000
-5.3304841660-002	0.0000000000+000	-0.0000000000+000	0.0000000000+000	2.910174367-004
2.8698525001-001	0.0000000000+000	-0.0000000000+000	0.0000000000+000	1.6909351131-011
1.188093235-003	0.0000000000+000	-0.0000000000+000	0.0000000000+000	3.6714630544-002
2.6050365874-001	5.4407728356-001	-2.0343728703-011	6.9025674065-011	9.7364356759-013
2.334776423-001	1.24083595659-001	4.0763190769-001	-7.7077261851-013	-1.621025471-014
-4.2698289348-011	6.755662659-011	-4.947601639-011	-6.30761615397-012	3.6379760807-012
1.0391669533-001	5.7030101250-002	2.3411637362-001	-2.376220384-010	3.639446695-017
1.0391298326-001	5.5226451048-002	2.1702840546-001	-1.4304227143-010	1.05606483-010
-4.0653702626-011	6.8805293286-011	-4.5400128100-011	-1.39266631621-012	-6.4644251959-012
3.4668582703-002	1.2407525066-002	7.24073432-002	9.8331451244-001	-3.110045554-011
-4.08455549165-011	6.880984679-011	-4.5016631157-011	-2.202682809-013	7.326344453-013
2.7389091144-002	1.455643228-002	5.720375526-002	1.566775501-001	-9.3052676574-011
2.3295685008-003	1.2375562203-003	4.5633529373-003	1.3320096431-002	-2.0723404105-012
3.0601220786-000	1.0626573805-000	6.3125632492-003	1.7504803259-001	2.9602307046-003
6.9745804359-004	3.7067770305-004	1.4566636595-003	3.7896666895-003	2.7353030369-002
-1.3328005366-011	2.1384227722-011	-1.51033410965-011	2.8275600063-012	-2.1481127937-010
8.7990070370-002	4.6764045650-002	1.0337251205-001	5.0332944149-001	1.770377365-000
-5.8264504332-013	-8.5832562480-012	-2.8421709430-012	-2.8421709430-012	
-2.5153212846-012	2.8421709430-013	-3.522919524-011		
-2.10330457-011	7.54820625-011	-8.64019563-011		
-2.2759572004-015	4.7739539002-015	-1.814702209-014		
-4.0647660793-010	1.1141310097-011	-4.42239195-010		
2.8876455781-011	7.503312399-011	1.64056575-010		
-8.603251444-011	1.5501200325-010	-6.933606995-010		
-6.1390892370-012	9.096947017-012	2.455635694-011		
6.3039351517-010	-7.4965100794-010	-1.837179297-009		
5.5706550482-011	7.7307049657-012	-6.9223513442-011		
-1.8109403310-007	7.331465251-008	4.07525263-007		
9.45682915090-002	2.3916202956-001	6.640553742-001		
1.6939335621-010	-4.5915795601-011	-4.0912735315-010		
1.1945028419+001	3.0172255955-001	7.621288602-001		

## MATRIX D

0.000000000+0.000	0.000000000+0.000	5.7258910935-0.02
0.000000000+0.000	0.000000000+0.000	-4.6536900926+0.00
0.000000000+0.000	0.000000000+0.000	-9.5072264087-0.01
0.000000000+0.000	0.000000000+0.000	-2.1448569552+0.00
0.000000000+0.000	0.000000000+0.000	-2.0747519421+0.00
0.000000000+0.000	0.000000000+0.000	4.9277359056-0.02
0.000000000+0.000	0.000000000+0.000	-6.9612196916-0.01
0.000000000+0.000	0.000000000+0.000	4.9277359055+0.02
0.000000000+0.000	0.000000000+0.000	-5.3164565255-0.01
0.000000000+0.000	0.000000000+0.000	-3.1149231945-0.03
0.000000000+0.000	0.000000000+0.000	-5.3650876693+0.01
0.000000000+0.000	0.000000000+0.000	-1.6763742489-0.02
0.000000000+0.000	0.000000000+0.000	1.5497507220-0.02
0.000000000+0.000	0.000000000+0.000	6.1960018179+0.01
0.000000000+0.000	0.000000000+0.000	1.1272632334+0.03

THE EIGENVALUES ARE

## REAL PART

-8.3815166021-0.02	-7.6261105986-0.03
-8.3815165975-0.02	7.6261105600-0.03
-5.3900764046-0.03	3.8956962656-0.11
-1.0302657033-0.02	7.4964411069-0.09
-1.3784136488-0.02	-4.3355498111-0.05
-1.3891758776-0.02	-1.3266919754-0.06
-1.3787775248-0.02	4.4636206280-0.05
-1.6376017398-0.02	3.8449272266-0.08
-2.3207271841-0.02	-8.5392569751-0.12
-2.4654924276-0.02	1.722304349-0.10
-2.8409897297-0.02	-1.2576991878-0.10
-2.8963356003-0.02	0.0000000000+0.00
-3.1103681957-0.02	0.0000000000+0.00
-3.3940813881-0.02	0.0000000000+0.00
0.0000000000+0.00	0.0000000000+0.00

## IMAGINARY PART

5.4789961893-0.02	5.2499740865-0.02
-7.1864298846-0.02	6.8860370937-0.02
-9.0972839459-0.01	8.7170173666-0.01
-8.5698676934-0.05	8.216997680-0.05
-6.378322231+0.00	3.0224019443-0.02
-9.0972839466-0.01	8.7170173663-0.01
-1.5545063441+0.00	-1.7654732063-0.02
-1.0271605330-0.02	8.7170173659-0.01
-1.1945604575+0.00	3.0993283842-0.01
-2.4464167334-0.02	7.7081354969-0.01
-1.2293447268+0.02	1.3632101044+0.02
-1.6763742489-0.02	-4.9165347659-0.02
-3.6328055413-0.02	2.7414626530-0.01
2.8390012826-0.02	1.1272632334+0.03

$A(1,1)$ -elementet är av väsentlig betydelse för systemets dynamik. Några program kördes med varierande  $A(1,1)$ -element. Härvid visades att en liten ändring kan ge betydande ändring i motsvarande egenvärde.

Tryckfallet i en underkritisk modell över de olika överhettarna, ventilen och turbindelarna beskrivs i huvudsak av

$$m_s = k \sqrt{p_1 - p_2}$$

Om man bortser från kylvattenflöden och avtappningsmängderna från turbinen, så är massflödet detsamma från dom t.o.m. lågtrycksturbinen. Tryckfallet över delarna kan då adderas och summan ger ekvationen

$$m_s = k \sqrt{p_{\text{dom}} - p_{\text{kylare}}}$$

Lineariserad

$$\Delta m_s = \frac{k}{2 \sqrt{p_d - p_k}} (\Delta p_d - \Delta p_k)$$

Insättes  $k$ -värdet från det statiska tillståndet så fås

$$\Delta m_s = \frac{m_s}{2 \sqrt{p_d - p_k}} (\Delta p_d - \Delta p_k)$$

Insättes följande data

$$m_s = 130 \text{ kg/s}$$

$$p_d = 143 \text{ bar}$$

$$p_k = 0$$

$$\Delta p_k = 0$$

så erhålls

$$\Delta m_s = 0,46 \Delta p_d$$

Denna koefficient är känslig numeriskt och kan ge ett  $A(1,1)$ -element som gör systemet t.o.m. instabilt. En tryckhöjning i domen kan således ej åstadkomma en tillräcklig massflödesökning, utan nivån i domen stiger starkt.

Se även ref. 5 sid. 37.

### Simulerings.

För att få en uppfattning om modellens dynamiska riktighet, lades stegstörningar på de olika insignalerna. Stegsvaren för vissa tillståndsvariabler och vissa utsignaler plottades sedan för var och en av insignalerna.

Simuleringen tillgick så att det ursprungliga systemet, som har formen

$$\frac{dx}{dt} = Ax + Bu$$

$$y = Cx + Du$$

med hjälp av ett FORTRAN-program konverterades till samplad form dvs.

$$x(t + T) = \Phi x(t) + \Gamma u(t)$$

$$y(t) = \Theta x(t) + Du(t)$$

där

$$\Phi = \exp At$$

$$\Gamma = \int_0^T (\exp As) ds B$$

Utgående från detta samplade system och en given stegstörning på en viss insignal, var det med hjälp av ett FORTRAN-program möjligt att få ut plottade stegsvar av givna tillstånd och utsignaler.

I appendix finns stegsvar för en 9:e ordningens överkritisk modell.

Fig. 1-12 visar stegsvar då insignalen var en ökning av bränsleflödet,  $u_1$ , med 4 t/h.

Fig. 13-24 är stegsvar då slaget hos reglerventilen,  $u_5$ , minskas med 5%.

Fig. 25-29 är stegsvar för en ändring av 40 t/h hos matarvattenflödet,  $u_2$ .

Fig. 30-41 och fig. 42-48 visar stegsvar för en ändring på 4 t/h hos kylvattenflöde I,  $u_3$ , resp. kylvattenflöde II,  $u_4$ .

De stationära värdena har varit:

Kylvattenflöde I            3.87 kg/s

Kylvattenflöde II            1.04 kg/s

Matarvattenflöde            130.55 kg/s

Samplingsintervallet, T, har varit 5 sek.

Referenser:

1. Anderson J.H. : Superheater Dynamic Models. ASME 66-WA-HT-57
2. Andeson J.H., Kwan H.W., Qualtrough G.H. : Dynamic Models for Power Station Boilers. Third U.K.A.C. Control Convention 2-4:th April 1968.
3. von Bolte W. : Simulering der Drehzahlregelung von Dampfturbinen mit Zwischenüberhitzung. BWK nr 6, 1967.
4. Eklund K. : En olinjär matematisk modell för en damppanna. Rapport 6801, mars 1968. Lunds Tekniska Högskola, Inst. för regleringsteknik.
5. Eklund K. : Linear Mathematical Models of the Drum-Downcomer-Riser Loop of a Drum Boiler. Report 6809 Nov. 1968. Lund Institute of Technology, Division of Automatic Control.
6. Eklund K. : Numerical Modelbuilding. Report 6808 Nov. 1968. Lund Institute of Technology, Division of Automatic Control.
7. Enns M. : Comparison of Dynamic Models of a Superheater. ASME, Journal of Heat Transfer, Nov. 1962, s. 375-385.
8. Jonasson J. : Dynamiska egenskaper hos en värmeväxlare. Rapport RE-34, aug. 1968. Lunds Tekniska Högskola. Inst. för regleringsteknik.
9. Kleinau W. : Regeldynamik von Dampfturbinen mit Zwischenüberhitzung. BWK nr 6, 1965.
10. Nicholson H. : Dynamic Optimisation of a Boiler-turboalternator Model.
11. Profos P. : Die Regelung von Dampfanlagen. Springer-Verlag 1962.
12. Thal-Larsen H. : Dynamics of Heat Exchangers and their Models. ASME, Journal of Basic Engineering, June 1960, s. 489-504.

APPENDIX.

Data till överhettare.

Tubmassorna beräknas med hjälp av de data som finns på ritning 651013. Längderna har mätts upp på den stora sammanställningsritningen.

Ångtemperaturerna fås ur katalogblad och ur de mätdata, som erhölls vid leveransprovningen av PI6.

Metalltemperaturerna sättes  $35^{\circ}\text{C}$  högre än motsvarande ångtemperatur. Det har varit omöjligt att få mer exakta metalltemperaturer, men den ovan nämnda temperaturdifferensen har erhållits med hjälp av ett par kurvor från Steinmüllers leveransprovning.

Specifika värmeför ångan fås med hjälp av ångtabellen och definitionerna

$$c_{ps} = (\Delta i / \Delta T)_p = \text{konstant}$$

$$c_{Ts} = (\Delta i / \Delta p)_T = \text{konstant}$$

Specifika värmeför tuberna antages vara detsamma för alla tubmaterial.

F-värdet, dvs. proportionalitetskonstanten i sambandet

$$Q_{gm} = F \cdot m_B$$

fås genom att för två olika laster, kring den stationära punkten, beräkna det tillförda värmeflödet och så bilda differensen mellan dessa värmeflöden. Denna differens dividerad med skillnaden mellan bränsleförlödena, ger det önskade F-värdet.

F-värdet fås alltså ur sambandet

$$F = \frac{(m_s \Delta i)_1 - (m_s \Delta i)_2}{m_{B1} - m_{B2}} = \frac{Q_{ms1} - Q_{ms2}}{m_{B1} - m_{B2}}$$

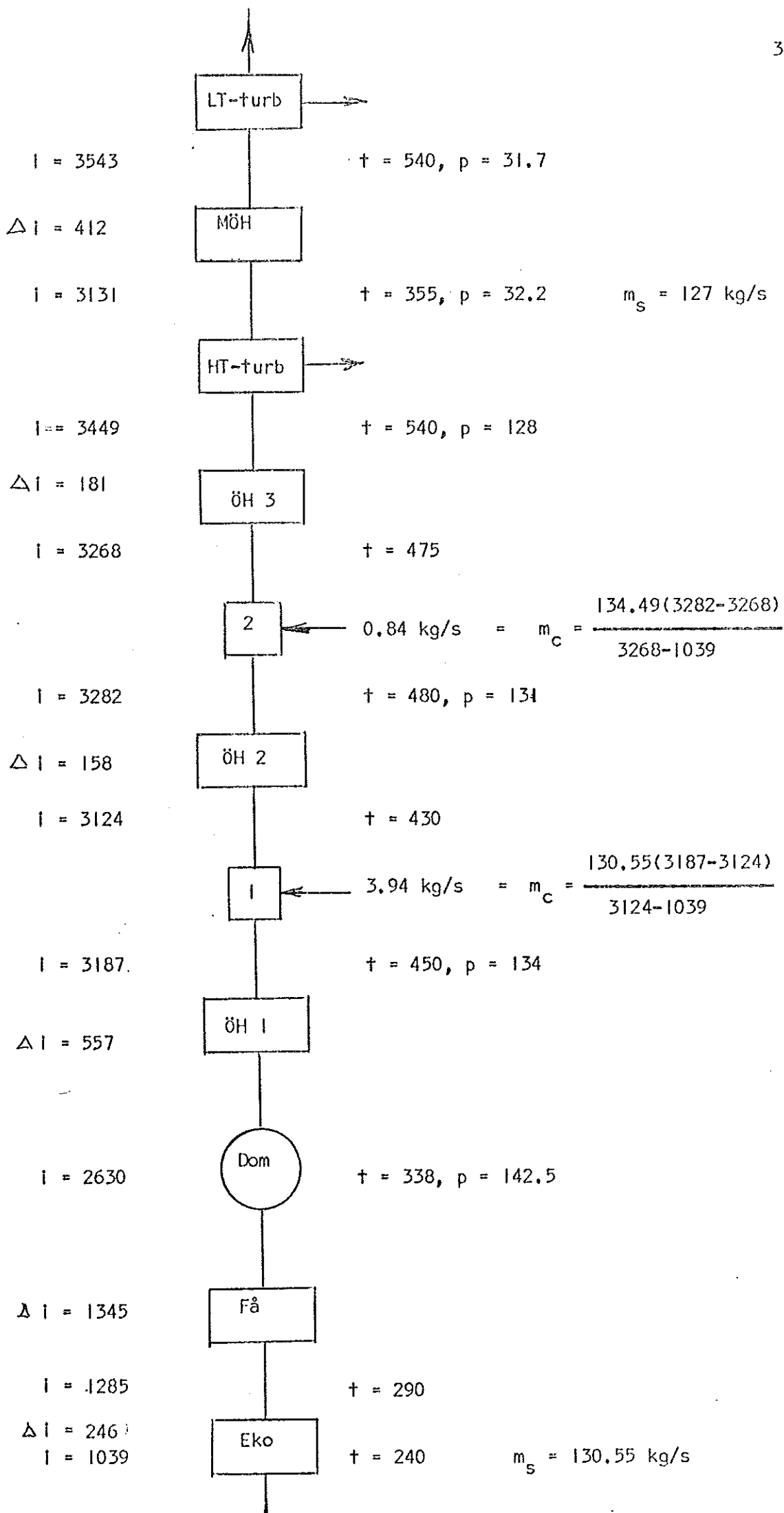
ty i det stationära fallet är  $Q_{gm} = Q_{ms}$

$K_a$ -värdet är proportionalitetskonstanten i uttrycket för tryckfallet genom överhettaren

$$\Delta p = K_a m_s^2$$

Då tryckfallet över hela överhettaren och massflödet är känt, kan  $K_a$ -värdet beräknas. Vi antar sedan att tryckfallet är linjärt och låter prop. konstanten ha värdet  $K_a / n$  för var och en av sektionerna. Sektionerna är ju ungefär lika långa.

För att få en ungefärlig kontroll på att systemet som helhet är riktigt görs en enkel värmeknisk beräkning på systemet. Insprutningsmängderna bestämmes så att temperaturfallen över kylarna blir de rätta. Kylvattnet tas från matarvattenledningen efter HT-förvärmarna, så vi känner alltså kylvattenentalpin. Då det finns dåliga uppgifter om tryckens före och efter överhettarna, har dessa antagits med utgångspunkt från dom- och sluttryck. Vi bortser från tryckfallet över ångkylarna.



$$Q_{Eko} = 130.55 \cdot 246 = 32115 \text{ kJ/s}$$

$$Q_{Få} = 130.55 \cdot 1345 = 175590 \text{ "}$$

$$Q_{ÖHI} = 130.55 \cdot 557 = 71724 \text{ "}$$

$$Q_{ÖH2} = 134.49 \cdot 158 = 21249 \text{ "}$$

$$Q_{ÖH3} = 135.53 \cdot 181 = 24531 \text{ "}$$

$$Q_{MÖH} = 127.00 \cdot 412 = 52324 \text{ "}$$

$$Q_{ui} = 377532 \text{ "}$$

Förbranningen kräver

$$\begin{aligned} l_v &= 1.05 \cdot 4.76 \cdot 0.0979 = 0.489 \text{ Mol luft / kg bränsle} \\ &= 10.96 \text{ Nm}^3 \text{ luft / kg bränsle} \end{aligned}$$

Rökgasmängden blir

$$\begin{aligned} g_v &= 0.4934 \cdot 0.05 \cdot 4.76 \cdot 0.0979 = 0.516 \text{ Mol avgaser / kg bränsle} \\ &= 11.56 \text{ Nm}^3 \text{ avgaser / kg bränsle} \end{aligned}$$

Sätt pannverkningsgraden till 0.97. Då erhålls

$$Q_{uib} = 377532 : 0.97 = 389208 \text{ kJ/s}$$

Med  $H_u = 9600 \text{ kcal/kg}$ ,  $l_v = 10.96 \text{ Nm}^3/\text{kg br}$ ,  $t_v = 40^\circ\text{C}$  och  $c_{pu} = 0.311 \text{ kcal/Nm}^3$  får vi den erforderliga bränslemängden

$$B_{beräknat} = \frac{389208}{4.187 ( 9600 + 10.96 \cdot 0.311 \cdot 40 )} = 9.55 \text{ kg/s}$$

Enligt mätningar skall bränslefödet vara 34.1 t/h, dvs. 9.47 kg/s  
Vi kan alltså förmoda att konfigurationen på sidan 3 är någorlunda riktig.

Temp. ( °C )

Ängtemperaturer hos öH I

Den övre kurvan för 500 t/h

Den undre kurvan för 350 t/h

451

448

447

443

413

407

402

396

388

383

360

352

Bärör + mellanväggar

Bakvägg i strårum  
om schott

Framvägg upp

Tak

Framvägg ned

360

352

338

Beräkning av F-värden,

ÖH 1.

För att bilda de erforderliga differenserna uträknas det tillfördet värmet  $\dot{Q}$  vid belastningarna 500 och 350 t/h, motsvarande värden på bränsleförlodena erhålls ur bild 5.4.

$$(m_s)_{500} = 138.89 \text{ kg/s}$$

$$(m_s)_{350} = 97.22 \text{ kg/s}$$

$$\Delta m_B = 36250 - 26500 = 9750 \text{ kg/h}$$

$$= 2.708 \text{ kg/s}$$

	p(bar)	f( $^{\circ}$ C)	i(kJ/kg)	$\Delta i$	$\dot{Q}(\text{kJ/s})10^3$	
0	142.5	338	2630.2	500 t/h	25.33	
1	140	360	2812.6			
2	138	402	3015.3			
3	136.5	413	3060.0			
4	135	451	3181.1			
0	142.5	338	2630.2	350 t/h	12.82	
1	140	352	2762.1			
2	138	396	2985.5			
3	136.5	407	3044.3			
4	135	448	3180.1			

	$\Delta Q 10^3$	F
1	12.51	4619
2	6.43	2374
3	0.49	181
4	3.62	1337

ÖH 2.

p	t	i	$\Delta i$	$Q \cdot 10^3$	$\Delta Q \cdot 10^3$	
134	430	3124				
131	480	3285	158	21.25	3.70	470 t/h
134	430	3124				
131	480	3285	158	17.55		400 t/h

$$\Delta m_B = 34100 - 29750 = 4350 \text{ kg/h}$$

$$= 1.208 \text{ kg/s}$$

F = 3063 kJ/kg br.ÖH 3.

p	t	i	$\Delta i$	$Q \cdot 10^3$	$\Delta Q \cdot 10^3$	
131	475	3268				
128	540	3449	181	24.53	5.98	470 t/h
131	480	3281				
128	540	3448	167	18.55		400 t/h

$$\Delta m_B = 1.208 \text{ kg/s}$$

F = 4950 kJ/kg br.MÖH.

p	t	i	$\Delta i$	$Q \cdot 10^3$	$\Delta Q \cdot 10^3$	
32.2	355	3131				
31.7	540	3543	412	52.32	6.77	470 t/h
32.2	353	3119				
31.7	533	3529	410	45.55		400 t/h

$$\Delta m_B = 1.208 \text{ kg/s}$$

F = 5604 kJ/kg br.

Dom.

$P$	$t$	$i$	$\Delta i$	$\dot{Q} \cdot 10^3$	$\Delta \dot{Q} \cdot 10^3$
147.7	285.4	1260.3			
145.6	339.7	2622.7	1362.4	177.86	470 t/h
					12.47
142.5	268.7	1154.6			
138.1	335.5	2643.1	1488.5	165.39	400 t/h

$$\Delta m_B = 1.208 \text{ kg/s}$$

$$F = 10,325 \text{ kJ/kg br.}$$

Beräkning av järnmassor ÖH I.

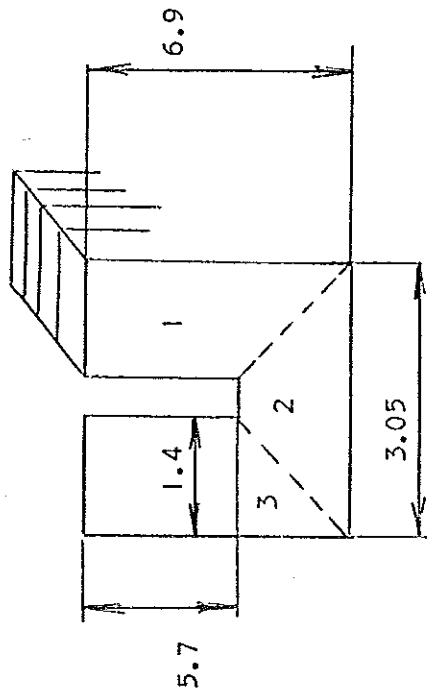
Del	Ant. rör	$d_y$ (mm)	s (mm)	t (mm)	Mat.	Massa (kg)	$\Sigma$
Bärrör MÖH-stråk	160	31.8	4.0	13.6	St.45.8	5964	
Bärrör Eko-stråk	80	31.8	4.5	13.6	15Mo3	3293	19541
Mellanväggar	268	31.8	4.0	14	15Mo3	10284	
Bakvägg 1	496	26.9	5.6	11	HT7	16041	
Bakvägg 2	496	26.9	3.6	3.8	HT8	3897	19938
Tak	496	26.9	3.6	3.8	HT5	3897	
Framvägg ned	248	35.0	4.5	12	13CrMo44	10068	13965
Framvägg upp	248	35.0	4.5	12	13CrMo44	10068	
Tak	496	26.9	3.6	7.5	HT8	7691	17759
					$\Sigma$	71203	

Samtliga material har densiteten =  $7.85 \text{ kg/dm}^3$

Samtliga mat. har spec. värmef =  $0.13 \text{ kcal/kg } ^\circ\text{C}$

$$= 0.544 \text{ kJ/kg } ^\circ\text{C}$$

Beräkning av järnmassorna hos ÖH 2 och ÖH 3.



Del	Ant. rör	d_y (mm)	s (mm)	Material	Massa (kg)
ÖH 2	360	31.8	5.0	HT7	7470
	360	31.8	4.5	HT8	1510
	360	31.8	4.0	HT5	6190
ÖH 3	400	31.8	6.0	HT7	8620
	400	31.8	5.0	HT8	1650
	400	31.8	5.6	13CrMo44	8170
					<u>Σ 15170</u>
					<u>Σ 18440</u>

Beräkning av järn massa hos MÖH.

MÖH delas in i fyra sektioner av ungefär lika längd.  
Sektionerna är numrerade med början i ånginloppet.

Sektion	Ant. rör	$d_y$ (mm)	s (mm)	Material	Massa (kg)
1	480	44.5	3.6	4M10	23000
2	480	44.5	3.6	Stato 21	23000
3	480	44.5	3.6	Stato 23	23000
4	480	44.5	5	UDDCO 9	30800
					99800

Indata ÖH I.

$G_{m1}$	(kg)	19500	$K_a \text{ tot}$	$2.0539 \cdot 10^{-4}$
$G_{m2}$		20000		
$G_{m3}$		14000	$c_{pm}$ (kJ/kg grd.)	0.544
$G_{m4}$		17700		
$T_{s0}$	(°C)	338		
$T_{s1}$		358		
$T_{s2}$		401		
$T_{s3}$		412		
$T_{s4}$		450		
$T_{m1}$	(°C)	393		
$T_{m2}$		436		
$T_{m3}$		447		
$T_{m4}$		485		
$c_{ps0}$	(kJ/kg grd.)	9.21		
$c_{ps1}$		5.61		
$c_{ps2}$		4.01		
$c_{ps3}$		3.74		
$c_{ps4}$		3.15		
$c_{Ts0}$	(kJ/kg bar)	-7.71		
$c_{Ts1}$		-4.64		
$c_{Ts2}$		-2.66		
$c_{Ts3}$		-2.38		
$c_{Ts4}$		-1.70		
$F_1$	(kJ/kg br.)	4619		
$F_2$		2874		
$F_3$		181		
$F_4$		1337		
$Q_{ms1}$	(kJ/s)	21032		
$Q_{ms2}$		27677		
$Q_{ms3}$		5861		
$Q_{ms4}$		17154		
$m_s$	(kg/s)	130.55		

Indata ÖH 2 och ÖH 3.

	<u>ÖH 2</u>	<u>ÖH 3</u>
$G_m$ (kg)	15170	18440
$T_{s0}$ ( $^{\circ}$ C)	430	475
$T_{s1}$	480	540
$T_{m1}$ ( $^{\circ}$ C)	515	570
$c_{ps0}$ (kJ/kg grd.)	3.38	2.89
$c_{ps1}$	2.84	2.62
$c_{Ts0}$ (kJ/kg bar)	-1.98	-1.40
$c_{Ts1}$	-1.40	-1.02
$c_{pm}$ (kJ/kg grd.)	0.544	0.544
$F_1$ (kJ/kg br.)	3063	4950
$m_s$ (kg/s)	134.49	135.33
$Q_{ms}$ (kJ/s)	21249	24531
$K_a$	$1.6586 \cdot 10^{-4}$	$1.6333 \cdot 10^{-4}$

Indata till MÖH.

Vi antar här att värmeflödet och det totala F-värdeet fördelar sig lika på de fyra sektionerna. Temperaturstegringen antas ske linjärt genom mellanöverhettaren.

$G_{m1}$ (kg)	23000
$G_{m2}$	23000
$G_{m3}$	23000
$G_{m4}$	30800
<hr/>	
$T_{s0}$ ( $^{\circ}$ C)	355
$T_{s1}$	401
$T_{s2}$	447
$T_{s3}$	494
$T_{s4}$	540
<hr/>	
$T_{m1}$ ( $^{\circ}$ C)	431
$T_{m2}$	477
$T_{m3}$	524
$T_{m4}$	570
<hr/>	
$c_{ps0}$ (kJ/kg grd.)	2,32
$c_{ps1}$	2,27
$c_{ps2}$	2,25
$c_{ps3}$	2,25
$c_{ps4}$	2,25
<hr/>	
$c_{Ts0}$ (kJ/kg bar)	-2,10
$c_{Ts1}$	-1,70
$c_{Ts2}$	-1,37
$c_{Ts3}$	-1,15
$c_{Ts4}$	-0,97
<hr/>	
$Q_{ms}$ / sektion (kJ/s)	13081
<hr/>	
F / sektion (kJ/kg br.)	1401
<hr/>	
$m_s$ (kg/s)	127
<hr/>	
$c_{pm}$ (kJ/kg grd.)	0,544
<hr/>	
$K_a$	$0,31 \cdot 10^{-4}$

9:e ordningens system.

Indata till ÖH I och MÖH.

	ÖH I	MÖH
$G_m$ (kg)	71200	99800
$T_{s0}$ ( $^{\circ}$ C)	338	355
$T_{s1}$	450	540
$T_{m1}$	442	501
$c_{ps0}$ (kJ/kg grd.)	9.21	2.32
$c_{ps1}$	3.15	2.25
$c_{Ts0}$ (kJ/kg bar)	-7.71	-2.10
$c_{Ts1}$	-1.70	-0.97
$c_{pm}$ (kJ/kg grd.)	0.544	0.544
$F_1$ (kJ/kg br.)	9011	5604
$m_s$ (kg/s)	130.55	127.00
$Q_{ms}$ (kJ/s)	71724	52324
$K_a$	$2.0539 \cdot 10^{-4}$	$0.31 \cdot 10^{-4}$

Indata till ångkylare.

	<u>Kyl. 1</u>	<u>Kyl. 2</u>
$m_{s1}$ (kg/s)	130,55	134,49
$m_{s2}$	134,49	135,53
$t_1$ (kJ/kg)	3187	3282
$t_2$	3124	3268
$c_{p1}$ (kJ/kg grd.)	3,13	2,83
$c_{p2}$	3,39	2,90
$c_{T1}$ (kJ/kg bar)	-1,68	-1,39
$c_{T2}$	-1,96	-1,41

$K_a$  sättes lika med noll, ty vi försummar tryckfallet över kylarna.

Domdata.Fallrör, läses in i DC-vektorn

Friktionskoefficient

0.1..)

Total tublängd (22 st)

638 m

$$V = 10,64$$

Längd av en tub

29 m

Total flödesarea ( $d_y/s = 177.8/16$ )

$$0.367 \text{ m}^2 \quad V$$

Total tubdiameter

$$3.21 \text{ m} \quad V$$

Stigrör, läses in i R-vektorn

Friktionskoefficient

0.2

Total tublängd (788 st)

22458 m ✓

Längd av en tub

28.5 m

Total flödesarea ( $d_y/s = 57/5.6$ )

$$1.297 \text{ m}^2 \quad 0 \times$$

Total tubdiameter

$$36,09 \text{ m} \quad \checkmark$$

Totala massan av stigtuberna

159310 kg

Värme tillfört stigtuber

161359 kJ/s

$$V_r = 36.96$$

Dom, läses in i DM-vektorn

Massan av vattnet i domen

10070 kg

13.43

Volym ånga i dom

19.80 m<sup>3</sup>

15m3 16.59

Våta ytan i domen

27 m<sup>2</sup>

19.80

Temperatur-fäthet, läses in i TD-vektorn

Densitet hos mättat vatten

616.9 kg/m<sup>3</sup>

Densitet hos mättad ånga

89.36 kg/m<sup>3</sup>

Temperatur hos vatten i dom

320 °C

Temperatur hos stigtuber

460 °C

Förångningstemperatur

338 °C

Entalpi, läses in i vektor E

Entalpi hos vatten i dom

1461 kJ/kg

Entalpi hos matarvatten

1285 "

Entalpi hos mättat vatten

1579.2 "

Entalpi hos mättad ånga

2630.2 "

Förångningsentalpi

1050.9 "

Konstanter, läses in i vektor C

Prop.konstanten i temp.-tryckförhållandet vid mättnadstillstånd	0.56
Prop.konstanten i densitet-tryckförhållandet vid mättnadstillstånd	0.94
Prop.konstanten i vattenentalpi-tryckför- hållandet vid mättnadstillstånd	3.93
Värmekapacitet hos vatten i dom	5.85
Värmekapacitet hos stigtuber	0.54
Prop.konstanten i ångentalpi-tryckför- hållandet vid mättnadstillstånd	-2.70
Ångfördelningskonstant	2.0
Förlustfaktor	0.5
C1	-1596.0
C2	563.9

Turbindata.

Beräkning av den termodynamiska verkningsgraden hos turbinen.

Vi tittar på det fall då lasten är 160 MW.

Då gäller

$$i_1 = 3440 \text{ kJ/kg}$$

$$i_2 = 3102 \text{ "}$$

Det verkliga entalpifallet blir alltså

$$3440 - 3102 = 338$$

$$p_1 = 126 \text{ bar}$$

$$i_1 = 3440 \text{ kJ/kg}$$

$$p_2 = 32 \text{ bar}$$

$$\text{vilket ger } (i_2)_{\text{adiabatisk}} = 3040 \text{ kJ/kg}$$

och det adiabatiska entalpifallet blir

$$3440 - 3040 = 400$$

Den termodynamiska verkningsgraden blir då

$$\eta_v = 338 / 400 = 0,845$$

$$\text{Vi sätter då } \eta_v = 0,85$$

Beräkning av ett ekvivalent massflöde, för att kompensera för avtappningen i LT-delen.

Vi tittar först på det fall då lasten är 160 MW.

HT-delens bidrag till effekten är då

$$m_s \Delta i = 128,33 \cdot 338 = 43,5 \text{ MW}$$

LT-delens bidrag skall alltså vara 116,5 MW.

Entalpifallet över LT-delen är 1198,3 kJ/kg.

Massflödet som går in i LT-delen är 119,6 kg/s.

Detta är alltså massflödet efter mellanöverhettningen.

Vi söker nu ett ekvivalent massflöde så att det gäller

$$m_{Ekv} \Delta i_{LT} = 116,5$$

$$Ekv \cdot 119,6 \cdot 1198,3 = 116,5 \cdot 10^3$$

$$Ekv = 0,813$$

Prova nu hur detta värde stämmer då lasten är 135 MW.

HT-delens bidrag blir

$$107 \cdot 334 = 36 \text{ MW}$$

LT-delens bidrag blir

$$0,813 \cdot 100,4 \cdot 1206 = 98,5 \text{ MW}$$

Totala effekten blir

$$36 + 98,5 = 134,5 \text{ MW}$$

Vårt beräknade Ekv-värde tycks alltså ge rätt effekt, inom det betraktade området.

Indata till turbin.

## HT-del:

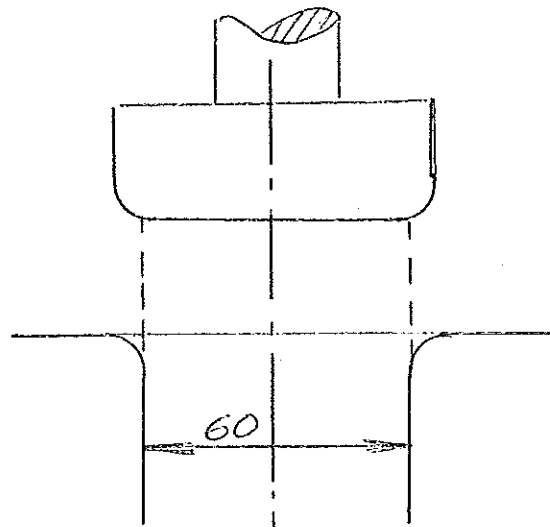
Entalpi inlopp	3445
" utlopp	3131
$c_{p1}$	2.58
$c_{p2}$	2.35
$c_{T1}$	-1.06
$c_{T2}$	-2.10
$c_{ps2}$	609.
$d_{T1}$	$-4.92 \cdot 10^{-3}$
$d_{p1}$	$3.19 \cdot 10^{-3}$
$c_{s2}$	9.76
Tryck inlopp	117
" utlopp	32.2
Massflöde	135.33
Termisk verkningsgrad	0.85
Temp. inlopp	532

## LT-del:

Entalpi inlopp	3543
" utlopp	2338
$c_{T1}$	-0.90
$c_{p1}$	2.26
$d_{T1}$	$-1.51 \cdot 10^{-2}$
$d_{p1}$	$2.80 \cdot 10^{-3}$
$c_{ps2}$	294
Tryck inlopp	31.7
" utlopp	0.026
Massflöde ( Ekv )	103.3
Termisk verkningsgrad	0.85

Pådragsventil.

Ventilöppning och käglor:



Med hjälp av den kurva, som visar sambandet mellan ventilslag och reglerventilens öppning för de olika ventilerna, vill vi få fram den kurva som beskriver relationen mellan total ventillarea och ventilslag.

Vi betraktar ventillareaen som en cylinder. Maximal ventillarea per del skulle alltså bli

$$\pi \cdot 30^2 = 2826 \text{ mm}^2$$

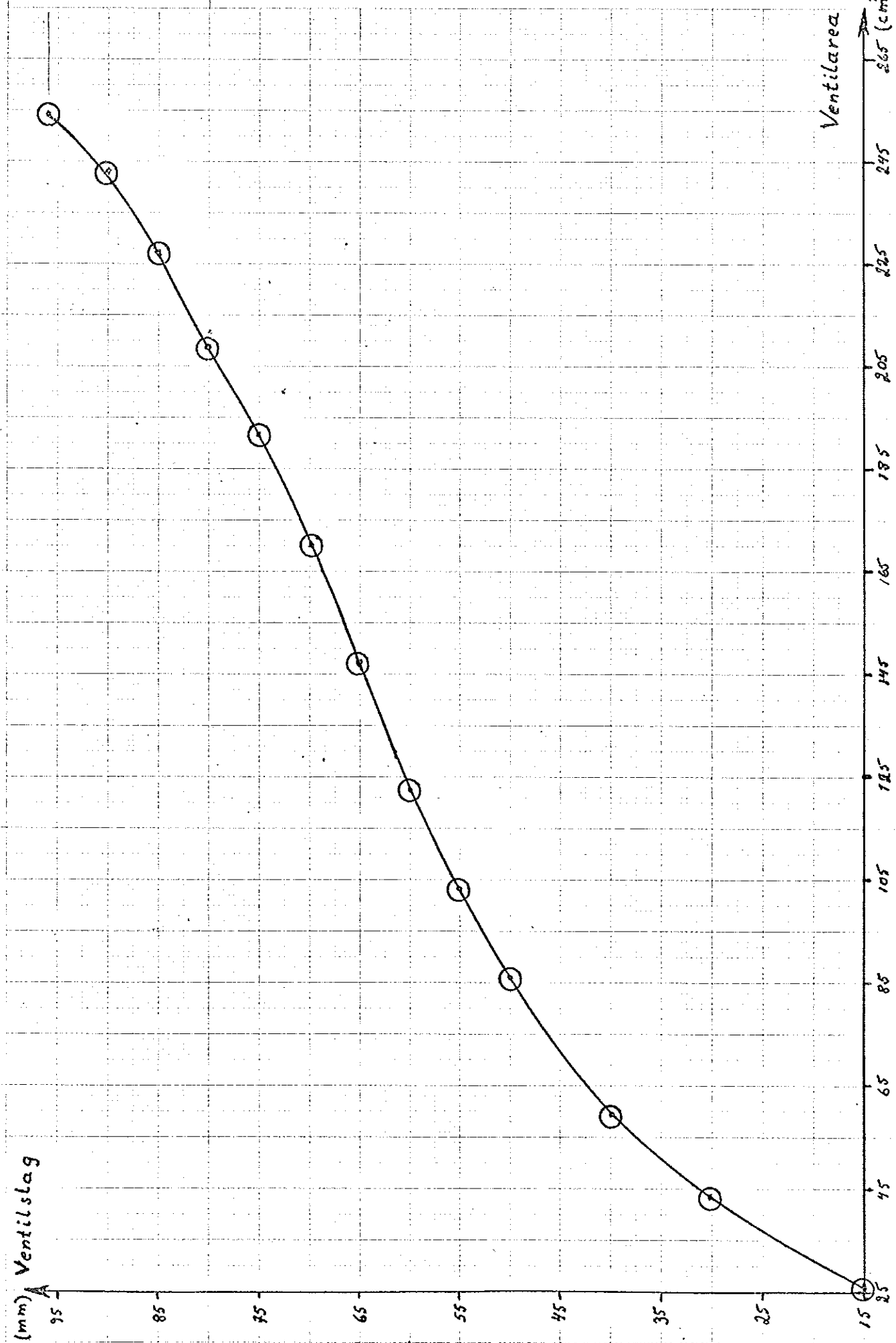
vilket inträffar då reglerventilens öppning är

$$2826 / \pi \cdot 60 = 15 \text{ mm}$$

Vi säger alltså att fullt öppen ventill svarar mot öppningen 15 mm. Ur kurvan ser vi att samtliga ventiler är fullt öppna då ventilslaget är 96 mm.

På nästa sida är ventillareaen uträknad för olika värden på ventilslaget.



Ventilkarakteristika.

Ventil data.

Tryck Inlopp	128
" utlopp	117
Förstärkning	188.5
Massflöde	135.33
Genomströmningsarea	25434 mm <sup>2</sup>

Nu har

D) Aufschreibungen der Leitstandswerte

Datum

Zeit

Versuch Nr.

Speisewasser:

Menge

	1	2	3	4	5	
t/h	252	322	205	467	470	
°C	205 207	218 219	196 197	235 236	236 236	237
°C	232 227	251 248	220 216	288 284	285 289	285.3
°C	235 230.9	256 252	222 220.6	289 281.8	289 285.4	
Sp.W. Druck vor Eco li.	atü	135.8	138.7	132.9	148.3	147.7

Reißdose:

Menge

	1	2	3	4	5	
t/h	255	330	320.4	212	201.6	470 462 475 466.3
atü	131.5 133.6	134.5 134.4	136.6 136.4	129 130.7	143.1 143.1	145.6 147.5 145.6
HD-Druck 1/10	atü	129 127.8	129 127.8	128 128.3	128 128.3	131.4 131.4
Temperatur vor K I li	°C	454	444	443	436	438
Temperatur vor K I re	°C	433	460	440	437	430
Einspritzung K I li	t/h	3.0	2.3	0.6	0.8	0.9
Einspritzung K I re	t/h	0.2	2.0	1.0	0.9	0.9
Temperatur nach K I li	°C	431	430	431	429	429
Temperatur nach K I re	°C	431	430	433	432	432
Temperatur vor K II li	°C	475	482	470	482	483
Temperatur vor K II re	°C	472	478	470	482	483
Einspritzung K II li	t/h	0	0	0	0.5	0.6
Einspritzung K II re	t/h	0	0	0	0.6	0.5
Temperatur nach K II li	°C	472	477	470	478	477
Temperatur nach K II re	°C	472	476	470	480	480
HD-Austritt li	°C	540 539.6	540 538.7	537 537	535.6 541	534.8 540 538
HD-Austritt re	°C	542 539.8	541 538.5	535 535	534.4 541	537.4 540 538

Zwischenüberhitzer:

Menge

		1	2	3	4	5
t/h		302.3		193.9	432.4	434.0
atü	17.3	22.4	13.9	32.2	32.3	

Druck vor ZU

		1	2	3	4	5
atü	17.0	21.9	13.7	31.7	31.9	

Effekt

	MW	187.9	112.4	71	160.6	161.1

Versuch

		1	2	3	4	5
Temperatur vor K ZU li	°C	345	342,8	349	347,2	336
Temperatur vor K ZU ro	°C	343	342,8	348	347,3	334
Einspritzung K ZU li	t/h	0	0	0	0	0
Einspritzung K ZU ro	t/h	0	0	0	0	0
Temperatur nach K ZU li	°C	348	352	338	359	360
Temperatur nach K ZU ro	°C	348	351	339	358	359
Temperatur nach ZU li	°C	544	540	541	541,2	522
Temperatur nach ZU ro	°C	546	538	542	537,9	523
		519	539	539	539,1	539,5

Frischluft:

Menge oben li	10 <sup>3</sup>	Nm <sup>3</sup> /h	55	70	90	97	97
Menge oben re	10 <sup>3</sup>	Nm <sup>3</sup> /h	57	70	93	107	108
Menge unten li	10 <sup>3</sup>	Nm <sup>3</sup> /h	55	73	-	98	97
Menge unten re	10 <sup>3</sup>	Nm <sup>3</sup> /h	64	76	-	92	92
Menge Summe	10 <sup>3</sup>	Nm <sup>3</sup> /h	231	289	183	394	394
Druck hinter Lüfter li	mm WS	340	395	225	375	380	
Druck hinter Lüfter ro	mm WS	240	395	225	375	380	
Druck vor Luvo li	mm WS	235	200	220	370	375	
Druck vor Luvo re	mm WS	235	180	220	360	370	
Druck hinter Luvo li	mm WS	210	250	200	290	295	
Druck hinter Luvo ro	mm WS	210	250	200	290	290	
Druck vor Br. oben li	mm WS	175	200	150	230	230	
Druck vor Br. oben re	mm WS	175	200	145	220	225	
Druck vor Br. unten li	mm WS	155	180	-	210	210	
Druck vor Br. unten ro	mm WS	150	180	-	210	210	
Temperatur hinter Lüfter li	°C	42	44	43	43	44	
Temperatur hinter Lüfter ro	°C	43	44	43	43	44	
Temperatur vor Luvo li	°C	54	57	52	45	58	
Temperatur vor Luvo ro	°C	60	64	64	44	60	
Temperatur hinter Luvo li	°C	404	419	380	446	448	
Temperatur hinter Luvo ro	°C	397	400	375	439	442	
Temperatur hinter Luvo li	°C	397	401	376	407	412	
Temperatur hinter Luvo ro	°C	408	418	363	414	434	
Temperatur hinter Luvo li	°C	395	405	371	416	420	
Temperatur hinter Luvo ro	°C	403	417	344	436	439	
vor Brennergr.-Lufttemp.	°C						

Heizöl

Menge 1. Steinm. Diff. Druck Messung	t/h	18,9	23,5	15,7	16,58	13,4	13,5	13,1
Menge Br. oben li	t/h				8,26			8,6
Menge Br. oben re	t/h				1,32			8,4
Menge Br. unten li	t/h							8,7
Menge Br. unten re	t/h							8,4
Öltemperatur vor Brenner	°C	98	96	97	94	95		
Menge Korr.	Kg/h	19176	24064	15850	33650	23527		

Kesselstellstandswerte

3

Versuch

	atü	1	2	3	4	5
Druck Vorlauf	37	11.5	18.5	50.5	51	
Druck Rücklauf	16	21	29	31.5	31.5	
Differenzdruck	at	21	20.5	20.5	19	19.5
Düsen-Nr.		=	=	=	=	
Brenner-Nr.		1-12	1-12	7-12	1-12	1-12

Rauchgas

Zug Feuerraum	mm WS	5	5	4	4	4	
Zug vor Eco li/re	mm WS	9/11	9/11	8/9	8/9	9/10	
Zug vor Eco re/11	mm WS	24/28	26/31	22/27	38/46	40/47	
Zug nach ZÜ li	mm WS	85	107	65	140	140	
Zug nach ZÜ re	mm WS						
Zug vor Luvo li	mm WS	83	115	60	140	142	
Zug vor Luvo re	mm WS	83	115	60	143	145	
Zug hinter Luvo li	mm WS	135	168	85	250	255	
Zug hinter Luvo re	mm WS	155	193	122	280	280	
Temperatur vor ZÜ	°C	740	740	780	795	795	
Temperatur vor Eco li	°C	535	675	500	785	785	
Temperatur vor Eco re	°C	615	695	500	800	785	
Temperatur hinter ZÜ li	°C						
Temperatur hinter ZÜ re	°C						
Temperatur hinter Eco li	vor Luvo			452	421	475	476
Temperatur hinter Eco re	vor Luvo			458	419	493	486
Temperatur hinter Luvo li	°C	158	166 858	145	130 160	149 179	170
Temperatur hinter Luvo re	°C	152	165 159	148	144 154	149 176	170
ZU vor Saugzug li/re	mm NS	839 1134	1881 1183	971 942	2771 2722	8831 8280	

O<sub>2</sub>-Gehalt

vor Luvo li	%	0.85	0.9	0.85	0.77	1.05	1.09	0.9	0.74	0.8	0.69
vor Luvo re	%	0.8	0.95	0.8	0.77	0.65	0.77	0.6	0.63	0.6	0.66
hinter Luvo li	%	3.14		3.24		4.1		3.31		2.93	
hinter Luvo re	%	2.95		2.74		2.71		1.70		1.9	

Klappenstellung

Eco-Klappe li	%	2	10	0	27	28
Eco-Klappe re	%	2	10	0	28	28
ZÜ-Klappe li	%	100	100	100	100	100
ZÜ-Klappe re	%	100	100	100	100	100



Datum

	6	7	8	10a	10b	Heißdampf
--	---	---	---	-----	-----	-----------

Zeit

Versuch Nr.

Spannungsanzeiger:

Menge

t/h	492	395	67	441	465	
°C	238	239	227	229	150	149 (232) (233) 213 213
°C	292	269.7	272	269.9	188	184.4 (288) 284 276 273
°C	293	290.1	272	268.7	192	166.3 (289) 273.2 275 271.9
atü				147.7	142.5	129.5 (mit FV 7)

Temp. vor Eco

Temp. hint. Eco li

Temp. hint. Eco re

Sp.H. Druck vor Eco li.

Heißdampf:

Menge

t/h	500	488.6	405	70	70.35 (448)	446	486	474
atü	143.5	145.6	138.1	140.6	128.0	127.7	140.5	143.6
atü	130	129.4	130	130.4	127.5	125.7	131	130.4
°C	439	435	403	403	447	447	445	445
°C	435	440	405	405	450	450	451	451

Trommeldruck

HD-Druck li/re

Temperatur vor K I li

Temperatur vor K I re

Einspritzung K I li

Einspritzung K I re

Temperatur nach K I li

Temperatur nach K I re

Temperatur vor K II li

Temperatur vor K II re

Temperatur nach K II li

Temperatur nach K II re

HD-Austritt li

HD-Austritt re

t/h	1.3	0.7	0	4.0	3.2
t/h	0.7	0.5	0	4.5	4.4
°C	431	428	400	430	431
°C	429	432	402	430	433
°C	415	412	420	485	487
°C	480	482	422	484	486
t/h	0.7	0	0	1.5	0.6
t/h	0.6	0	0	1.5	2.9
°C	480	482	420	488	481
°C	479	482	422	479	477
atü	540	537	542	538	539
atü	540	536.9	543	537	539

Zwischenüberhitzer:

Menge

t/h	451.0			65.3		
atü	33.8	27.3	3.2	32.1	33.8	
atü	33.3	26.8	2.8	31.5	33.4	

Druck vor ZU

Druck nach ZU

Effekt

HH	177	169	135.9	20.2	154.	165.1
					156.6	

SI

Versuch

		6	7	8	10a	10b
Temperatur vor K ZÜ	li	°C	358	356	355	353
Temperatur vor K ZÜ	re	°C	351	356	354	353
Einspritzung K ZÜ	li	t/h	0	0	0	0
Einspritzung K ZÜ	re	t/h	0	0	0	0
Temperatur nach K ZÜ	li	°C	361	358	262	365
Temperatur nach K ZÜ	re	°C	360	351	260	364
Temperatur nach ZÜ	li	°C	535	539	540	530
Temperatur nach ZÜ	re	°C	539	534	540	523

Frischluft:

Menge oben li	$10^3$	Nm <sup>3</sup> /h	101	80	36	94	99
Menge oben re	$10^3$	Nm <sup>3</sup> /h	104	91	34	108	117
Menge unten li	$10^3$	Nm <sup>3</sup> /h	100	86		94	97
Menge unten re	$10^3$	Nm <sup>3</sup> /h	106	83		99	101
Menge Summe	$10^3$	Nm <sup>3</sup> /h	411	340	70	395	414
Druck hinter Lüfter li	mm WS	410	280	225	370	380	
Druck hinter Lüfter re	mm WS	405	270	225	370	380	
Druck vor Luvo li	mm WS	400	270	225	365	375	
Druck vor Luvo re	mm WS	390	265	220	365	370	
Druck hinter Luvo li	mm WS	310	210	220	290	290	
Druck hinter Luvo re	mm WS	310	210	220	290	290	
Druck vor Br. oben li	mm WS	240	165	190	230	230	
Druck vor Br. oben re	mm WS	240	165	185	215	210	
Druck vor Br. unten li	mm WS	220	140		210	210	
Druck vor Br. unten re	mm WS	220	140		210	210	
Temperatur hinter Lüfter li	°C	44	40	45	40	42	
Temperatur hinter Lüfter re	°C	44	42	47	42	44	
Temperatur vor Luvo li	°C	44	53	50	40	42	
Temperatur vor Luvo re	°C	44	61	60	41	44	
Temperatur hinter Luvo li	°C	450	433	289	439	445	
Temperatur hinter Luvo re	°C	441	430	299	430	437	
Vor Brennergr. Lufttemp 90	LO	411	399	191	401	407	
	LU	435	420	293	425	430	
	RO	417	402	296	407	414	
	RU	438	416	297	419	435	

Heizöl

Menge / Steinm. Diffdruck Messung	t/h	35,1 / 36,15	28,2	28,7	5,8	33,0 (31,0)	34,8
Menge Br. oben li	t/h	8,05		7,08			
Menge Br. oben re	t/h	9,15		7,14			
Menge Br. unten li	t/h	9,15		7,23			
Menge Br. unten re	t/h	9,0		7,25			
Öltemperatur vor Brenner	°C	94	94	97	96	96	
Menge Korr.	Kg/h	35375	28745	5750	34332	35000	
					83149		

Versuch

		6	7	8	10a	10b
Druck Vorlauf	atü	52.5	48	46.5	54	50.5
Druck Rücklauf	atü	33	42	26.5	34	30.5
Differenzdruck	at	18.5		20	20	20
Düsen-Nr.		1921/1811	m	m	m	m
Bronner-Nr.			1-12	4-12	8-11	4-12

Rauchgas

Zug Feuerraum	mm WS	4	4.5	5	4.5	5
Zug vor Eco li/re	mm WS	9/10	9/10	10/11	19/11	10/11
Zug vor Eco ro/ri	mm WS	44/51	39/38	23/28	43/53	45/55
Zug nach ZÜ li	mm WS	143	123	33	135	143
Zug nach ZÜ re	mm WS					
Zug vor Luvo li	mm WS	150	124	25	136	146
Zug vor Luvo re	mm WS	150	124	25	136	148
Zug hinter Luvo li	mm WS	270	210	29	245	265
Zug hinter Luvo re	mm WS	295	235	65	270	290
Temperatur vor ZÜ	°C	800	750	520	780	780
Temperatur vor Eco li	°C	805	755	380	790	800
Temperatur vor Eco ro	°C	810	750	380	805	805
Temperatur hinter ZÜ li	°C					
Temperatur hinter ZÜ re	°C					
Temperatur <sup>vor Luvo</sup> hinter Eco li	°C		491		322	
Temperatur <sup>vor Luvo</sup> hinter Eco re	°C		498		323	
Temperatur hinter Luvo li	°C	165 157 168		114 100 155		160
Temperatur hinter Luvo re	°C	160 156 169		115 103 149		156
Zug vor Saugzug 11/20	mmWS	11/3001 11/295	2351 227	2311 229	57 53	71/73

O<sub>2</sub>-Gehalt

vor Luvo li	%	0.8	0.75	0.7	0.76	3.0	3.1	1.2	1.0
vor Luvo re	%	0.7	0.83	0.6	0.8	3.0	3.15	0.9	0.9
hinter Luvo li	%	2.52		3.0		11.4			
hinter Luvo re	%	1.6		2.0		8.7			

Klappenstellung

Eco-Klappe li	%	32	19	0	32	32
Eco-Klappe re	%	32	18	0	32	32
ZÜ-Klappe li	%	100	100	100	100	100
ZÜ-Klappe re	%	100	100	100	100	100

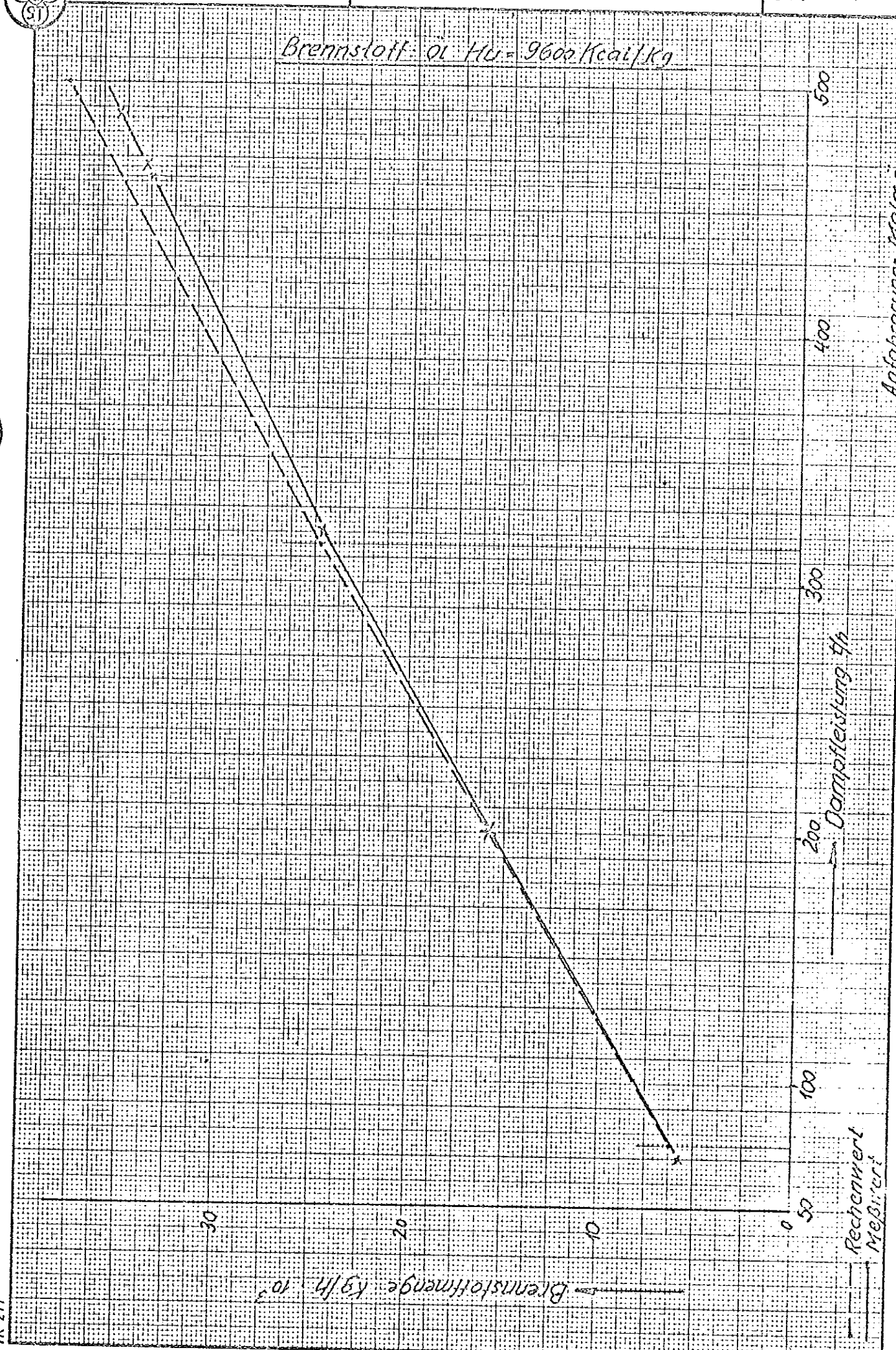


L. & C. STEINMÜLLER  
GMBH  
GUMMERSBACH

Malmö P16 03.5760

Bild 5.4

Brennstoff: Öl HCl = 9600 Kcal/kg



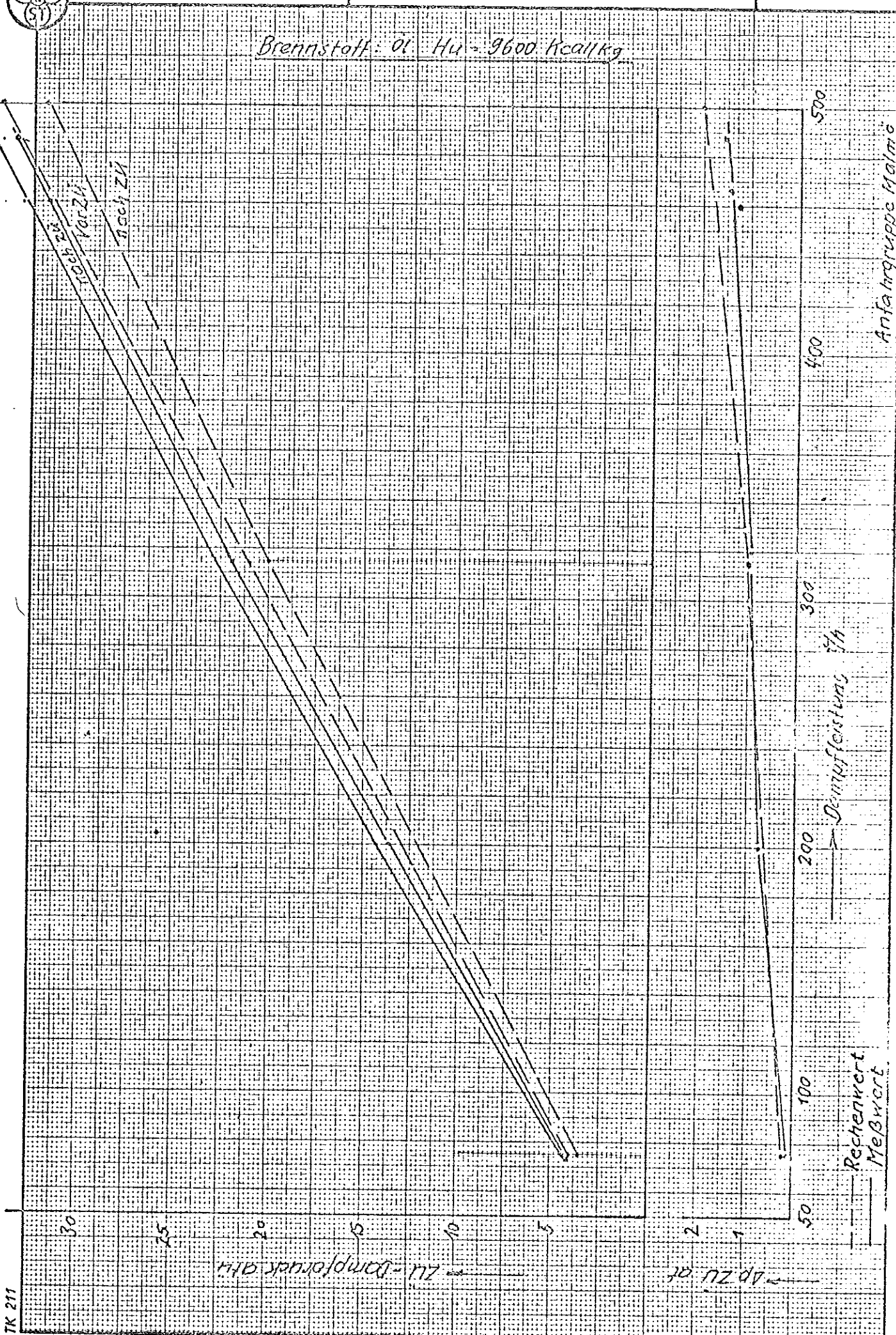


L. & C. STEINMÜLLER  
GMBH  
GUMMERSBACH

Malmö P16 03.5760

Bild 2.2

Brennstoff: Öl Hu = 9600 kcal/kg



Sydkraft  
Ångkraftbyrån  
6.5.1965/Fnn

G 16 Regl.-vent.  
Regl.-vent. öppning enl. ritning 78836.

ÅP ~ 15

Ventil nr 7

" " 9

" " 6

" " 8

" " 5

" " 4

" " 3

" " 2

" " 1

" " 0

Långvarig årsmedeldiagram för  
varje årsmedeldiagram för  
varje årsmedeldiagram för

45

10

35

30

25

20

15

10

5

0

1

2

3

5

6

7

8

9

10

11

12

13

14

15

16

17

18

19

20

21

22

23

24

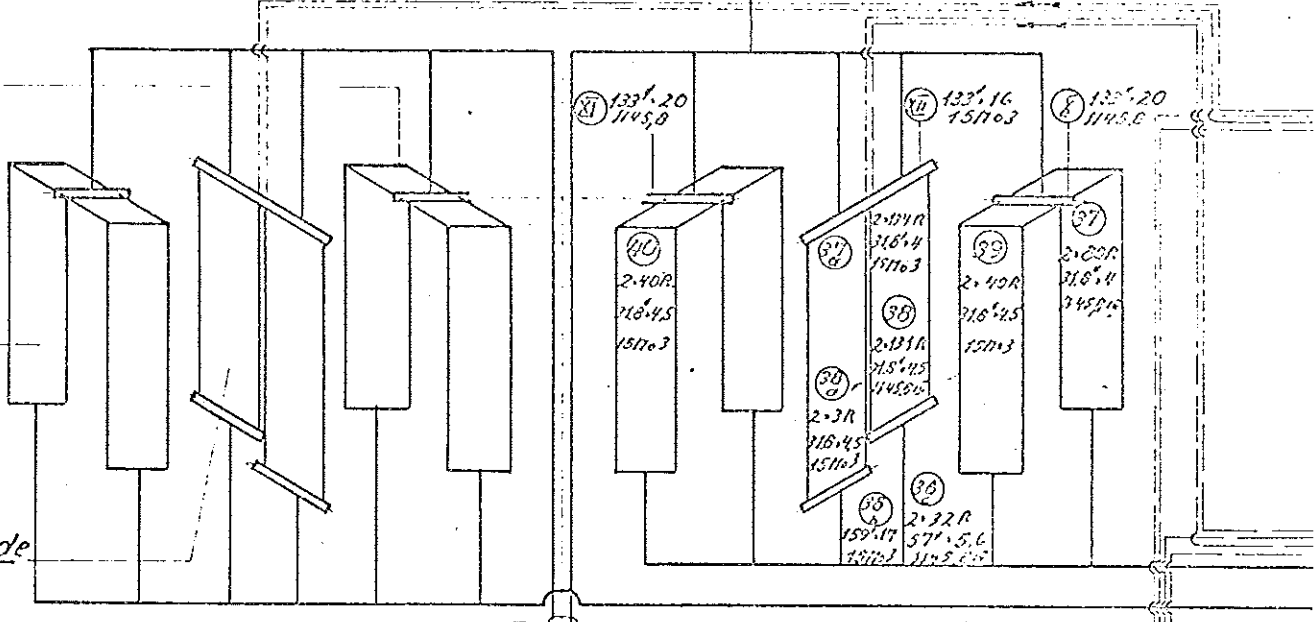
25

Ventil 1

0 10 20 40 60 80 100 120 130  
Regl. ventilslag mm

Verb.R. 70°, 5,6 1145,6 m (25)  
Verb.R. 42,4°, 5 1145,8 m (53)

Tragrohre  
Zü-Zug



Tragrohre  
Vorwärmern.  
Zug

Trennwände

Trommel

(IX) 1900°x66  
Fortweld

2•40R 51°, 4 1145,0 m (7)

Gabel 51°, 44° (5)

R. 70°, 5,6 1145,0 m (6 25 34)

2•22R 108°, 10 1145,0 m (8 17 26)

2•11G 177,0°/100 111 (9 18 21)

2•60R 445°, 4 1110 (1)

2•60R 445°, 3L 1110 (3)

G. 70/57 CK 22,75 24 53

R. 57°, 5,6 1145,0 m (7 23 32)

G. 57°/57° CK 22,63 22 51

Rückw. (Rückw.) (120-120)

Rückw. (Rückw.) 57°, 5,6 1145,0 m (5)

Rückw. (Rückw.) 2•12G 57°, 5,6 1145,0 m (5)

seitenn. 2•14G 57°, 5,6 1145,0 m (5)

Hinterw. 2•12H 57°, 5,6 1145,0 m (5)

2•11R 177,0°, 16 (10 12 20)

1145,0 m (5)

2•11 V. Herne 290,5°, 30H 151103 (5 25)

2•60R 445°, 3L 1145,0 m (5)

177,0°/20 1145,0 m (5)

2•14R 70°, 5,6 1145,0 m (5)

1145,0 m (5)

2670°, 2G 151103 (5 25)

2•24R 70°, 5,6 1145,0 m (5 20 29)

R. 2•40 31,6°, 4,5 1145,0 m (5 25)

Kesselrohre

Vorwärmern

Fallrohre

Speisung

# HD Austritt

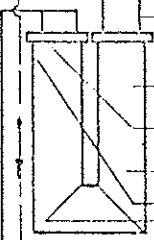
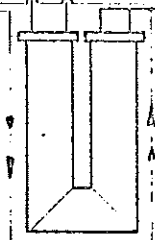
AnfahrHg.

HD Austritt

HD Austritt

300m<sup>2</sup> 70 100/110/910

hotten 2.Durchgang



2x10R. 100°, 20 130/110/44  
2x5S. 210°, 60 100/110/910  
2x100R. 31,0°, 6,5 HT7  
2x5S. 133°, 20 130/110/44

Nippel 2x200R. 31,0°, 5,6 HT7  
2x200R. 31,0°, 5,6 130/110/44  
2x5R. 51°, 3,6 u. 5 HT5

2x20R. 68,9°, 6,3 130/110/44  
240H°, 40 130/110/44  
240H°, 25 130/110/44

240H°, 50 130/110/44  
2x10R. 100°, 14,2 130/110/44

2x5S. 159°, 20 130/110/44  
2x100R. 31,0°, 5,6 100/110/910

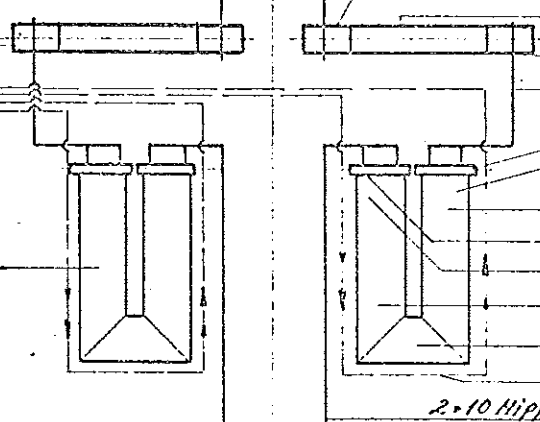
2x100R. 31,0°, 5 HT7  
2x5S. 133°, 16 130/110/44

2x100R. 31,0°, 4 130/110/910

2x100R. 31,0°, 4 HT5  
2x5R. 51°, 3,6 u. 5 HT5

2x10 Nippel 68,9°, 10 130/110/44, 2x10R. 68,9°, 7,1 130/110/44

ühler II



240H°, 40 151103  
240H°, 32 151103

240H°, 37 130/110/44  
219,16°, 33 130/110/44

2x10R. 100°, 14,2 130/110/44  
177,00°, 30 130/110/44

hotten 1 Durchgang

2x240R. Nippel 26,9°, 4 130/110/44

2x240R. 26,9°, 3,6 HT6

2x240R. 21,2°, 26 HT5

2x124G. 35,126,9 100/110/910

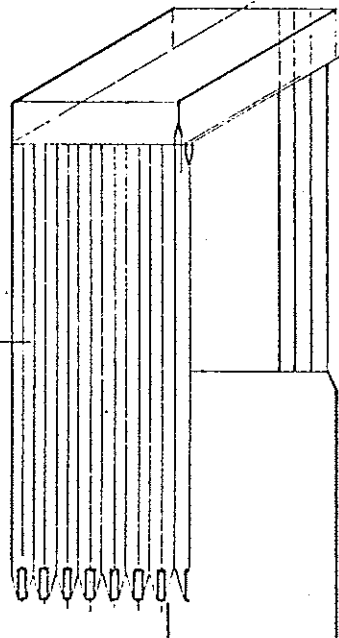
2x124G. 32,125, 100/110/910

2x124R. 35°, 4,5 130/110/44

2x124R. 35°, 4,5 130/110/44

2x240R. 35°, 4,5 100/110/910

irnwand



41 2x240R. 26,9°, 3,6 HT8

43 2x240R. 26,9°, 5,6 HT7

610 R. 42,4°, 5 11,11,44  
36 R. 42,4°, 4,5 151103

112 2x240R. 26,9°, 11 130/110/44

13S. 108°, 14 130/110/44

1S. 108°, 14 130/110/44

1S. 102°, 16 130/110/44

ennwand

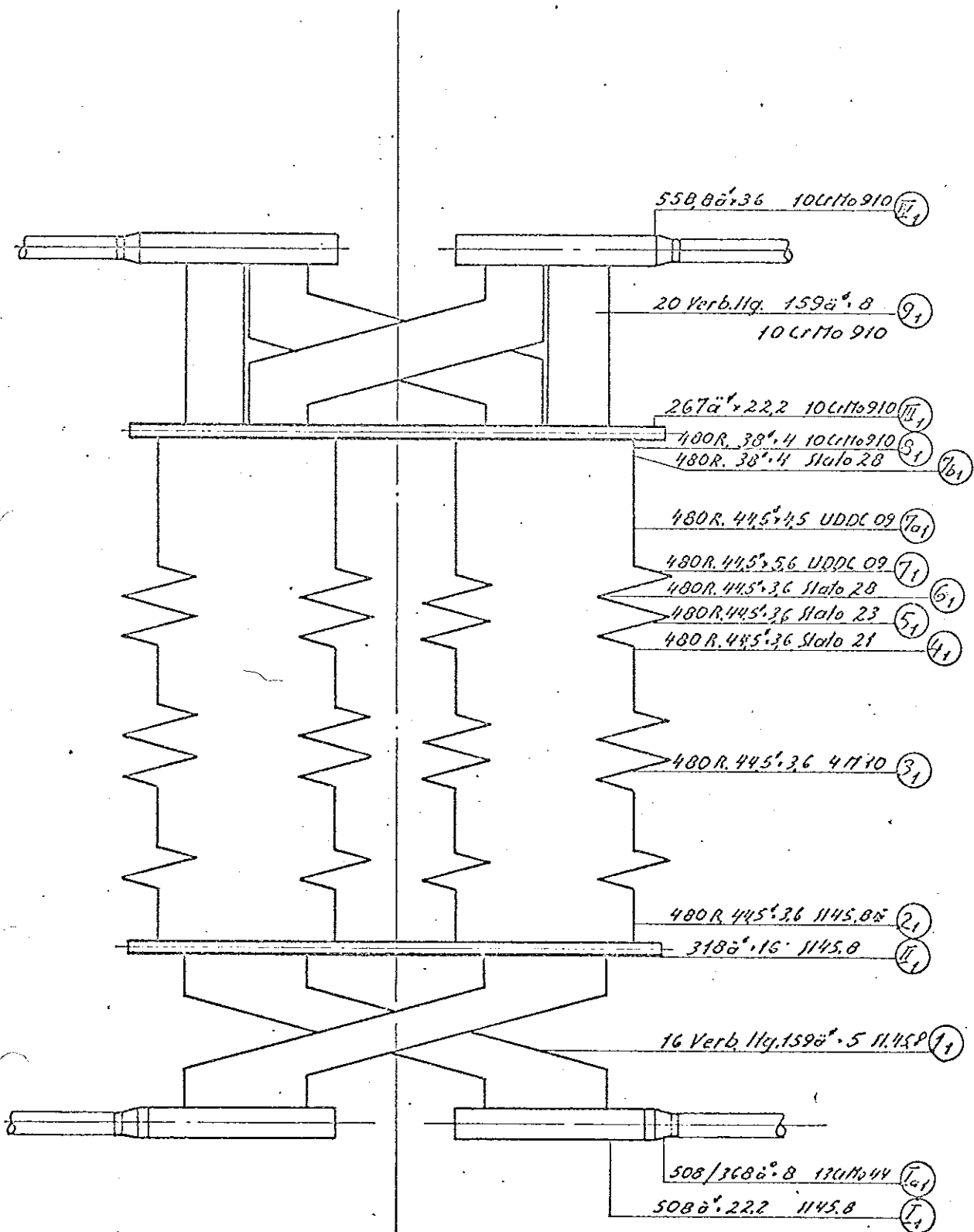
2S. 159°, 20 130/110/44

2S. 159°, 20 130/110/44

2S. 159°, 20 130/110/44

2S. 159°, 20 130/110/44

## Zwischenüberhitzer Austritt.



## Zwischenüberhitzer Eintritt

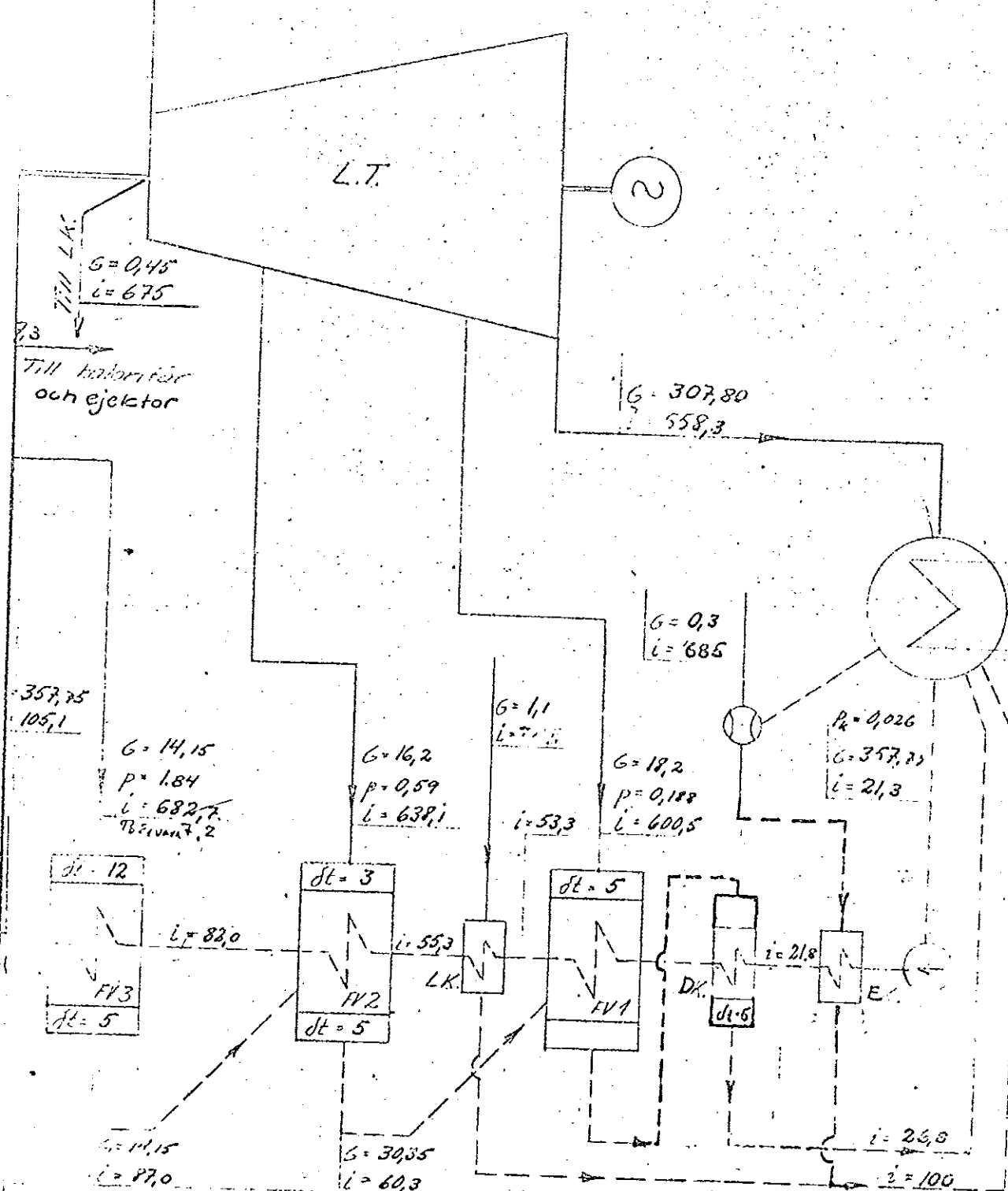
No. 651013

Bet.	Ändring	Införd

8, G\*

P

3,7



Delbeteckning Ritad <u>101-61</u> <u>GJ</u> Kontr. Prodgr. <u>Codk.</u>	Material (slut tillstånd) <input checked="" type="checkbox"/> <input checked="" type="checkbox"/>	Tol. för icke direkt toleranssatta mått enl. K-20021.1 SMS 715 medel. Garanti.
Arkivnummer:	Överensstämmer i princip med	Skala
<u>J de Jansson</u> <u>Jungström</u> FINEPONG SWEDEN	<u>B-2101 - 2102</u>	DF HG
	Last : 160 MW	Ark. nr 246 Ant. ark

96 164

G = 462  
P = 127  
i = 535  
L = 821,7

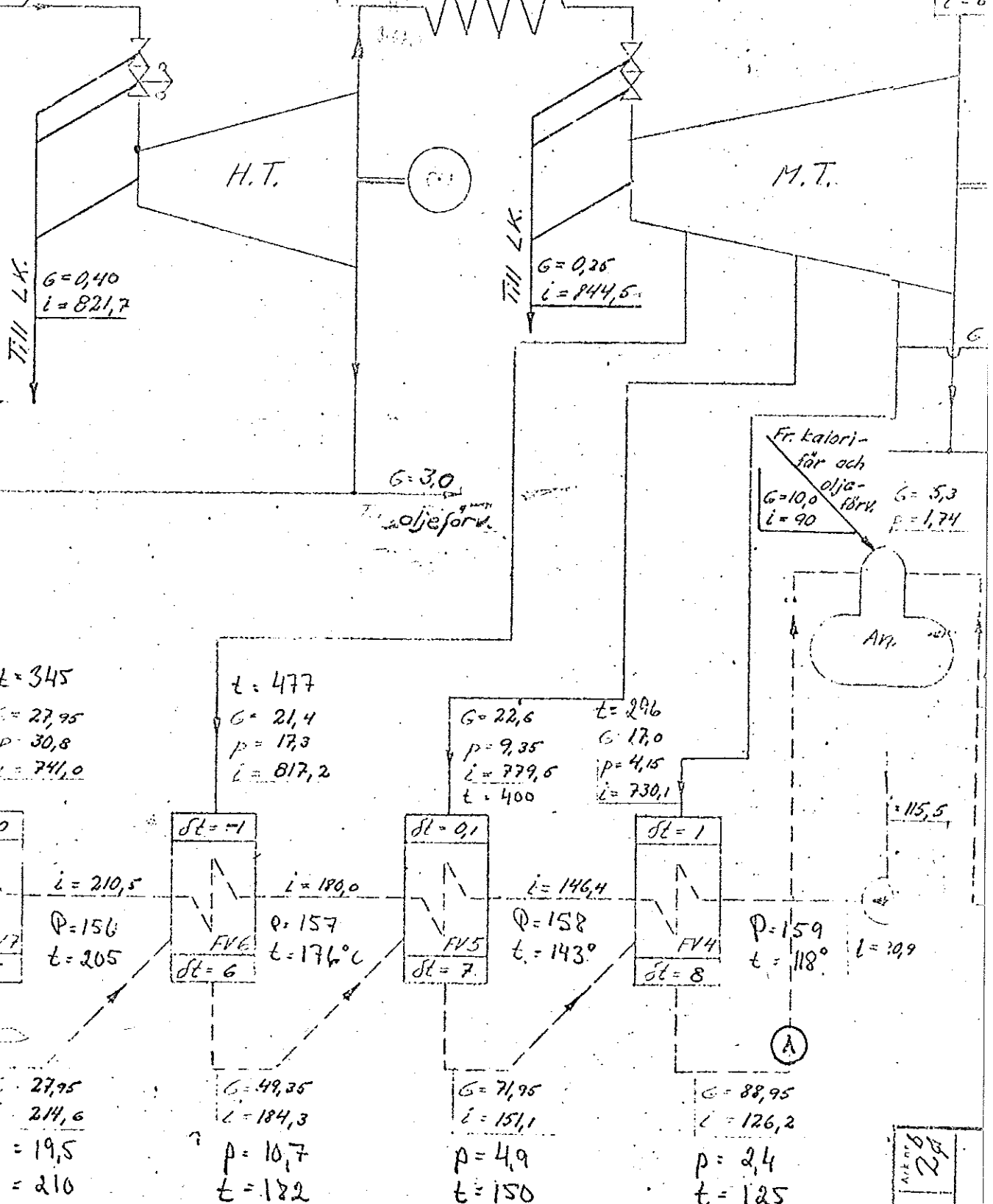
$$G = 430,65$$

$$\begin{aligned} P &= 32,4 \\ i &= 741,0 \end{aligned}$$

$$G = 430,65$$

$$\begin{aligned} P &= \\ i &= 844,5 \end{aligned}$$

$$\begin{aligned} G &= 3 \\ P &= 6 \\ i &= 6 \end{aligned}$$



$G = \text{mängd } i [\text{t}/\text{h}]$

$P = \text{tryck } i [\text{atm}]$

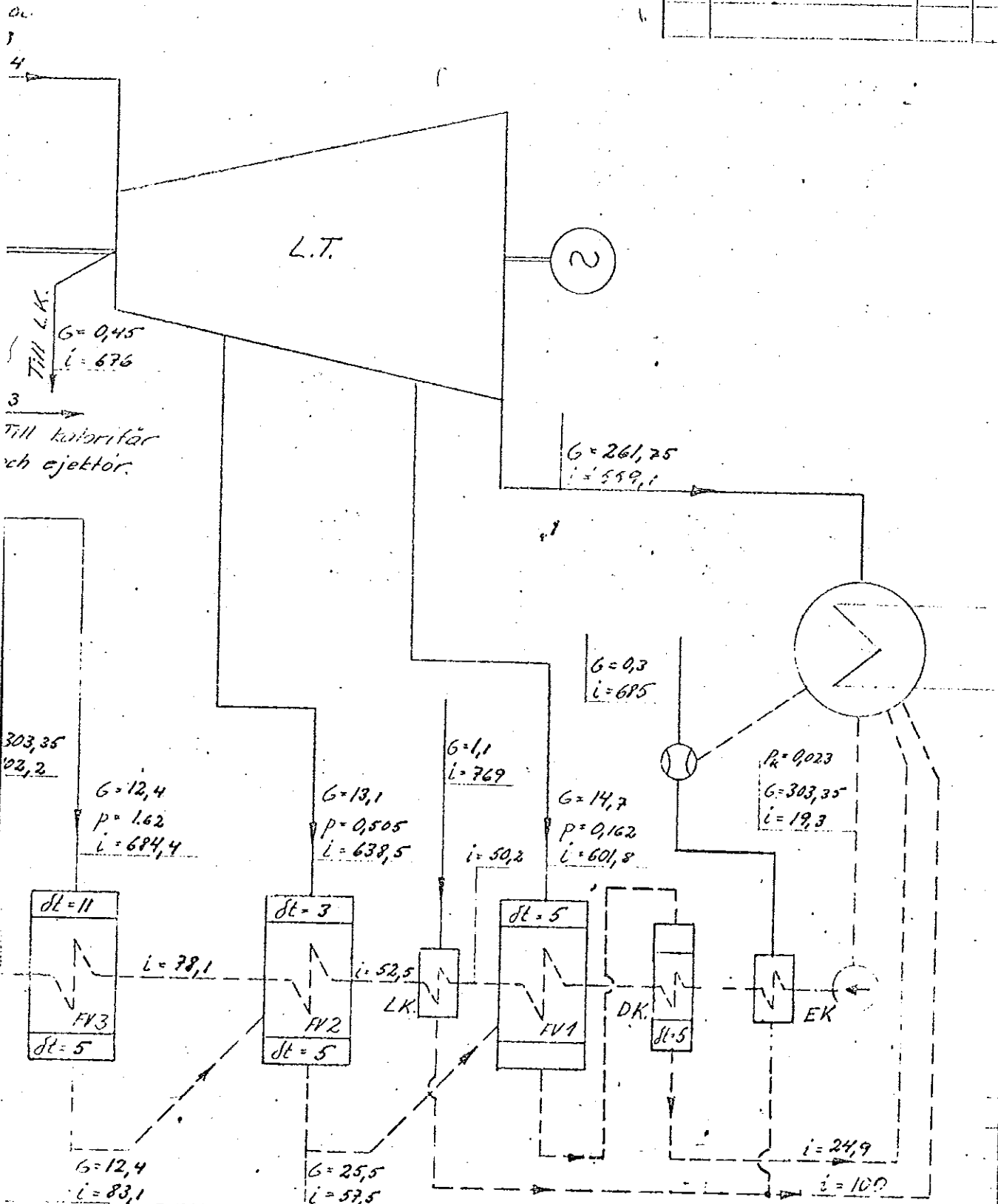
$t = \text{temp. } i [{}^{\circ}\text{C}]$

$i = \text{entalpi } i [\text{kcal}/\text{kg}]$

$\frac{535}{375}$   
 $190$

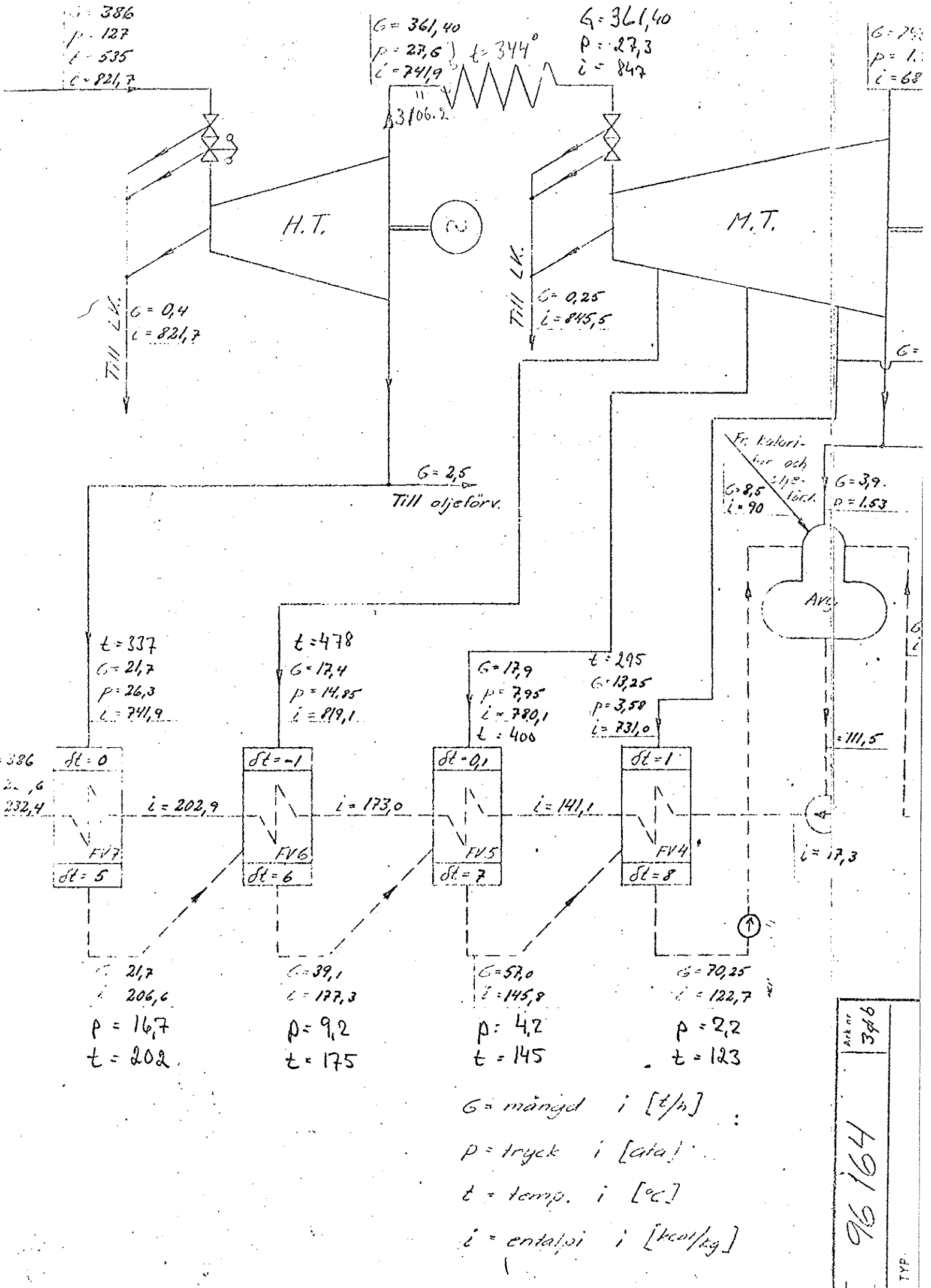
26 164

Bet.	Ändring	Införd



Denna ritning är en lösning av  (second of  first) till en bestämd önskemål. Det följer på något från en röndas + tillståndet för de lastutvärderingar i inventarien.

Delbeteckning Ritad 20/10-61 Cef. Kontr. Prodgr. Godk.	Material (sluttillstånd) <input checked="" type="checkbox"/> <input type="checkbox"/>	Tol. för icke direkt toleranssatta mått enl. K-20021.1 SMS 715 medel. Garanti.
Arkivnummer:  <u>de / T. Larval Jungstrom</u>	Overensstämmer i princip med  <u>B - 2101 - 2102</u>	Skala DF HG
FINSPOONG SWEDEN	Last : 135 MW.	Ark. nr 346 Ant. ark
		96 164



PROGRAM.

## PROGRAM ORESUND

C COMPUTES THE STANDARD FORM S(A+B·C·D) OF A 15TH ORDER BOILER AND  
 C TURBINE MODEL. GIVEN THE ORIGINAL LINEARIZED EQUATION MATRICES AA,  
 C THESE MATRICES ARE COMPUTED IN THE SUBROUTINES.  
 C THE INPUT DATA ARE MACRO BOILER DATA.  
 C REQUIRED INPUT DATA ARE LISTED IN THE COMMENTS OF THE SUBROUTINES.  
 C REFERENCE, C. LARSSON-C. OHBOM,  
 C MATEMATISK MODELL AV ETT ANGKRAFTVERK.  
 C AUTHORS, C. LARSSON-C. OHBOM, MAJ-69

## C SUBROUTINES REQUIRED

C DRSM  
 C SHFATER  
 C ATTEMP  
 C VALVE  
 C TURBINE

C DIMENSION AA(5·71),AA1(20·20),SV(10),DC(10),R(10),DM(10),T(10),E  
 \* (10),G(10),F(15),TS(15),TM(15),CPS(15),CS(15),CM(15),GM(15),GMS  
 /\*15),HK(15),Q1(20·20),AMS(15),AJ(15),B2(5),D2(5),P(5),D1(20·20),AJ1  
 \*(5),C1(5),CP(5),O(34·50)

C C READ DRUM-DATA  
 C

C READ 1001,ICRITIC

1001 FORMAT(1I)  
 READ 1,(DC(I),I=1,5)  
 READ 1,(P(I),I=1,7)  
 READ 1,(DM(I),I=1,3)  
 READ 1,(T(I),I=1,5)  
 READ 1,(E(I),I=1,5)  
 READ 1,(G(I),I=1,10)  
 READ 1,F(1)  
 1 FORMAT(4E20.10)  
 IPRINT = 1  
 IA = 20  
 IB = 20  
 IC = 10

C CALL DRSM(DC,P,DM,T,E,G,IPRINT,AA1,SV,IA,IB,IC,KUF)

C IF (KUF-3) 3,3,4

4 PRINT 5,KUF  
 5 FORMAT(1H,\*FAILURE IN DRSM\*,13)  
 GO TO 999

3 PRINT 6

6 FORMAT(//#VECTOR SV#/)  
 PRINT 7,(SV(I),I=1,10)

7 FORMAT(E20.10)  
 DO 10 I=1,51  
 DO 10 J=1,71  
 10 AA(I,J) = 0.

C C ARRANGE DRUM-MATRIX IN MATRIX AA  
 C

```

      DO 30 I=1,9
      DO 15 J=1,5
        AA(I,J) = AA1(I,J)
15    AA(I,J+15) = AA1(I,J+5)
      DO 20 J=1,2
20    AA(I,J+30) = AA1(I,J+10)
        AA(I,50) = AA1(I,15)
      DO 30 J=1,4
30    AA(I,J+35) = AA1(I,J+13)
        AA(5,31) = F(1)*AA(5,31)

```

C

C READ SUPERHEATER DATA

C

IND = 0

READ 1,1EO

N = 4

109 CONTINUE

READ 1,(F(I),I=1,N)

READ 1,(TM(I),I=1,N)

READ 1,(CPM(J),J=1,N)

READ 1,(GM(I),I=1,N)

READ 1,(QMS(I),J=1,N)

K = N+1

READ 1,(TS(I),I=1,K)

READ 1,(CPS(I),I=1,K)

READ 1,(CTS(I),I=1,K)

READ 1,AK,AML

IA = 20

IB = 20

IC = 15

IPRINT = 2

C

CALL SHEATER(AA1,N1,AK,BK,F,TS,TM,AML,CPS,CTS,CPM,GM,QMS,IA,IB,IC,\*N,IPRINT,IERR)

C

IF(IERR.EQ.1)104,101,104

101 PRINT 102

102 FORMAT(/\* FAILURE. N IS TOO GREAT \*/)

GO TO 999

104 IND = IND+1

GO TO (105,125,140,155),IND

C

C

ARRANGE SUPERHEATER-1 IN MATRIX AA

C

105 DO 110 I = 1\*4

K = I+9

AA(K,I+5) = AA1(I,I)

AA(K,I+20) = AA1(I,I+4)

AA(K+4,I+20) = AA1(I+4,I+4)

110 AA(K,31) = AA1(I,9)

DO 115 I = 1\*3.

K = I+4

AA(K,I+4) = AA1(I,I+12)

AA(K+4,I+4) = AA1(I+4,I+12)

AA(K+5,I+4) = AA1(I+5,I+12)

AA(K+5,I+44) = AA1(I+5,I+15)

$AA(K+4, I+4) = AA1(I+8, I+16)$   
 115  $AA(K+4, I+4n) = AA1(I+9, I+16)$   
 DO 125 I = 1\*12  
 $K = I+9$   
 120  $AA(K+5n) = AA1(I+10)$   
 $AA(13, 4n) = AA1(4, 16)$   
 $AA(17, 4n) = AA1(8, 16)$   
 $AA(18, 16) = AA1(9, 12)$   
 $AA(14, 16) = AA1(5, 12) + E0*AA1(5, 11)$   
 $AA(21, 41) = AA1(12, 20)$   
 $N = 1$   
 GO TO 100

C  
C      ARRANGE SUPERHEATER-2 IN MATRIX AA  
C

125 DO 130 I = 1\*2  
 $K = I+24$   
 $AA(K+25) = AA1(I, 2)$   
 $AA(K+1, 49) = AA1(I+1, 6)$   
 130  $AA(K+5)) = AA1(I, 7)$   
 DO 135 I = 1\*3  
 $K = I+24$   
 135  $AA(K+55) = AA1(I, 4)$   
 $AA(25, 16) = AA1(1, 1)$   
 $AA(25, 31) = AA1(1, 3)$   
 $AA(26, 48) = AA1(2, 5)$   
 $AA(27, 52) = AA1(3, 6)$   
 $N = 1$   
 GO TO 100

C  
C      ARRANGE SUPERHEATER-3 IN MATRIX AA  
C

140 DO 145 I = 1\*2  
 $K = I+30$   
 $AA(K+26) = AA1(I, 2)$   
 $AA(K+1, 54) = AA1(I+1, 6)$   
 145  $AA(K+56) = AA1(I, 7)$   
 DO 150 I = 1\*3  
 $K = I+39$   
 150  $AA(K+58) = AA1(I, 4)$   
 $AA(31, 11) = AA1(1, 1)$   
 $AA(31, 31) = AA1(1, 3)$   
 $AA(32, 53) = AA1(2, 5)$   
 $AA(33, 57) = AA1(3, 8)$   
 $N = 4$   
 GO TO 100

C  
C      ARRANGE REHEATER IN MATRIX AA  
C

155 DO 160 I = 1\*4  
 $K = I+37$   
 $AA(K, I+11) = AA1(I, 1)$   
 $AA(K, I+26) = AA1(I, I+4)$   
 $AA(K+4, I+26) = AA1(I+4, I+4)$   
 160  $AA(K+31) = AA1(I, 4)$   
 DO 165 I = 1\*3

K = 1+37

AA(K+1+63) = AA1(1+1+12)

AA(K+4+1+63) = AA1(1+4+1+12)

AA(K+5+1+63) = AA1(1+5+1+12)

AA(K+5+1+66) = AA1(1+5+1+16)

AA(K+8+1+66) = AA1(1+8+1+16)

165 AA(K+9+1+66) = AA1(1+9+1+16)

DO 170 I = 1+12

K = 1+37

170 AA(K+58) = AA1(1+12)

AA(41+62) = AA1(4+16)

AA(45+62) = AA1(8+16)

AA(46+63) = AA1(9+12)

AA(49+70) = AA1(12+20)

AA(42+59) = AA1(5+11)

AA(42+53) = AA1(5+12)

C

C READ ATTEMPERATOR-DATA

C

IND = 0

200 READ 1+(AMS(I)+I=1+2)

READ 1+(CPS(I)+I=1+2)

READ 1+(CTS(I)+I=1+2)

READ 1+(AT(I)+I=1+2)

READ 1+AK

TPRINT = 1

IA = 20

IB = 20

IC = 15

C

C CALL ATTEMP (AA1,AMS,CPS,CTS,AT,AK,IA,IB,IC,IPRINT)

C

IND = IND+1

GO TO (210+230)+IND

C

C ARRANGE ATTEMP-MATRIX IN MATRIX AA

C

210 CONTINUE

DO 225 I=1+3

DO 215 J=1+3

215 AA(I+21+J+47) = AA1(I,J)

DO 220 J=1+2

220 AA(I+21+J+39) = AA1(I,J+3)

AA(I+21,55) = AA1(I,6)

225 AA(I+21+33) = AA1(I,7)

GO TO 200

230 CONTINUE

DO 245 I=1+3

DO 235 J=1+3

235 AA(I+27+J+52) = AA1(I,J)

DO 240 J=1+2

240 AA(I+27+J+50) = AA1(I,J+3)

AA(I+27,58) = AA1(I,6)

245 AA(I+27+34) = AA1(I,7)

C

C

```

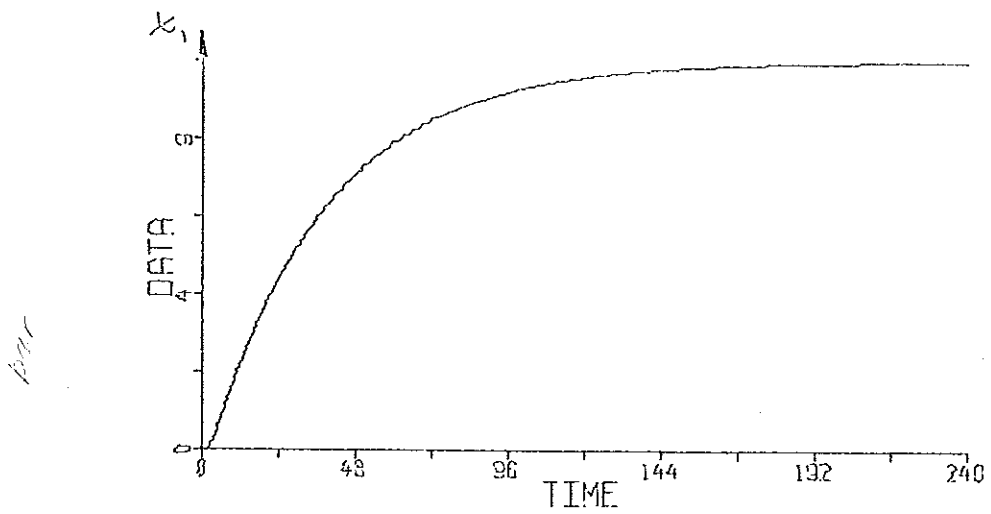
C      READ VALVE-DATA
READ 1*(P(1)*I=1*2)
READ 1*TL*BL*AML*AR
IPRINT = 1
IA = 5
C      CALL VALVE (A2*B2*C2*D2,P,TL,BL,AML,AR,ICRITIC,IA,IPRINT)
C      ARRANGE VALVE-MATRIX IN MATRIX AA
C
AA(34*35) = D2(1)
AA(34*57) = D2(2)
IF (ICRITIC,E0,0) AA(34*57) = D2(2)/(2*AML)
IF (ICRITIC,E0,0) AA(34*50) = D2(3)/(2*AML)
AA(34*58) = -1.
C      READ TURBINE-DATA
C
NHT = J
IND = C
700 READ 1*(AT(J)*I=1*2)
READ 1*(CT(I)*I=1*2)
READ 1*CS2*DT1*DPI
READ 1*(CP(I)*I=1*2)
READ 1*(P(-I)*I=1*2)
READ 1*AML*AN*CPS2*T1
IA = 20
IB = 20
IC = 5
IPRINT = 1
C      CALL TURBINE (61*D1*AT,J,CT,CP,P,CS2,DT1,DPI,AML,AN,T1,CPS2,IA,IB,IC
*,NHT,IPRINT)
C
IND = IND+1
GO TO (710,910),IND
C      ARRANGE TURBINE-MATRICES IN MATRIX AA
C
710 CONTINUE
DO 725 I=1*3
DO 715 J=1*3
715 AA(I+34,J+58) = 01(I,J)
AA(I+34,63) = 01(I,4)
AA(I+34,56) = 01(I,5)
720 AA(I+34,58) = 01(I,6)
NHT = 0.
GO TO 730
910 CONTINUE
AA(50,62) = 01(1,1)
AA(50,58) = 01(1,2)
AA(51,58) = 01(2,2)
AA(51,71) = -1.
AA(50,71) = -1.
C

```

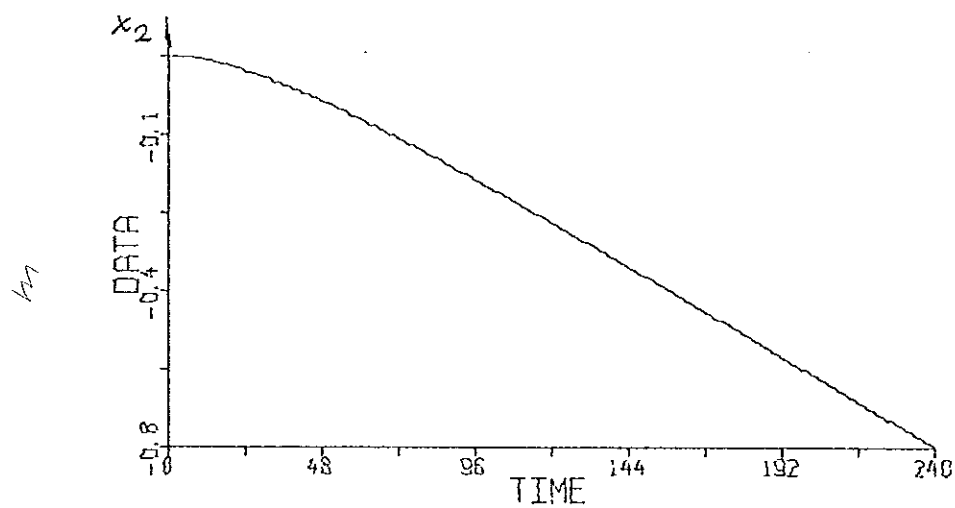
```

C      ARRANGE MATRIX Q FROM MATRIX AA
C
      DO 500 I=1,34
      DO 500 J=1,50
 500  Q(I,J) = 0.
      Q(1,21) = AA(4,16)
      Q(2,21) = AA(4,16)
      Q(2,22) = AA(4,18)
      Q(1,23) = AA(4,19)
      Q(1,33) = AA(4,39)
      Q(2,37) = AA(4,38)
      DO 505 I=6,13
      DO 505 J=1,2
 505  Q(I,J) = AA(I+11,J+39)
      DO 515 I=3,13
      DO 515 J=3,10
 515  Q(I,J) = AA(I+11,J+45)
      Q(3,21) = AA(14,16)
      Q(7,21) = AA(18,16)
      DO 515 K=1,4
 515  Q(K+2,K+23) = AA(K+13,K+20)
      DO 525 I=3,10
      DO 525 J=39,44
 525  Q(I,J) = AA(I+11,J+3)
      Q(11,34) = AA(22,33)
      Q(12,34) = AA(23,33)
      DO 525 I=14,18
      DO 525 J=3,13
 525  Q(I,J) = AA(1+12,J+45)
      Q(14,28) = AA(26,25)
      Q(16,35) = AA(28,34)
      Q(17,35) = AA(29,34)
      DO 535 I=19,24
      DO 535 J=8,18
 535  Q(I,J) = AA(I+13,J+45)
      Q(19,24) = AA(32,26)
      Q(21,36) = AA(34,35)
      DO 535 I=25,34
      DO 535 J=13,18
 535  Q(I,J) = AA(I+17,J+45)
      DO 545 I=32,34
      DO 545 J=14,23
 545  Q(I,J) = AA(I+17,J+51)
      DO 545 K=1,4
      Q(K+24,K+29) = AA(K+41,K+26)
      DO 545 I=25,32
      DO 545 J=45,50
 545  Q(I,J) = AA(I+17,J+19)
      DO 490 I=1,5
 490  CALL SKIPFILE(31)
      WRITE(31,((AA(I,J),J=1,71),I=1,51))
      WRITE(31,((Q(I,J),J=1,50),I=1,34))
 994  CONTINUE
      CALL EXIT
      END

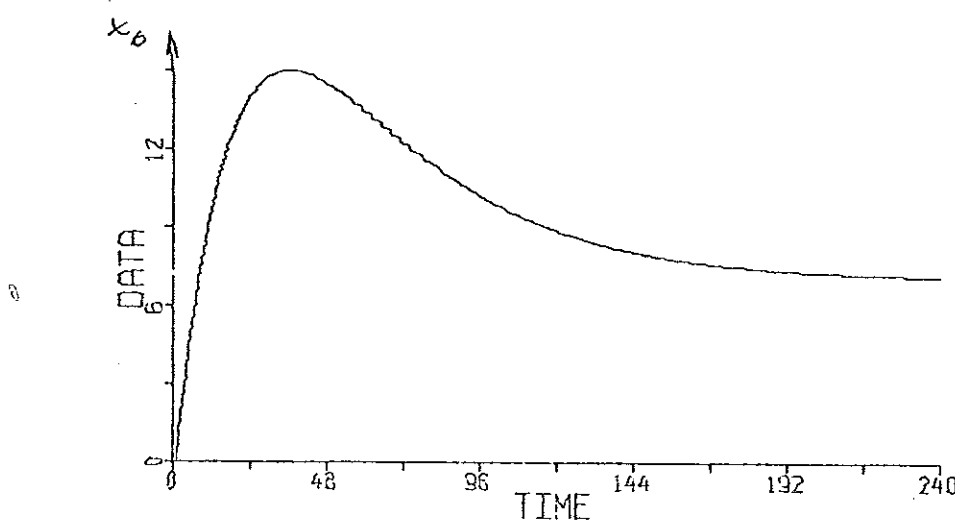
```



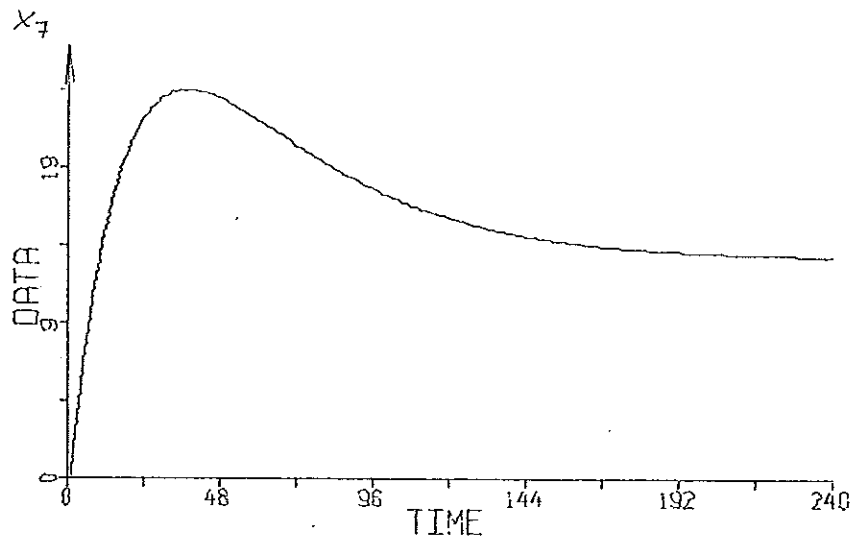
1.  $x_1$  är domtryck.



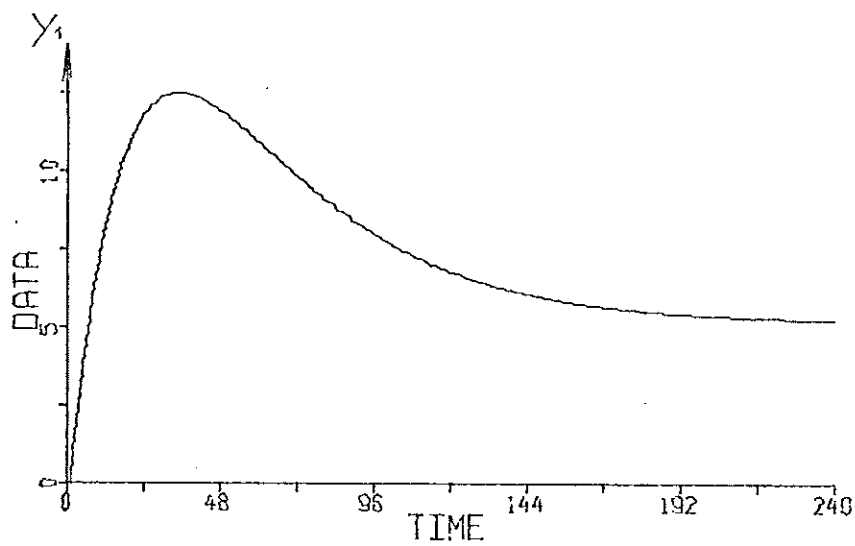
2.  $x_2$  är nivå i dom.



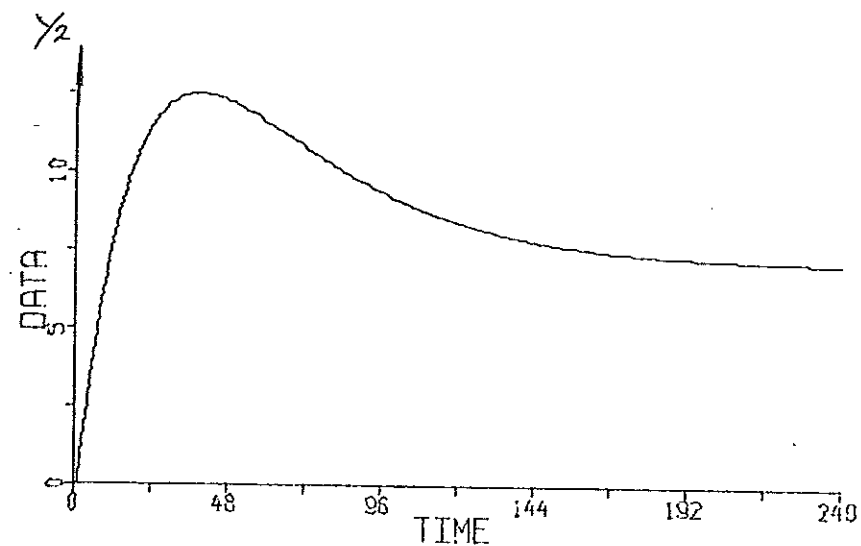
3.  $x_6$  är materialtemperatur i ÖH I.



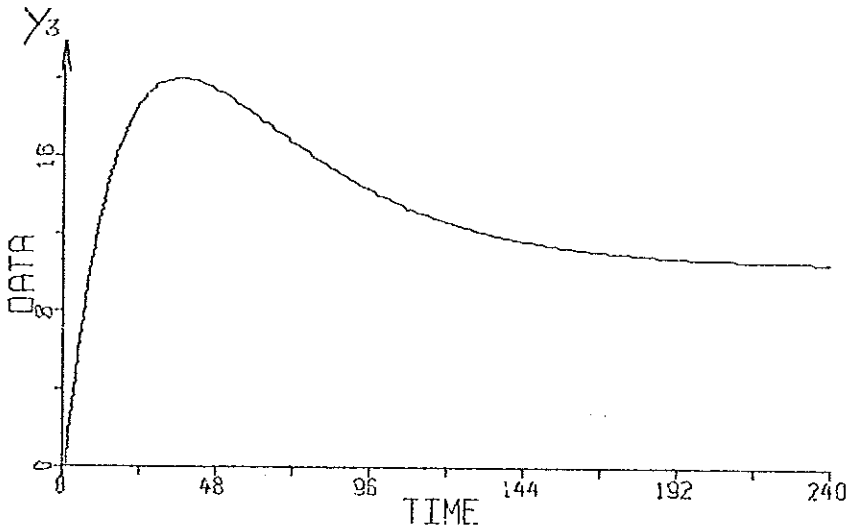
4.  $x_7$  är materialtemperatur i ÖH II.



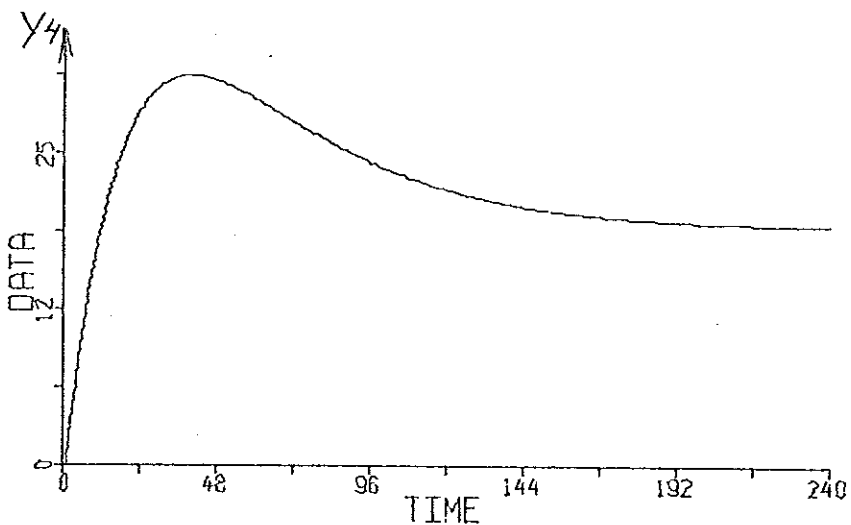
5.  $y_1$  är temperatur före kylare I.



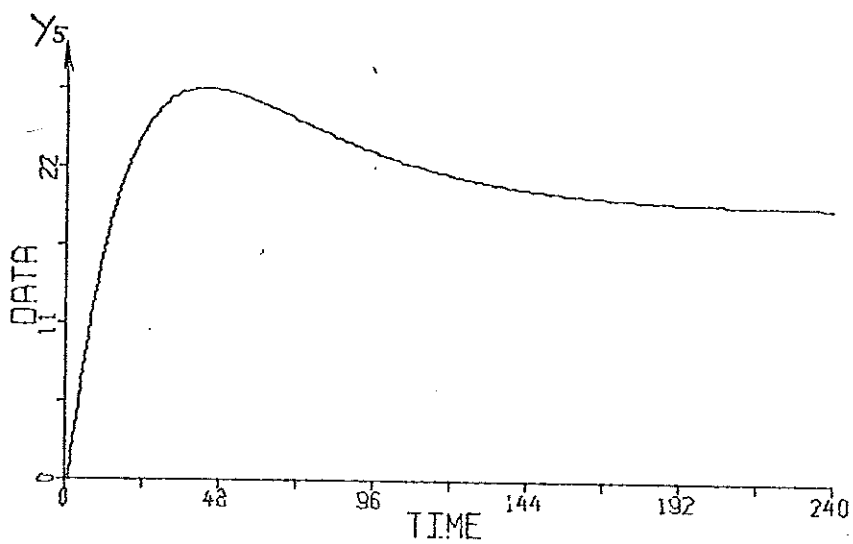
6.  $y_2$  är temperatur efter kylare I.



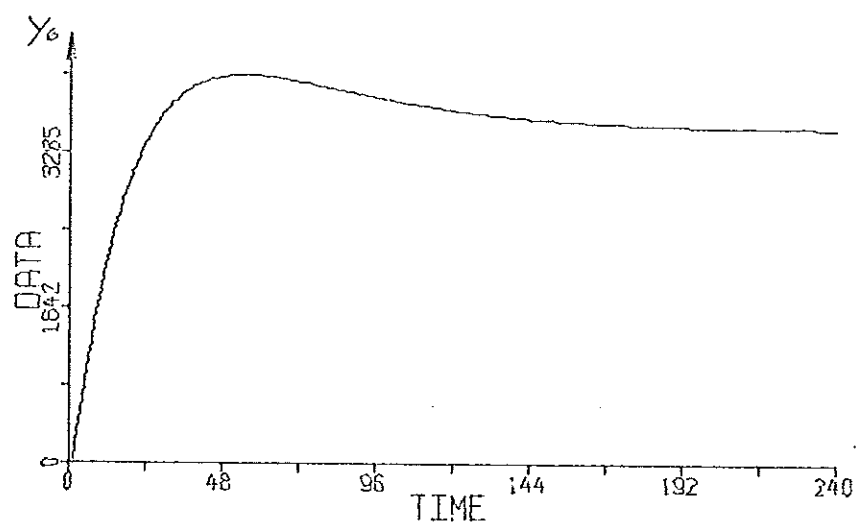
7.  $y_3$  är temperatur före kylare II.



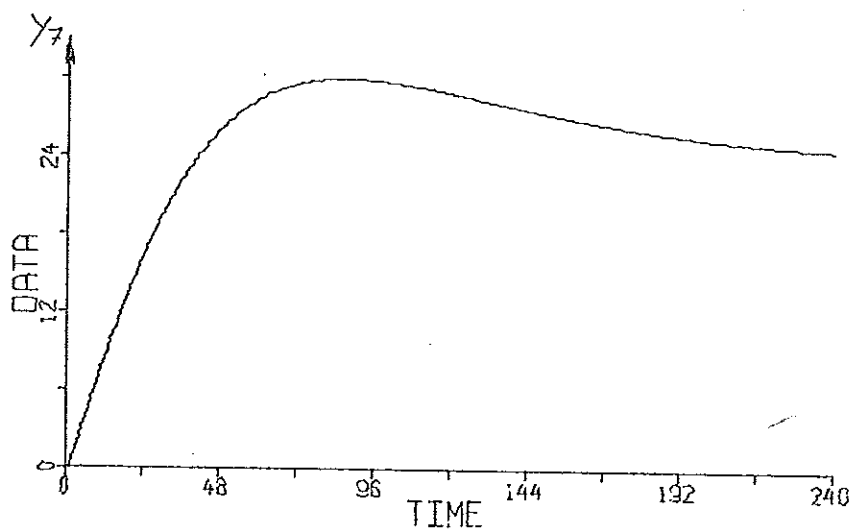
8.  $y_4$  är temperatur före ventil.



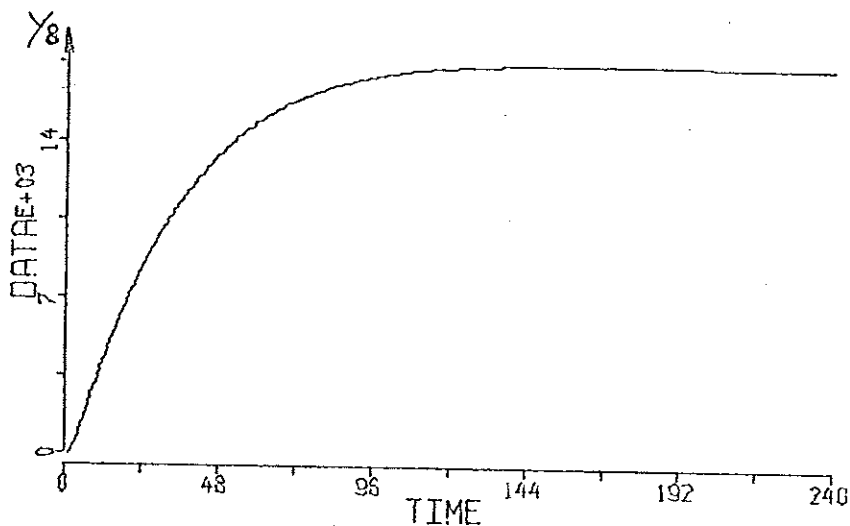
9.  $y_5$  är temperatur efter HT.



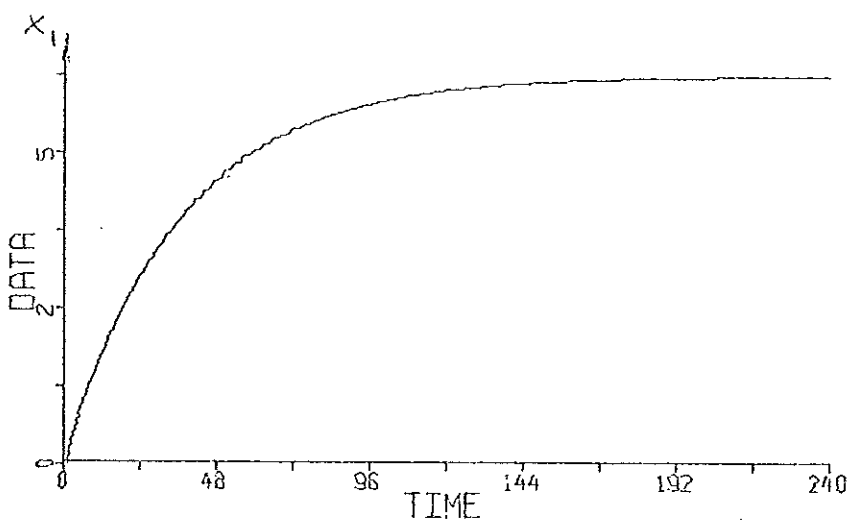
10.  $y_6$  är effekt hos HT.



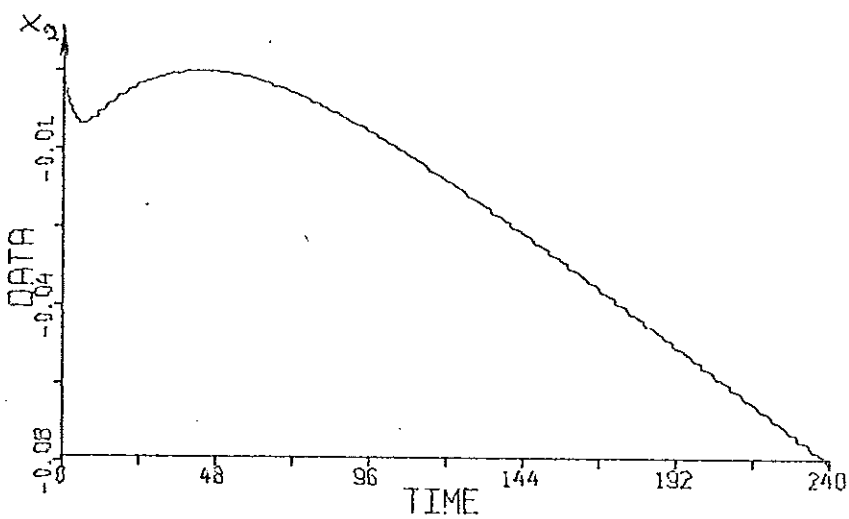
11.  $y_7$  är temperatur före LT.



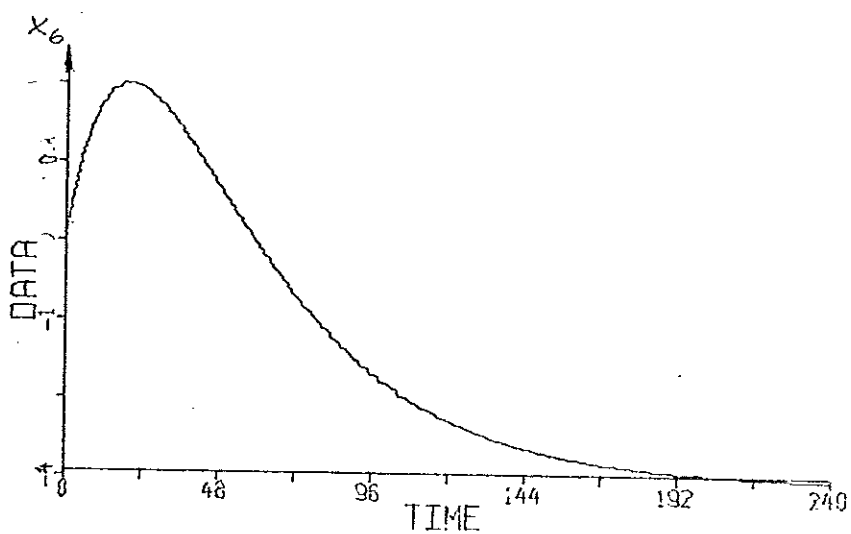
12.  $y_8$  är effekt hos LT.



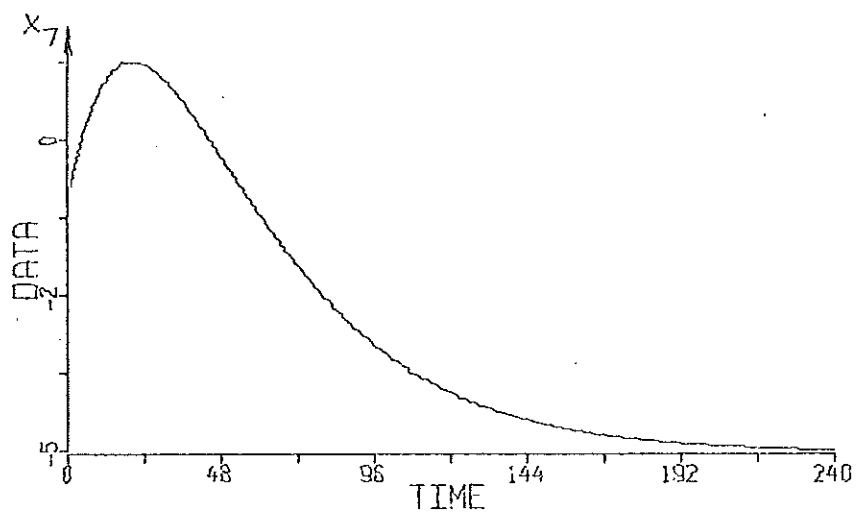
13.  $x_1$  är domtryck.



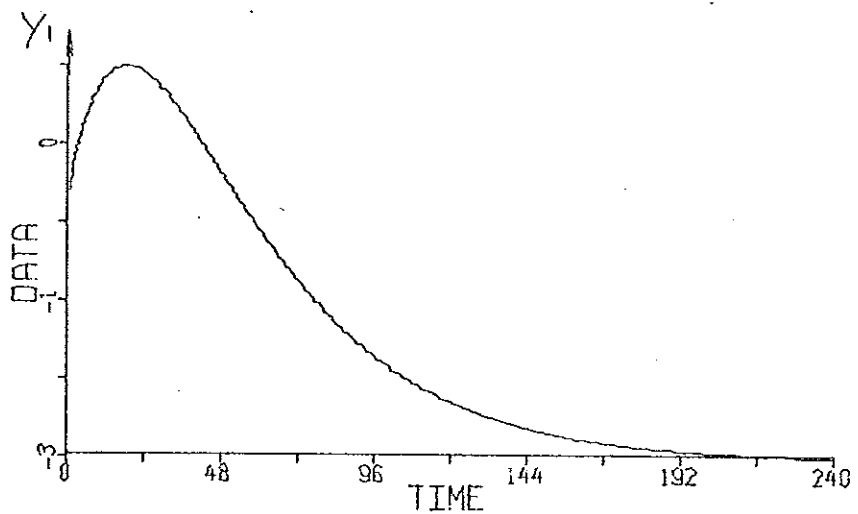
14.  $x_2$  är nivå i dom.



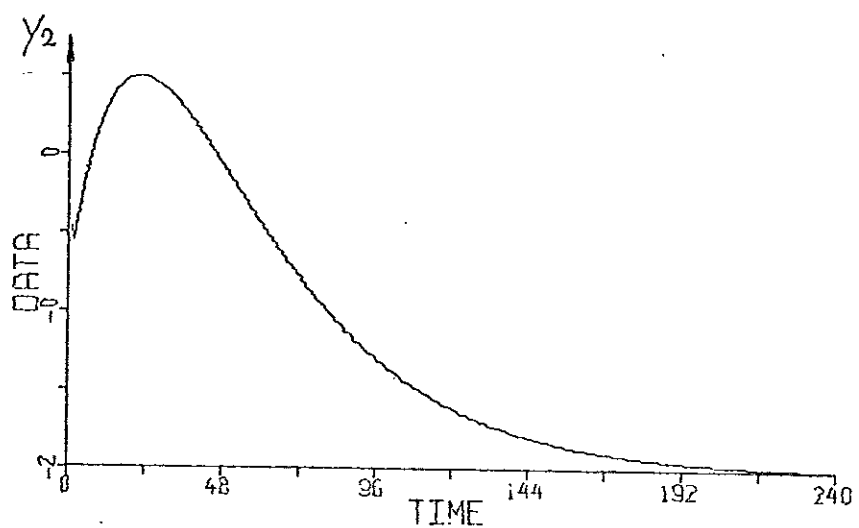
15.  $x_6$  är materialtemperatur i ÖH I.



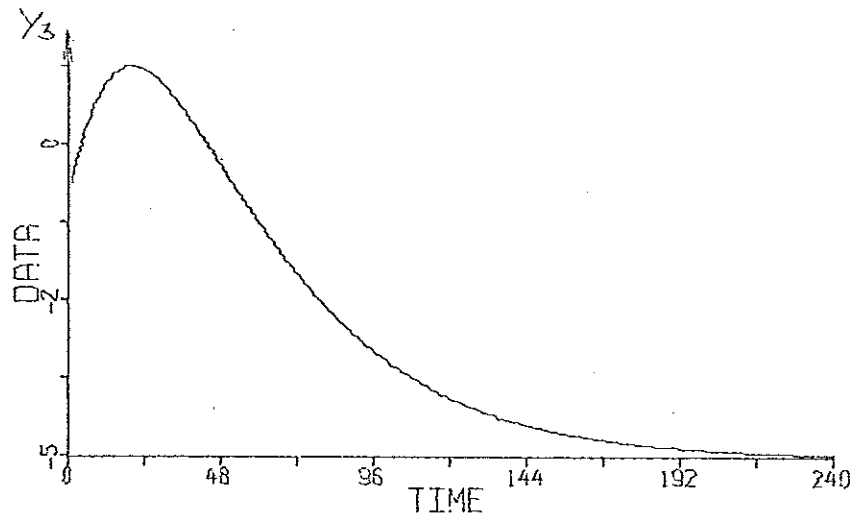
16.  $x_7$  är materialtemperatur i ÖH II.



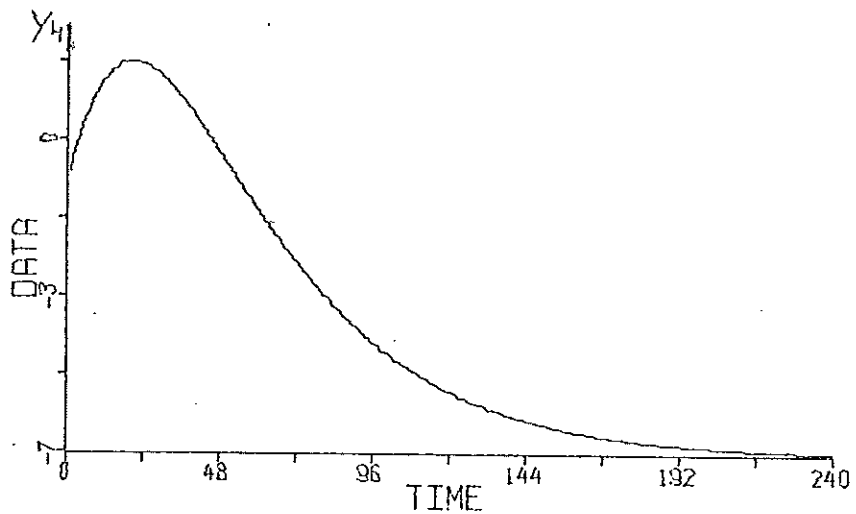
17.  $y_1$  är temperatur före kylare I.



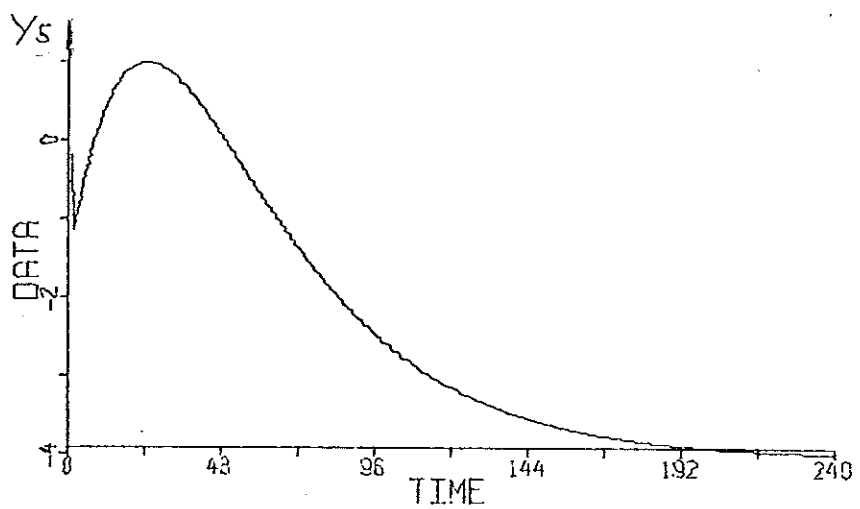
18.  $y_2$  är temperatur efter kylare I.



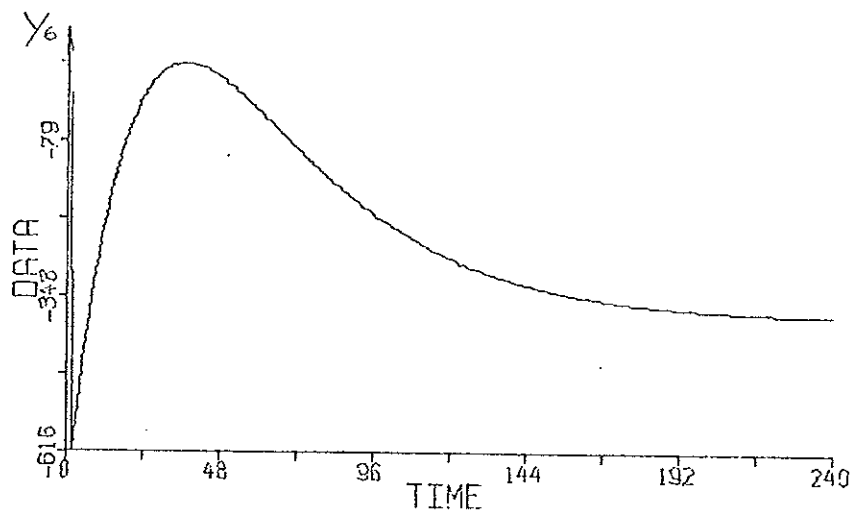
19.  $y_3$  är temperatur före kylare II.



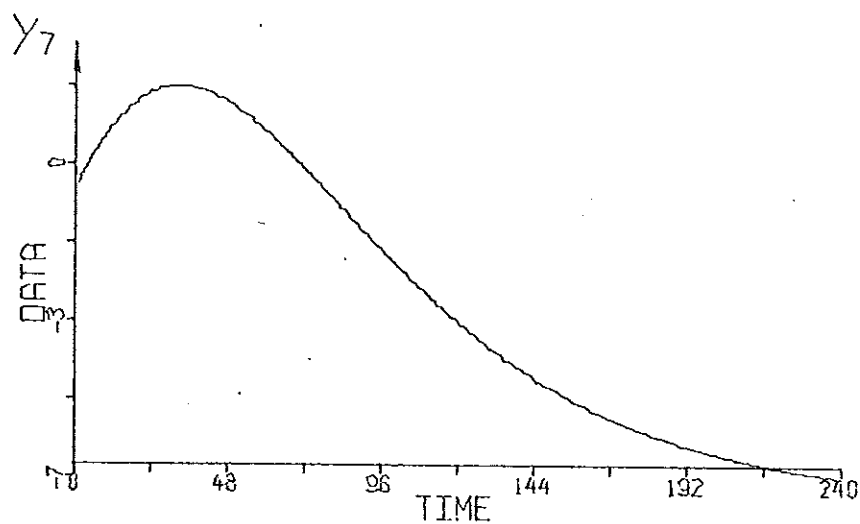
20.  $y_4$  är temperatur före ventil.



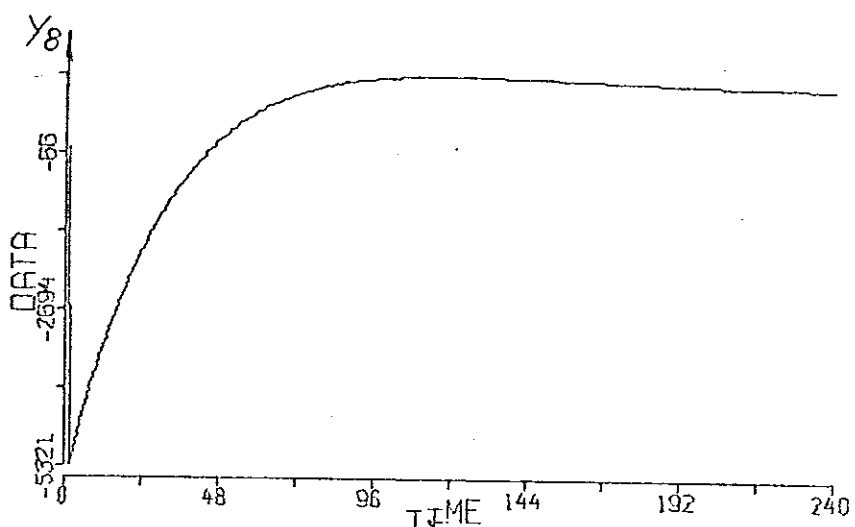
21.  $y_5$  är temperatur efter HT.



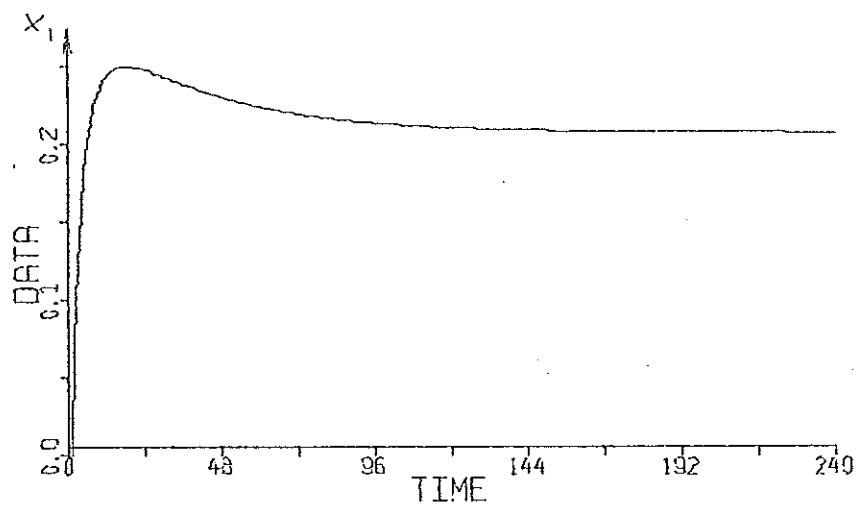
22.  $y_6$  är effekt hos HT.



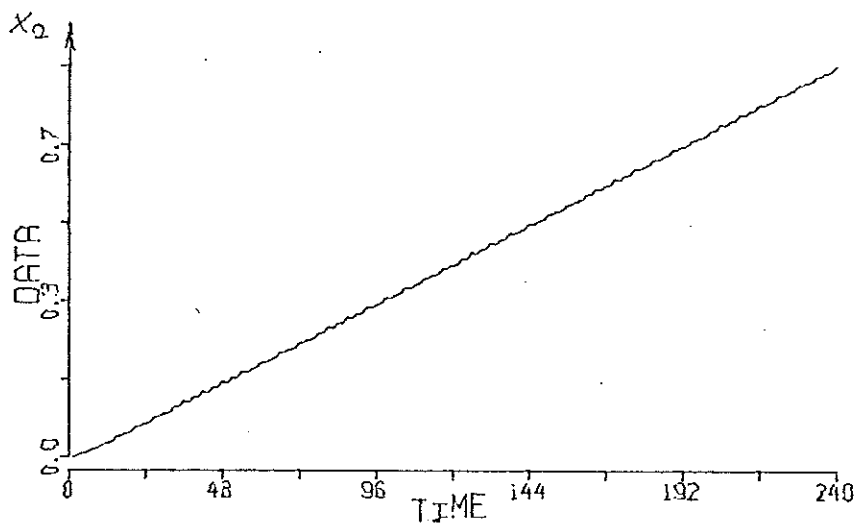
23.  $y_7$  är temperatur före LT.



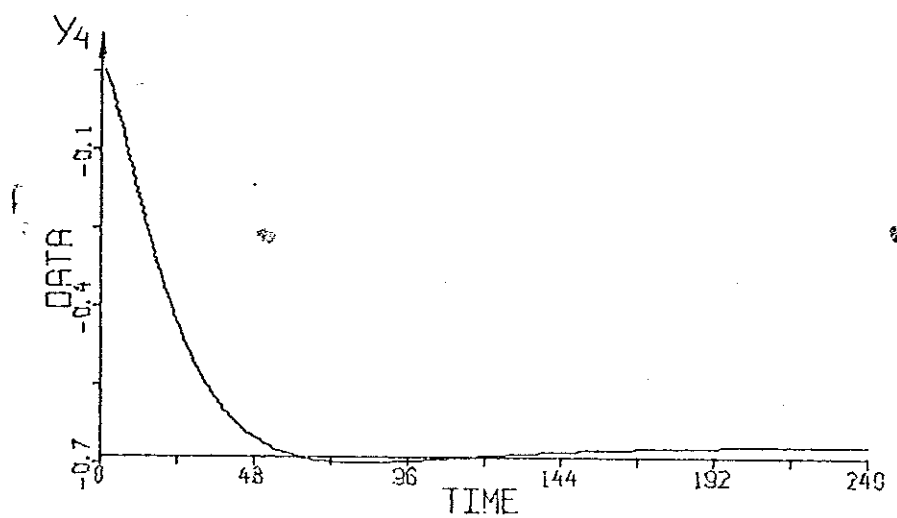
24.  $y_8$  är effekt hos LT.



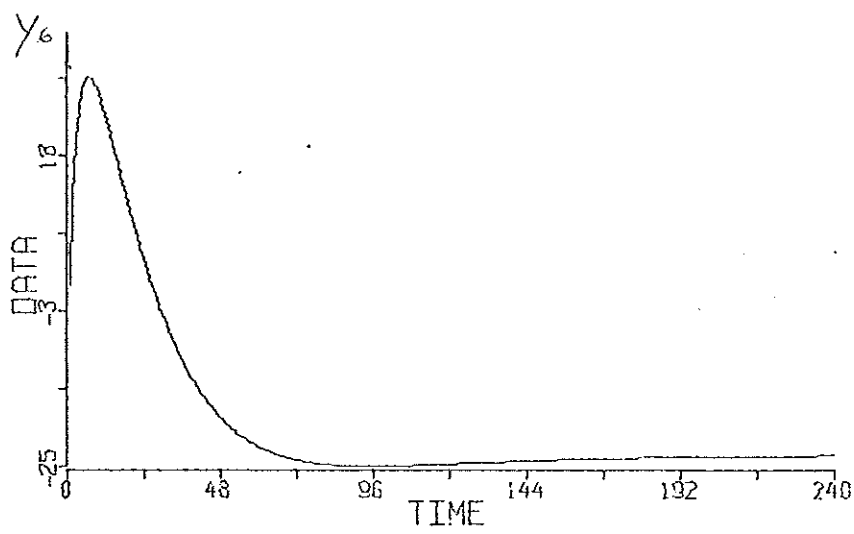
25.  $x_1$  är domtryck.



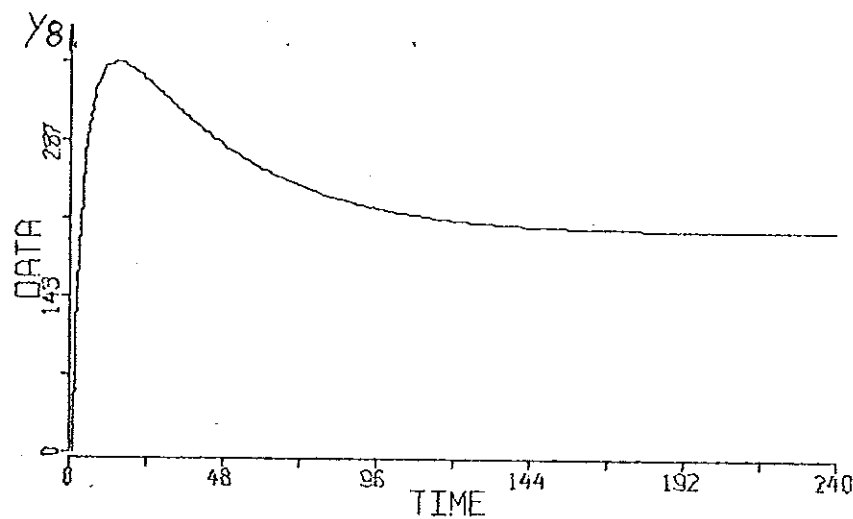
26.  $x_2$  är nivå i dom.



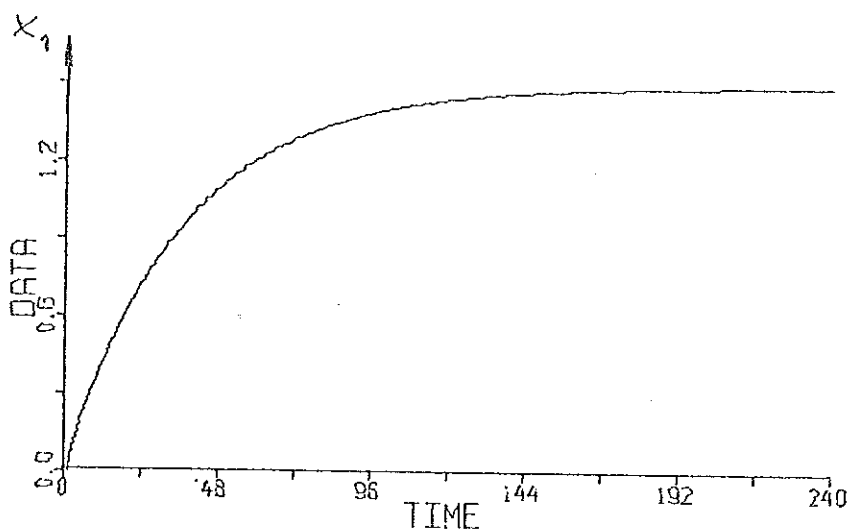
27.  $y_4$  är temperatur före ventil.



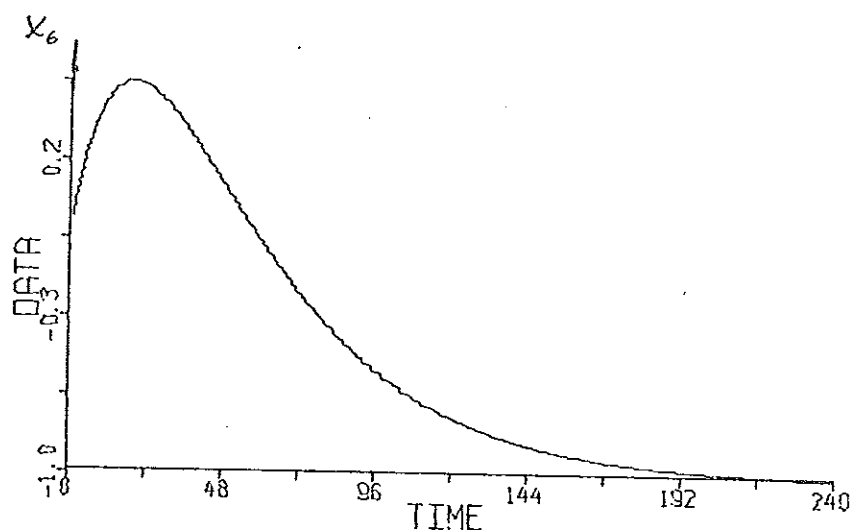
28.  $y_6$  är effekt hos HT.



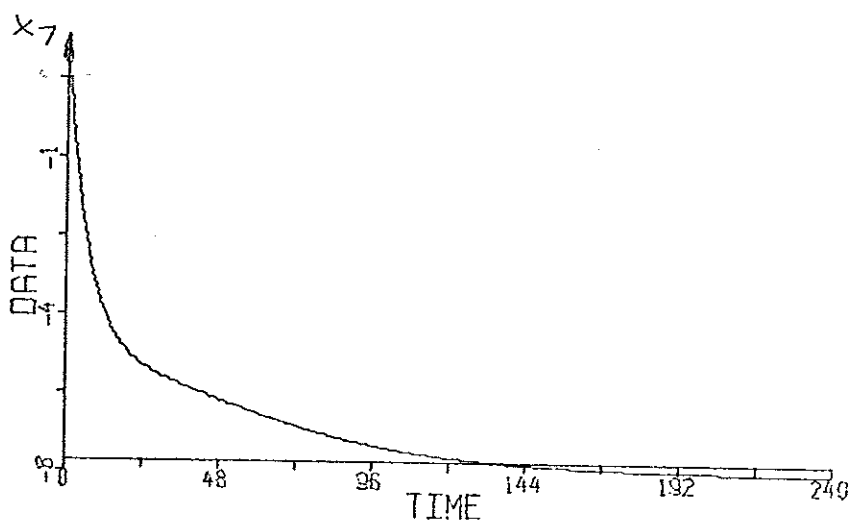
29.  $y_8$  är effekt hos LT.



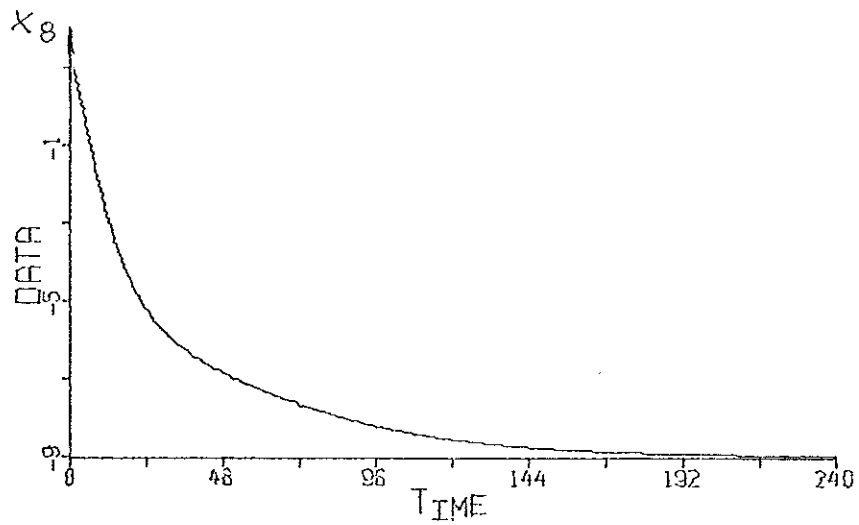
30.  $x_1$  är domtryck.



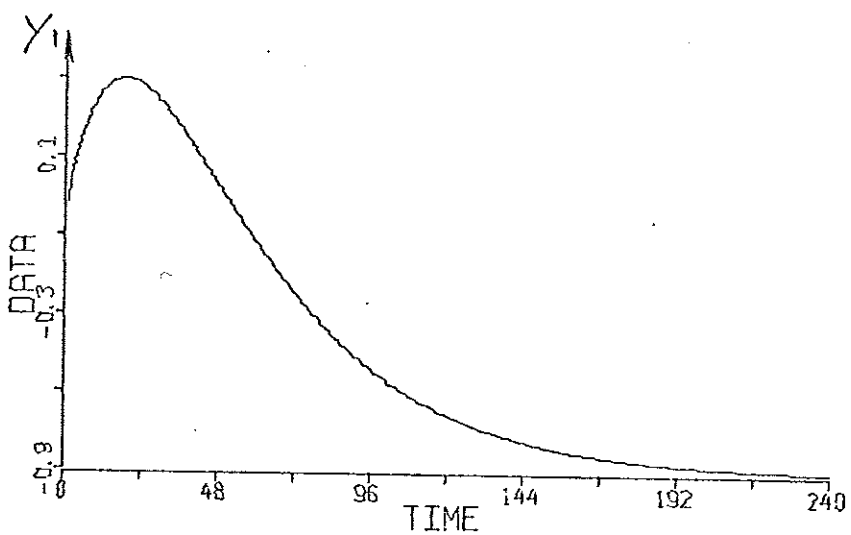
31.  $x_6$  är materialtemperatur i ÖH I.



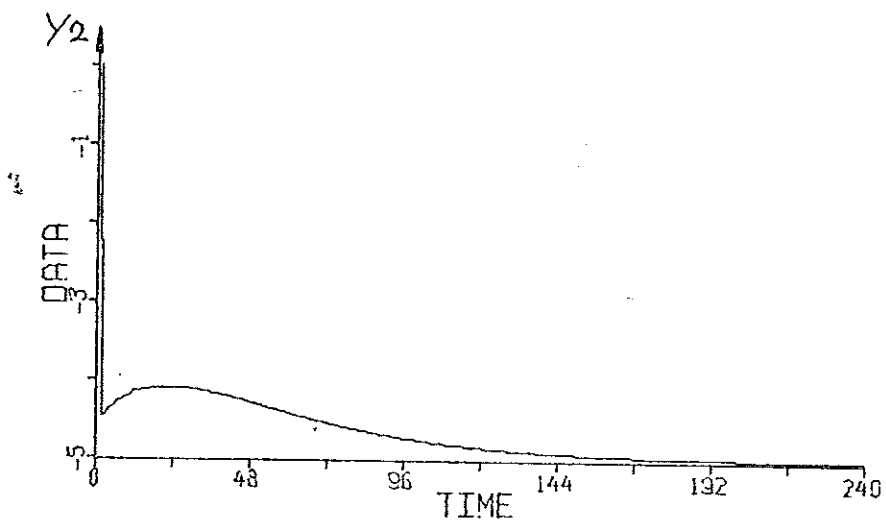
32.  $x_7$  är materialtemperatur i ÖH II.



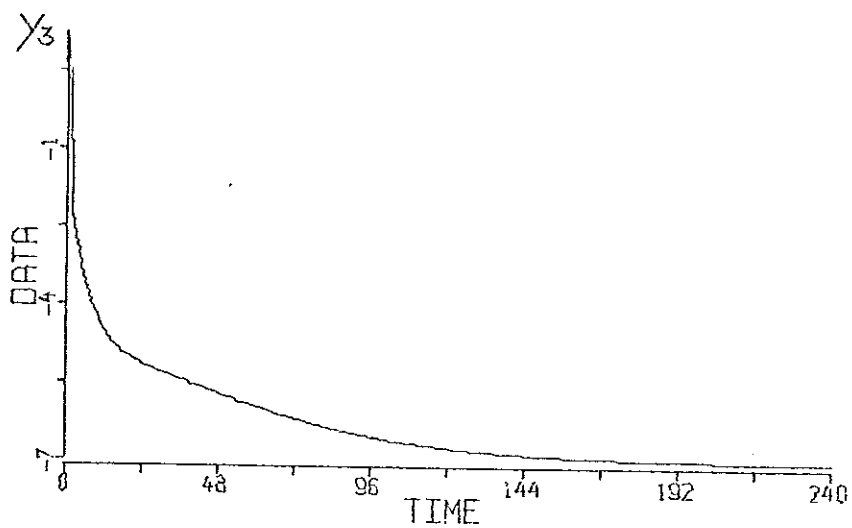
33.  $x_8$  är materialtemperatur i ÖH III.



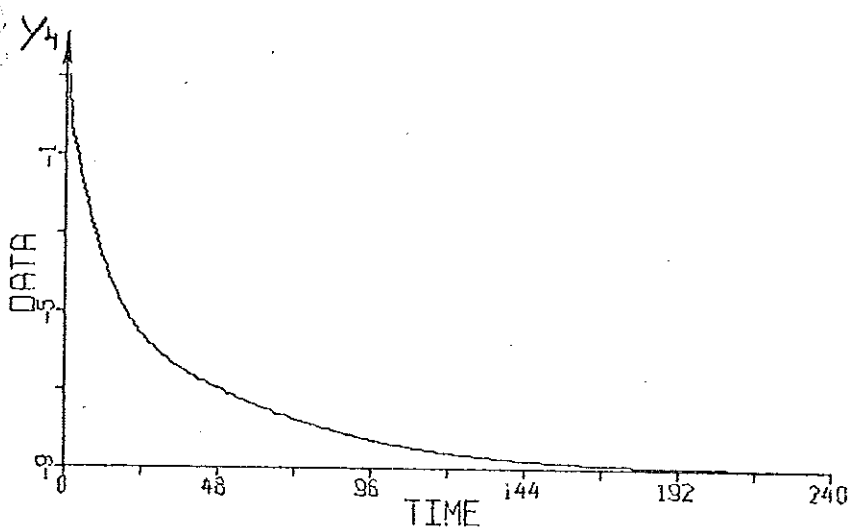
34.  $y_1$  är temperatur före kylare I.



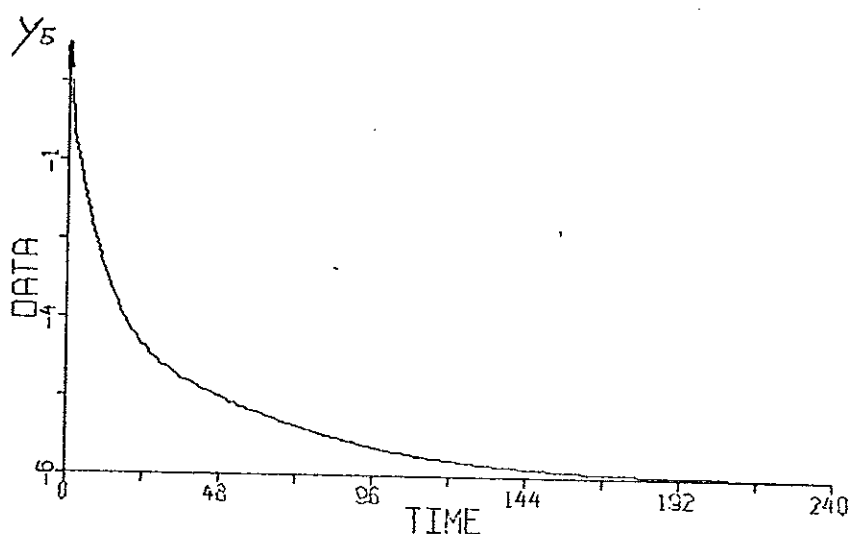
35.  $y_2$  är temperatur efter kylare I.



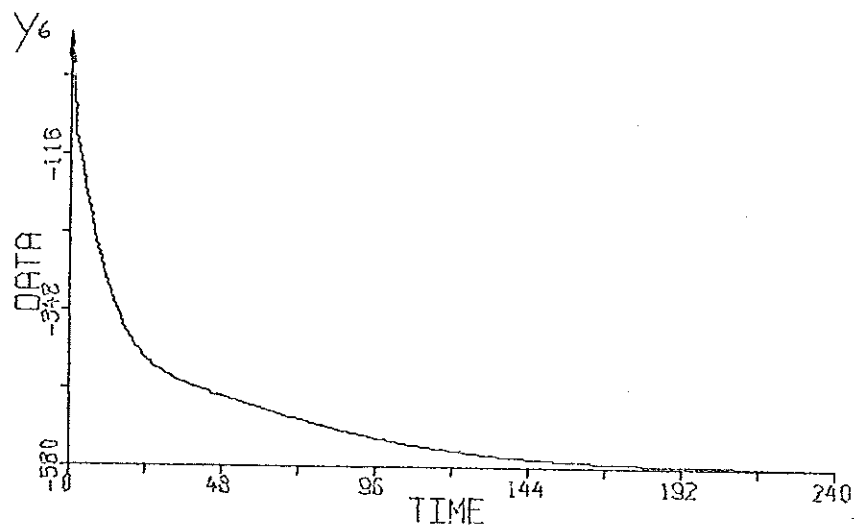
36.  $y_3$  är temperatur före kylare II.



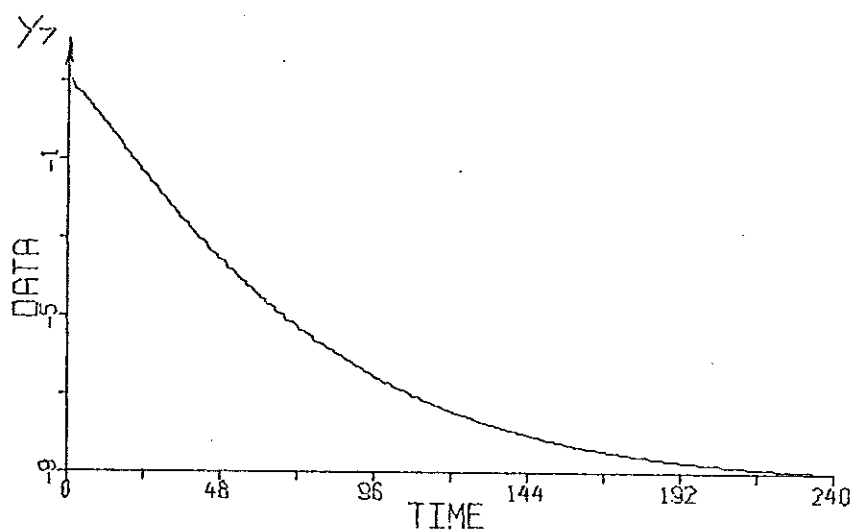
37.  $y_4$  är temperatur före ventil.



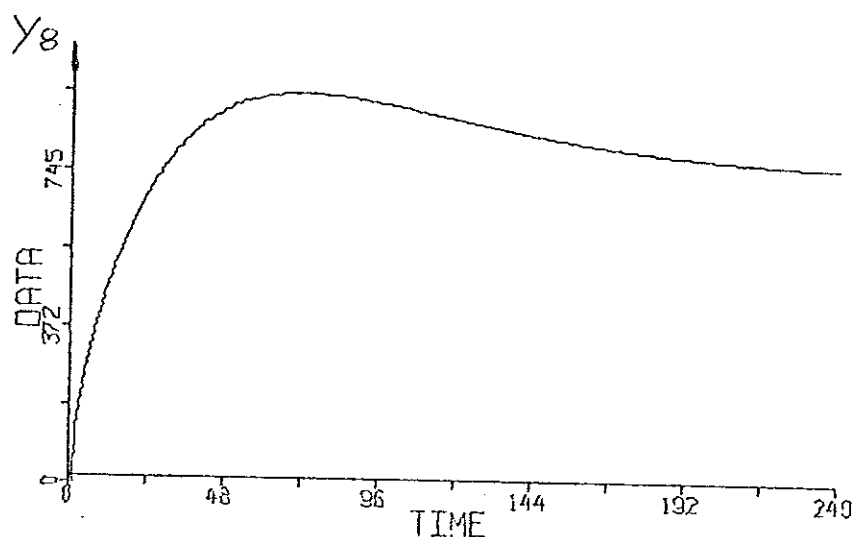
38.  $y_5$  är temperatur efter HT.



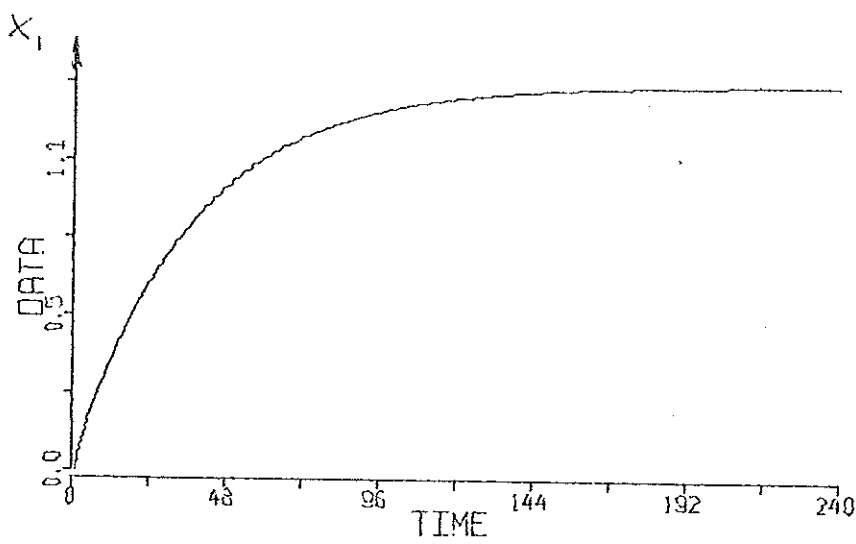
39.  $y_6$  är effekt hos HT.



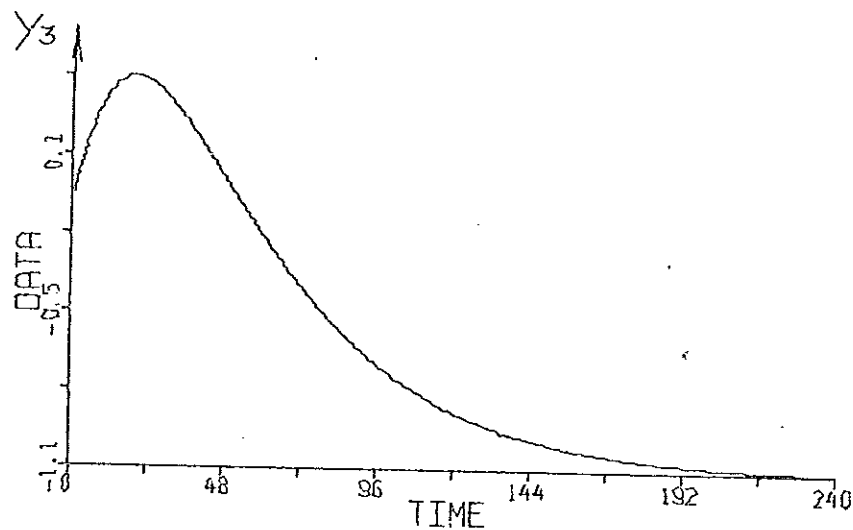
40.  $y_7$  är temperatur före LT.



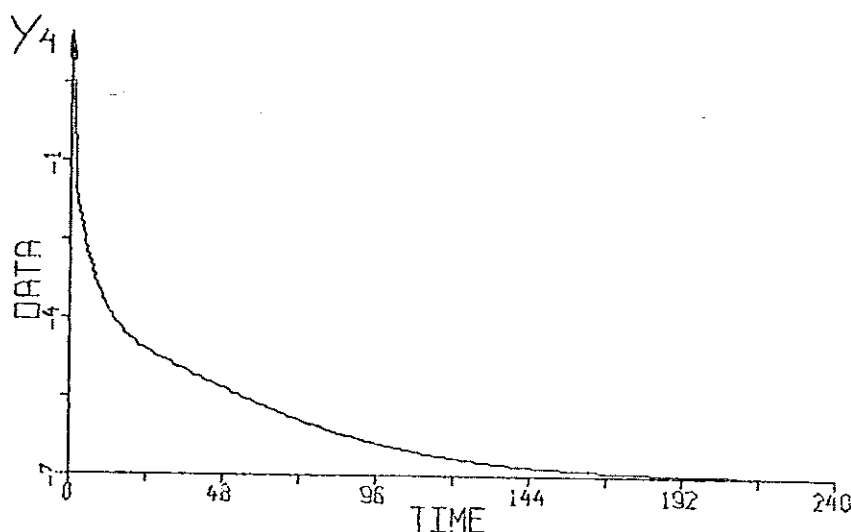
41.  $y_8$  är effekt hos LT.



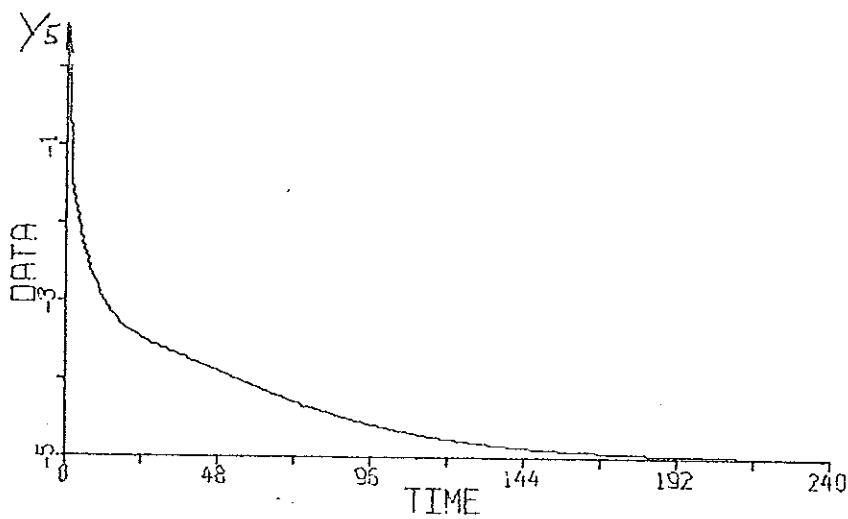
42.  $x_1$  är domtryck.



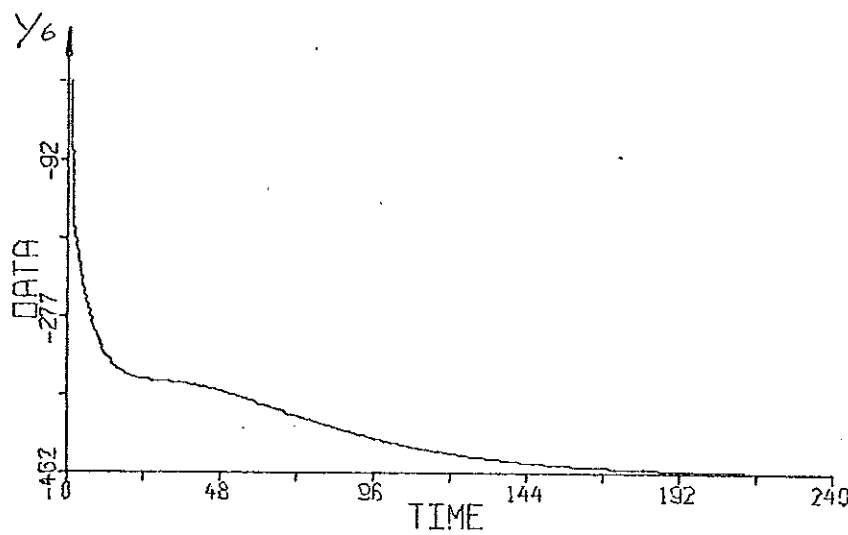
43.  $y_3$  är temperatur före kylare II.



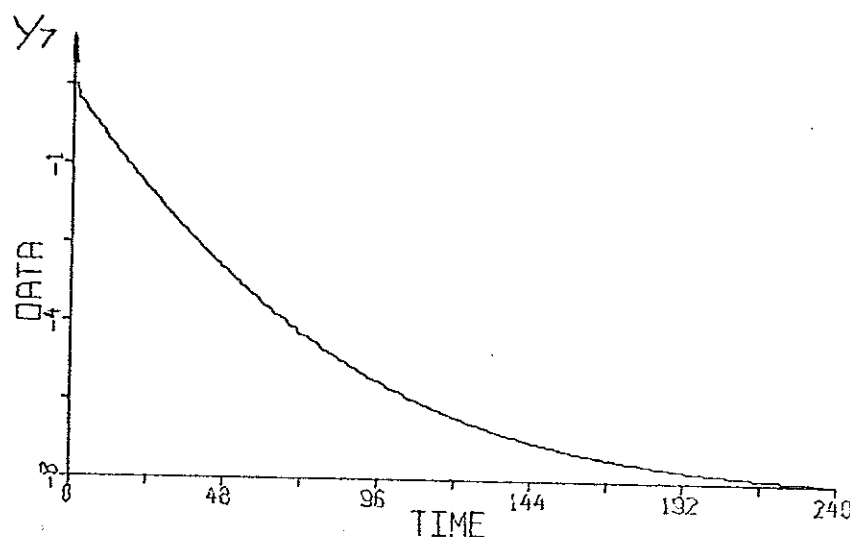
44.  $y_4$  är temperatur före ventil.



45.  $y_5$  är temperatur efter HT.



46.  $y_6$  är effekt hos HT.



47.  $y_7$  är temperatur före LT.